

9/5

6/18

INFORMATION REPORT INFORMATION REPORT

CENTRAL INTELLIGENCE AGENCY

Leg/Doc

This material contains information affecting the National Defense of the United States within the meaning of the Espionage Laws, Title 18, U.S.C. Secs. 793 and 794, the transmission or revelation of which in any manner to an unauthorized person is prohibited by law.

S-E-C-R-E-T
NO FOREIGN DISSEM

#.32
50X1-HUM

COUNTRY	USSR	REPORT	[Redacted]
SUBJECT	Soviet Publications on Mechanics	DATE DISTR.	31 August 1962
		NO. PAGES	1
		REFERENCES	RD
DATE OF INFO.	[Redacted]		50X1-HUM
PLACE & DATE ACQ.	[Redacted]		50X1-HUM

THIS IS UNEVALUATED INFORMATION. SOURCE GRADINGS ARE DEFINITIVE. APPRAISAL OF CONTENT IS TENTATIVE.

Russian-language publications

1. Mekhanika (Mechanics), No 92, a collection of articles (119 pages) from the Moscow Order of Lenin/Order of Labor of the Red Banner Higher Technical School i/n Bauman, published by the State Publishing House of the Defense Industry, Moscow, 1959. 50X1-HUM

2. Programma po teoreticheskoy mekhaniki (Program for Theoretical Mechanics), 14 pages, published by the State Publishing House for Higher Schools, Moscow, 1960. This brochure is a publication of the USSR Ministry of Higher and Middle Specialized Education and concerns the standards for the study of theoretical mechanics at higher schools in the USSR. When removed from the covering report, it is UNCLASSIFIED. 50X1-HUM

5
4
3
2
1

5
4
3
2
1

S-E-C-R-E-T
NO FOREIGN DISSEM

GROUP 1
EXCLUDED FROM AUTOMATIC
DOWNGRADING AND
DECLASSIFICATION

STATE	X	ARMY	X	NAVY	X	AIR	X	NSA	X	OCR	X	DIA	X	AID	NIC	X
-------	---	------	---	------	---	-----	---	-----	---	-----	---	-----	---	-----	-----	---

(Note: Washington distribution indicated by "X"; Field distribution by "#".)

INFORMATION REPORT INFORMATION REPORT

AL

МОСКОВСКОЕ ОРДЕНА ЛЕНИНА И ОРДЕНА ТРУДОВОГО КРАСНОГО
ЗНАМЕНИ ВЫСШЕЕ ТЕХНИЧЕСКОЕ УЧИЛИЩЕ им. БАУМАНА

МЕХАНИКА

СБОРНИК СТАТЕЙ

Под редакцией
докт. физ.-мат. наук проф. В. В. ДОБРОПРАВОВА

92

ГОСУДАРСТВЕННОЕ
ИЗДАТЕЛЬСТВО ОБОРОННОЙ ПРОМЫШЛЕННОСТИ
Москва 1959

В статьях сборника приводятся результаты исследований, относящихся к комплексу весьма часто встречающихся в различных областях современного приборостроения и специального машиностроения и тесно связанных между собой вопросов: автоматического регулирования, колебаний, гироскопия, устойчивости движения и устойчивости процессов.

Книга рассчитана на научных работников, аспирантов, инженеров и студентов старших курсов приборостроительных и машиностроительных вузов.

ПРЕДИСЛОВИЕ

В статьях настоящего сборника отражены результаты исследовательских работ кафедры теоретической механики, проведенных в некоторых областях современного приборостроения и машиностроения, в которых в первую очередь необходимо применять теоретические и математические методы. Сюда относятся: общая теория автомата, теория колебаний, теоретическая и прикладная гироскопия, теория колебаний, специальные виды механизмов.

В статье Е. К. Шигина разрабатывается новый метод регулирования, состоящий в использовании нелинейных систем специального вида, с особыми характеристиками, названными автором дельта-характеристиками. Метод автора позволяет значительно улучшить переходный процесс, снизив величину перерегулирования и время для обеспечения желаемого режима в быстропотекающих процессах и явлениях.

В статье В. В. Астафьева дается уточнение классических результатов, полученных одним из крупнейших советских гироскопистов Б. В. Булгаковым и относящихся к изучению влияния ускорений летательного аппарата на движение гироскопа как основного элемента некоторого гироскопа. При составлении уравнений движения гироскопа учитываются нелинейные члены, ранее опускавшиеся, и выделяется более точная картина работы гироскопа. Полученные результаты, безусловно, будут полезны при создании гироскопов, требования к точности работы которых все время повышаются.

В работе Г. И. Замуруева исследуется весьма актуальный для современной ракетной техники вопрос о возникновении вредных колебаний давлений в камере ЖРД в процессе горения. Автор исследует весь гидравлический тракт, подводящий топливо в камеру сгорания, и находит параметры, гарантирующие устойчивость процесса.

В статье Н. К. Дубачевой разбираются некоторые особенности современных методов изучения нелинейных колебаний, наблюдающихся в различных областях приборостроения.

В работе К. А. Голенко рассматриваются некоторые вопросы, имеющие значение для баллистики тел с жидким заполнением.

Статьи М. П. Тарновской содержат оригинальные результаты, относящиеся к задаче изыскания оптимальных (в смысле малогаб-

Редактор изд. Е. В. Латкина

Зав. редакцией изд. А. С. Займовская

режиссура, жюри, другие требования) кулачных механизмов, применяющихся в некоторых специальных устройствах.

Работа М. З. Ливина-Казюк, старшего научного сотрудника кафедры прикладной механики Московского Государственного университета, помещена в порядке содружества кафедр; в ней приводятся результаты, весьма полезные для более рационального расчета многозвенных систем.

В статье Ю. Е. Заларова рассматриваются процессы, происходящие в полостях эллиптических гидросервомеханизмов. Явления, связанные с протеканием вязкой жидкости в полостях сложной геометрической конфигурации с особыми граничными условиями, имеют большое значение при исследовании всего гидросервомеханизма, а следовательно, при составлении уравнений движения всей данной системы автоматического управления.

Кроме работ, имеющих исследовательский характер, в сборнике помещена научно-методическая статья П. В. Орехова о выводе формулы для гироскопического момента с помощью теоремы Корiolиса. Гироскопический эффект встречается в столь многих областях приборно- и машиностроения, что для работников-практиков наглядное объяснение этого явления будет, безусловно, полезно.

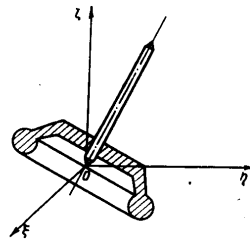
В. В. Добронравов

Ассистент В. В. АСТАФЬЕВ

К ВОПРОСУ ОБ УТОЧНЕНИИ ВЛИЯНИЯ ДВИЖЕНИЯ ТОЧКИ ОПОРЫ ГИРОСКОПА НА ХАРАКТЕР ЕГО ДВИЖЕНИЯ

КИНЕМАТИЧЕСКИЕ СООТНОШЕНИЯ

Рассмотрим движение гироскопа по отношению к координатной системе $O\xi\eta\zeta$ (фиг. 1), которая имеет начало в точке опоры гироскопа и оси которой ориентируются определенным образом по отношению к Земле. Анализируя движение координатной системы $O\xi\eta\zeta$,



Фиг. 1.

будем учитывать движение машины (судна, самолета), на которой расположен гироскоп, вдоль земной поверхности и вращение Земли вокруг земной оси. Влиянием поступательного движения земной оси, получающегося в результате вращения Земли вокруг Солнца, пренебрегаем, ибо угловая скорость и ускорение, связанные с этими движениями, незначительны.

Система отсчета $O\eta\zeta$ ориентруется таким образом, что при совпадении начала координат O по земной поверхности ось ζ направлена по вертикали вверх, ось ξ и η ориентированы географически по направлениям ост и юг (фиг. 2). Обозначим через u_1, u_2, u_3 проекции мгновенной угловой скорости трехгранника $O\eta\zeta$ на оси ξ, η, ζ ; через U — угловую скорость Земли; R — радиус Земли; v_E и v_A — мгновенную и среднюю составляющие скорости машины относительно Земли; λ и φ — долготу и широту.

В соответствии с принятыми обозначениями можно записать

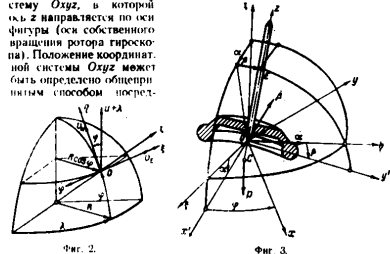
$$u_1 = -\dot{\varphi} = -\frac{v_A}{R};$$

$$u_2 = (U + \dot{\lambda}) \cos \varphi = \left(U + \frac{v_E}{R \cos \varphi} \right) \cos \varphi = U \cos \varphi + \frac{v_E}{R} = \frac{v_E}{R}; \quad (1)$$

$$u_3 = (U + \dot{\lambda}) \sin \varphi = U \sin \varphi + \frac{v_E}{R} \operatorname{tg} \varphi = u_2 \operatorname{tg} \varphi.$$

где $V_E = HU \cos \varphi + v_E$ и $V_A = v_A$ (2)

проекции скорости абсолютного движения машины.
Для определения положения гироскопа в системе отсчета $O\eta\zeta$ (фиг. 3) можно жестко связать с телом гироскопа координатную систему $Ox'y'z$, в которой ось z направлена по оси фигуры (оси собственного вращения ротора гироскопа). Положение координатной системы $Ox'y'z$ может быть определено общепринятым способом постр-



ством трех углов Эйлера. Важно знать положение оси фигуры в системе $O\eta\zeta$.
Для определения этого положения целесообразно ввести новую систему координат $Ox'y'z$, в которой ось z располагается по оси фигуры; ось x — линия сечения плоскостей $\xi\zeta$ и xz .

Оси x', y' называются осями Рессала; ось x' называется линией узла, ось y' — локерчевой осью. Положение оси z в системе отсчета $Ox'y'z$ в системе отсчета $O\eta\zeta$ удобно определять углами α и β : α — долгота; β — широта вершин гироскопа E на сфере, описанной из начала координат радиусом, равным длине дуги (вершинной E «апоксим») гироскопа называет точку, лежащую на перпендикулярном направлении оси фигуры z , на расстоянии одной линейной единицы от опоры). Угол α отсчитывается в плоскости $\xi\zeta$ против движения часовой стрелки вокруг оси η от оси ζ до проекции оси z на плоскость $\xi\zeta$; β — угол оси фигуры z с плоскостью $\xi\zeta$. Положение трехгранника $Ox'y'z$ по отношению к системе отсчета $Ox'y'z$ вполне определяется углом собственного вращения φ , а по отношению к системе отсчета $O\eta\zeta$ — углами α, β, φ .

Обычно в практике наблюдаются малые колебания оси фигуры около постоянного направления, которое мы можем принять за ось ζ , поэтому углы α и β малы. Беря приближенные значения косинусов углов между осями координат, запишем таблицу косинусов углов, образуемых осями x', y', z с осями ξ, η, ζ :

	ξ	η	ζ
x'	1	0	$-\alpha$
y'	0	1	$-\beta$
z	α	β	1

(3)

Определим теперь проекции абсолютной угловой скорости трехгранника $Ox'y'z$ на оси x', y', z , которые обозначим через p', q', r' , и проекции на те же оси абсолютной угловой скорости жестко связанного с гироскопом трехгранника $Ox'y'z$, обозначив их через p, q, r .
Проекции переносной угловой скорости, т. е. угловой скорости трехгранника $O\eta\zeta$ на оси x', y', z в соответствии с таблицей косинусов (3) запишутся так: $u_1 = u_2 \alpha, u_2 = u_3 \beta, u_3 = u_2 \alpha + u_3 \beta + u_4$.
Относительная угловая скорость, т. е. угловая скорость трехгранника $Ox'y'z$ по отношению к системе отсчета $O\eta\zeta$, определяется составляющими α и β . Вектор β располагается по оси x' , перпендикулярной плоскости угла β , и направлен в сторону, противоположную положительному направлению оси x' . Вектор α располагается по оси η . Проекции относительной угловой скорости трехгранника $Ox'y'z$ на оси x', y', z в соответствии с таблицей косинусов будут $-\beta, \alpha, \alpha\beta$, а проекции абсолютной угловой скорости $p' = u_1 - u_2 \alpha - \beta, q' = -u_2 - u_3 \beta + \alpha, r' = u_3 + u_2 \beta + u_4 + \alpha\beta$.
Угловая скорость трехгранника $Ox'y'z$ и связанного с ним гироскопа по отношению к системе отсчета $O\eta\zeta$ определяется состав-

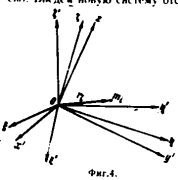
твоянии α, β, ψ . Вектор ψ направлен перпендикулярно к плоскости угла ψ по оси z . Проекции относительной угловой скорости трехгранника $Oxyz$ на оси Резаля x', y' совпадают с проекциями относительной угловой скорости трехгранника $Ox'y'z'$ на те же оси, а проекция на ось z , называемая угловой скоростью собственного вращения, будет $\alpha\beta + \psi$.

Проекции абсолютной угловой скорости трехгранника $Oxyz$ и связанного с ним гироскопа на оси x', y', z будут

$$p = p' - u_1 - u_2 \alpha - \beta; \quad q = q' - u_2 - u_3 \beta + \alpha; \quad r = r' + \psi = u_1 \alpha + u_2 \beta + u_3 + \alpha\beta + \psi. \quad (4)$$

ДИНАМИЧЕСКИЕ СООТНОШЕНИЯ

Рассмотрим движение гироскопа под действием приложенных сил. Введем новую систему отсчета $O\xi\eta\zeta$, которая имеет начало в точке опоры O и движется поступательно (фиг. 4). Движение этой системы отсчета будем считать переносным, а движение гироскопа в системе $O\xi\eta\zeta$ — относительным. Тогда для каждой точки (с массой m_i) тела гироскопа можно записать дифференциальное уравнение относительного движения:



где K'_i — главный вектор внешних сил, приложенных к точке; \bar{W}_i — переносное ускорение точки, которое для всех точек одинаково и равно ускорению \bar{W} точки опоры; $\bar{W}_i = d\bar{v}_i/dt$ — относительное ускорение точки, равное первой производной вектора относительной скорости точки по времени по отношению к системе отсчета $O\xi\eta\zeta$.

В дальнейшем обозначение d/dt будет соответствовать производной вектора по отношению к системе отсчета $O\xi\eta\zeta$, а обозначение d/dt — производной вектора по отношению к системе осей Резаля $Ox'y'z'$. Тогда

$$m_i \frac{d^2 \xi_i}{dt^2} = K'_i + \bar{K}'_i - m_i \bar{W}_i$$

Умножим обе части уравнения слева векторно на радиус-вектор точки \bar{r}_i и сложим уравнения, написанные для всех точек; учитывая,

что сумма моментов внутренних сил $\sum \bar{r}_i \times \bar{K}_i$ равна нулю, получим уравнение

$$\sum \bar{r}_i \times m_i \frac{d^2 \xi_i}{dt^2} = \sum \bar{r}_i \times \bar{K}'_i - \sum \bar{r}_i \times m_i \bar{W}$$

Продолжая обычные преобразования (также же, как при выводе теоремы о кинетическом моменте), получим уравнение, выражающее теорему о кинетическом моменте в относительном движении по отношению к поступательно движущейся переносной системе отсчета:

$$\frac{dK}{dt} = \bar{L} - \frac{p}{g} \bar{r}_c \times \bar{W}. \quad (5)$$

В этом уравнении $\bar{K} = \sum \bar{r}_i \times m_i \bar{v}_i$ — кинетический момент гироскопа в относительном движении по отношению к поступательно движущейся переносной системе отсчета $O\xi\eta\zeta$;

$\bar{L} = \sum \bar{r}_i \times \bar{K}'_i$ — главный момент внешних сил относительно точки опоры O ;

p — вес гироскопа; $\bar{r}_c(x', y', z)$ — радиус-вектор центра тяжести.

Применяя к левой части уравнения (5) формулу локальной производной, получим

$$\frac{dK}{dt} + \bar{\omega} \times K = \bar{L} - \frac{p}{g} \bar{r}_c \times \bar{W}, \quad (6)$$

где $\bar{\omega}(p, q, r)$ — угловая скорость системы осей Резаля. Спроектировав уравнение (6) на оси x', y', z , найдем

$$\left. \begin{aligned} \frac{dK_x}{dt} + qK_y - rK_z &= L'_x - \frac{p}{g}(y'_c W_z - z'_c W_y); \\ \frac{dK_y}{dt} + rK_x - pK_z &= L'_y - \frac{p}{g}(z'_c W_x - x'_c W_z); \\ \frac{dK_z}{dt} + pK_y - qK_x &= L'_z - \frac{p}{g}(x'_c W_y - y'_c W_x). \end{aligned} \right\} \quad (7)$$

Эти уравнения верны не только для симметричного гироскопа, но и для любого твердого тела, имеющего закрепленную точку O . Центр тяжести симметричного гироскопа $C(0, 0, -l)$ лежит на оси фигуры.

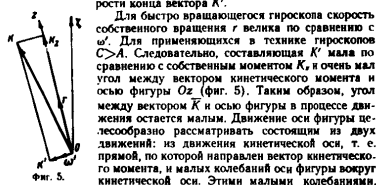
Учитывая, что $K_x = Ap; K_y = Aq; K_z = Cr$,

10. Момент инерции симметричного гироскопа относительно любой оси, проходящей через точку опоры O и перпендикулярной оси фигуры Oz .
 С. Момент инерции гироскопа относительно оси фигуры, из уравнений (7) получим следующие уравнения, которые будут верны только для симметричного гироскопа:

$$\left. \begin{aligned} A(p - q\dot{\varphi}') + Crq = L_x' - \frac{p}{g} I \omega_{x'}; \\ A(q + p\dot{\varphi}') - Crp = L_y' + \frac{p}{g} I \omega_{y'}; \\ Cr = L_x. \end{aligned} \right\} \quad (8)$$

Члены $A(p - q\dot{\varphi}')$ и $A(q + p\dot{\varphi}')$, содержащие A , не зависят от угловой скорости собственного вращения и обусловлены проекцией ω' абсолютной угловой скорости гироскопа на плоскость, перпендикулярную оси фигуры.

Представим кинетический момент \vec{K} состоящим из экваториальной составляющей $\vec{K} = A\omega'$ и составляющей $\vec{K}_z = Cr$, которую назовем *собственным моментом гироскопа*. Нетрудно убедиться в том, что члены, содержащие A , являются проекциями производной $\frac{d\vec{K}}{dt}$ на оси x' и y' или, иначе говоря, равны проекциям на оси x' и y' скорости конца вектора \vec{K} .



Для быстро вращающегося гироскопа скорость собственного вращения $\dot{\varphi}$ велика по сравнению с ω' . Для применяющихся в технике гироскопов $C \gg A$. Следовательно, составляющая K_z мала по сравнению с собственным моментом K_z и очень мал угол между вектором кинетического момента и осью фигуры Oz (фиг. 5). Таким образом, угол между вектором \vec{K} и осью фигуры в процессе движения остается малым. Движение оси фигуры целесообразно рассматривать состоящим из двух движений: из движения кинетической оси, т. е. прямой, по которой направлен вектор кинетического момента, и малых колебаний оси фигуры вокруг кинетической оси. Этими малыми колебаниями, обусловленными составляющей K_z , можно пренебречь.

В практических расчетах обычно пренебрегают экваториальной составляющей кинетического момента K_z , приближенно полагая кинетический момент равным собственному моменту гироскопа: $\vec{K} \approx Cr$, что соответствует отбрасыванию в уравнениях (8) членов, содержащих A .

Предполагаем, что составляющая момента сил сопротивления от трения при вращении вокруг оси фигуры уравновешивается активным вращающим моментом, приложенным к гироскопу, и $L_z' = 0$. Согласно уравнению (8') $r = \text{const}$.

Определим момент относительно точки опоры силы веса гироскопа в центре тяжести $C(0, 0, -l)$, лежащей на оси фигуры. Вектор силы веса параллелен оси z и в соответствии с таблицей косинусов (3) проекции его на оси x', y', z будут $-P\alpha, -P\beta, P$, а проекции момента силы веса на те же оси будут $lP\beta, -lP\alpha, 0$. Проекции главного момента внешних сил L_x' и L_y' можно считать состоящими из двух слагаемых, одно из которых обусловлено силой веса, а другое — прочими внешними силами: $L_x' = -lP\beta + L_x, L_y' = lP\alpha + L_y$. Тогда уравнения (8) запишутся так:

$$\left. \begin{aligned} A(p - q\dot{\varphi}') + Crq = lP\beta + L_x - \frac{p}{g} I \omega_{x'}; \\ A(q + p\dot{\varphi}') - Crp = -lP\alpha + L_y + \frac{p}{g} I \omega_{y'}. \end{aligned} \right\} \quad (9)$$

Ускорение \vec{W} точки опоры равно ускорению машины, на которой расположен гироскоп и которая движется вдоль земной поверхности. Найдем ускорение машины как производную от абсолютной скорости:

$$\vec{W} = \frac{d\vec{V}}{dt} = \frac{d}{dt} (V_E \vec{i} + v_N \vec{j}),$$

где V_E и v_N — восточная и северная составляющие скорости абсолютного движения машины; \vec{i}, \vec{j} — единичные векторы, направленные по осям ξ, η .

$$\vec{W} = V_E \vec{i} + \dot{v}_N \vec{j} + V_E \frac{d\vec{i}}{dt} + v_N \frac{d\vec{j}}{dt}.$$

$$V_E \frac{d\vec{i}}{dt} + v_N \frac{d\vec{j}}{dt} = V_E \vec{\omega} \times \vec{i} + v_N \vec{\omega} \times \vec{j} = \vec{\omega} \times \vec{V}.$$

Здесь $\vec{\omega}$ — абсолютная угловая скорость трехгранника $O\xi\eta$. Угловая скорость $\vec{\omega}$ — величина малая, она мало отличается от угловой скорости вращения Земли вокруг собственной оси (за исключением случаев, когда движущаяся машина находится близко от северного или южного полюса и имеет восточную составляющую скорости, т. е. v_E не равно нулю). Вектор $\vec{\omega} \times \vec{V}$ мал по сравнению с $V_E \vec{i} + v_N \vec{j}$ и $\vec{W} \approx V_E \vec{i} + v_N \vec{j}$; $W_x = V_E$; $W_y = v_N$; $W_z = 0$. В соответствии с таблицей косинусов (3) запишем $W_x \approx W_1 = V_E$; $W_y \approx W_2 = v_N$; $W_z = W_3 + W_3' = V_E \alpha + v_N \beta$.

Таким образом, уравнения (9) примут вид

$$\left. \begin{aligned} A(p - q\dot{\varphi}') + Crq = lP\beta + L_x - \frac{p}{g} I \omega_{x'}; \\ A(q + p\dot{\varphi}') - Crp = -lP\alpha + L_y + \frac{p}{g} I \omega_{y'}. \end{aligned} \right\} \quad (10)$$

На гироскоп, кроме реакции опоры, которая не дает момента отклонения точки O и силы веса, действуют обычно силы сопротивления от трения. Если пренебречь сопротивлением от трения, за исключением сопротивлений при вращении вокруг оси фигуры, которые уравновешиваются активным вращающим моментом, то $L_c = 0$ и $L_c = 0$.

Для упрощения расчетов пренебрежем членами, содержащими A , так как

$$\left. \begin{aligned} -Crq + H\dot{\beta} &= \frac{p}{k} i v_N; \\ -Crp + H\dot{\alpha} &= \frac{p}{k} i v_E. \end{aligned} \right\} \quad (11)$$

Подставляя значения p и q согласно (4), получим

$$\left. \begin{aligned} -Cr(u_2 - u_1\dot{\beta} + \dot{\alpha}) + H\dot{\beta} &= \frac{p}{k} i v_N; \\ -Cr(u_1 - u_2\dot{\alpha} - \dot{\beta}) + H\dot{\alpha} &= \frac{p}{k} i v_E. \end{aligned} \right\}$$

Разделим левые и правые части полученных уравнений на $-Cr$ и введем обозначение $k = \frac{p}{Cr}$:

$$\left. \begin{aligned} \dot{\alpha} + u_2 - u_1\dot{\beta} - k\dot{\alpha} &= -\frac{k}{k} i v_N; \\ -\dot{\beta} + u_1 - u_2\dot{\alpha} - k\dot{\beta} &= -\frac{k}{k} i v_E. \end{aligned} \right\}$$

Обе части второго из полученных уравнений помножим на $-i$ ($i^2 = -1$) и сложим с первым:

$$\dot{\alpha} + i\dot{\beta} + (u_2 + k)(i\alpha - \beta) + u_2 - iu_1 = -\frac{k}{k} i v_N + \frac{k}{k} i v_E \quad (12)$$

В уравнениях (1) $u_2 = U \sin \varphi + (v_E R) \operatorname{tg} \varphi$; следовательно, $u_1 + k = U \sin \varphi + (v_E R) \operatorname{tg} \varphi + k$. Величиной $\frac{v_E R}{R} \operatorname{tg} \varphi$ пренебрегаем по сравнению с k и вводим обозначение $U \sin \varphi + k = k'$.

Положим $W = \alpha + i\beta$ (принимая во внимание равенства (1) и учитывая, что $i/i = -i$), уравнение (12) запишем так:

$$W + ik'W = \frac{ik}{k} (v_E + i v_N) - \frac{1}{R} (v_E + i v_N). \quad (13)$$

Относительно того, насколько допустимо пренебрегать величиной $\frac{v_E R}{R} \operatorname{tg} \varphi$, можно сказать следующее. В том случае, когда машина предполагается движущейся "прямолинейно" и равно-

* Слово "прямолинейно" взято в кавычки, так как движение, которое мы считаем на Земле прямолинейным, непрямолинейно по отношению к абсолютно неподвижной системе отсчета.

мерно, так что v_E и v_N постоянны, членом $\frac{v_E R}{R} \operatorname{tg} \varphi$ лучше не пренебрегать (тогда $k' = U \sin \varphi + \frac{v_E R}{R} \operatorname{tg} \varphi + k$). При движении с ускорением (v_E и v_N — переменные величины) этим членом пренебрегаться не следует, чтобы избежать дифференциального уравнения с переменными коэффициентами. Вообще говоря, коэффициент k' будет переменным и при прямолинейном и равномерном движении, так как угол φ меняется, когда v_N не равно нулю, но это изменение незначительно и можно считать $U \sin \varphi \approx \text{const}$ и $\operatorname{tg} \varphi \approx \text{const}$. Пренебрегать величиной $\frac{v_E R}{R} \operatorname{tg} \varphi$ следует с осторож-

ностью, так как при современных скоростях машины $\frac{v_E R}{R} \operatorname{tg} \varphi$ может превосходить $U \sin \varphi$, оставаясь меньше k для применяемых на практике гироскопов в несколько десятков раз. Все сказанное выше о пренебрежении величиной $\frac{v_E R}{R} \operatorname{tg} \varphi$ относится к случаям, когда машина находится на значительном расстоянии от земных полюсов.

Для решения уравнения (13) в самом общем виде воспользуемся методом вариации произвольных постоянных. Введем обозначение

$$p = \frac{ik}{k} (v_E + i v_N) - \frac{1}{R} (v_E + i v_N). \quad (14)$$

тогда

$$W + ik'W = p. \quad (15)$$

Для решения однородного уравнения, входящего в состав уравнения (15), составим характеристическое уравнение с корнем λ :

$$\lambda + ik' = 0,$$

откуда $\lambda = -ik'$.

Тогда решением однородного уравнения будет $C^* e^{-ik't}$. Величину C^* будем считать не постоянной, а функцией времени, которую можно подобрать так, чтобы удовлетворить неоднородному уравнению (15):

$$\begin{aligned} W &= C^* e^{-ik't}; \\ W &= C^* e^{-ik't} - C^* ik' e^{-ik't}, \end{aligned}$$

Подставим W и W' в уравнение (15)

$$C^* e^{-ik't} - C^* ik' e^{-ik't} + ik' C^* e^{-ik't} = p,$$

откуда $C^* = \int p e^{ik't} dt + C$ и общее решение будет

$$W = e^{-ik't} \int p e^{ik't} dt + C e^{-ik't}. \quad (16)$$

Общее решение складывается из частного решения $W^* = e^{-iKt} \int p e^{iKt} dt$ (17) и решения однородного уравнения Ce^{-iKt} . $W = W^* + Ce^{-iKt}$.

Для нахождения произвольной постоянной C используем начальные условия при $t=0$ $W = W_0$, $W^* = W_0^*$.

$W_0 = W_0^* + C$; $C = W_0 - W_0^*$; $W = W^* + (W_0 - W_0^*)e^{-iKt}$. (18)

Решение однородного уравнения принимает вид $(W_0 - W_0^*)e^{-iKt}$.

При малых углах α и β можно принять их за прямоугольные координаты вершины гироскопа E в горизонтальной плоскости Π , проведенной на высоте, равной одной линейной единице над точкой опоры. Тогда комплексное число W геометрически изображается радиусом-вектором вершины в этой плоскости. Движение вершины гироскопа E на картинной плоскости Π может быть представлено как результат двух движений: движения некоторой точки N , определяемой радиусом-вектором, соответствующим частному решению W^* , и движения вершины E , которая определяется по отношению к точке N радиусом-вектором, соответствующим решению однородного уравнения (фиг. 6).

Решение однородного уравнения $Ce^{-iKt} = C(\cos Kt + i \sin Kt)$ описывает движение вершины гироскопа E вокруг точки N по окружности постоянного радиуса $|C| = |W_0 - W_0^*|$ с угловой скоростью K . Таким образом, движение оси фигуры может быть представлено состоянием из двух движений: из движения некоторой оси, проходящей через точку опоры и через точку N , и из конической прецессии оси фигуры вокруг этой оси, коническая прецессия определяется решением однородного уравнения. Угол конуса прецессии определяется величиной $C = W_0 - W_0^*$, т. е. зависит от начальных условий. Угловая скорость прецессии будет $-K$.

РАСКОМПОЗИЦИЯ РАЗЛИЧНЫХ СЛУЧАЕВ ДВИЖЕНИЯ МАШИНЫ

1. Прямолинейное и равномерное движение (13) будет стоять постоянное комплексное число $-\frac{1}{R}(V_x + iV_y)$;

и частное решение уравнения (13) будет равно этому числу, деленному на коэффициент при W :

$$W^* = \alpha^* + \beta^* = -\frac{1}{K'R}(V_x + iV_y).$$

Разделяя действительную и мнимую части, получим

$$\alpha^* = -\frac{V_x}{K'R}, \quad \beta^* = -\frac{V_y}{K'R}.$$

Углы α^* и β^* представляют собой скоростные девиации гироскопа. Они определяют положение оси, вокруг которой происходит прецессия (фиг. 7).

Направление радиуса-вектора W^* перпендикулярно скорости движения машины V . Следует обратить внимание на то, что W^* зависит от знака K' , определяемого знаком k , а знак $k = IP/CG$ определяется положением центра тяжести гироскопа и направлением угловой скорости собственного вращения.

Учитывая, что W^* — величина постоянная, запишем общее решение согласно (18)

$$W = W^* + (W_0 - W^*)e^{-iKt}.$$

В этом решении дифференциального уравнения частное решение W^* определяет положение оси, вокруг которой происходит прецессия (фиг. 8); $(W_0 - W^*)$ определяет угол отклонения оси собственного вращения от оси, вокруг которой происходит прецессия (при $W_0 = W^*$ угол отклонения равен нулю). Величина $-K'$ — угловая скорость прецессии по отношению к системе отсчета $O\xi\eta$ (при $K' > 0$ прецессия совершается по часовой стрелке, при $K' < 0$ — против часовой стрелки, если смотреть со стороны положительного направления оси ζ). Оси ξ, η вращаются вокруг оси ζ с угловой скоростью

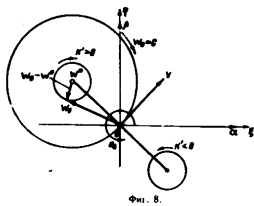
$$\omega_3 = U \sin \varphi + \frac{U^2}{R} \operatorname{tg} \varphi.$$

Если принять во внимание, что W^* — малая величина, то ось, вокруг которой происходит прецессия, можно считать совпадающей с осью ζ , и угловую скорость прецессии относительно неподвижных звезд можно определить как сумму угловой скорости прецессии по отношению к системе отсчета $O\xi\eta$ и переносной угловой скорости вращения осей ξ, η вокруг оси ζ :

$$\omega_{\text{пр}} = -K' + \omega_3 \quad (19)$$

$K = U \sin \varphi + \frac{v}{R} \operatorname{tg} \varphi + k$ (если не пренебрегать $\frac{v}{R} \operatorname{tg} \varphi$):
 $\omega_{\text{пр}} = -U \sin \varphi - \frac{v}{R} \operatorname{tg} \varphi - k - U \sin \varphi + \frac{v}{R} \operatorname{tg} \varphi = -k = -\frac{g}{C}$.

Мы получили для угловой скорости прелессы относительно неподвижной звезд такое же выражение, которое применяется в приближенной теории гироскопа для подсчета угловой скорости прелессы.



Фиг. 8.

2. Равномерное движение машины по окружности по отношению к Земле. Скорость машины по отношению к Земле обозначим через v (Фиг. 9), тогда

$$\begin{aligned} v_x &= v \cos(\omega t + \delta); \\ v_y &= v \sin(\omega t + \delta); \\ V_x &= UR \cos \varphi + v \cos(\omega t + \delta). \end{aligned} \quad (20)$$

Абсолютная величина угловой скорости машины может быть найдена из соотношения $|\omega| = v/R^*$ (R^* — радиус окружности, по которой происходит движение машины). При заданной по абсолютной величине скорости v числовое значение угловой скорости берется положительным при круговом движении против часовой стрелки и отрицательным при круговом движении по часовой стрелке. Величину $UR \cos \varphi$ будем считать постоянной, так как φ меняется очень медленно. Тогда согласно (14)

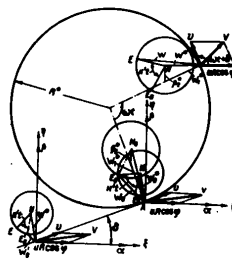
$$\beta = \frac{dv}{dt} \left[-v \sin(\omega t + \delta) + v \cos(\omega t + \delta) \right] - \frac{1}{R} [UR \cos \varphi + v \cos(\omega t + \delta) + v \sin(\omega t + \delta)] = -\frac{dv}{dt} [\cos(\omega t + \delta) + \sin(\omega t + \delta)] - \beta^*$$

$$\begin{aligned} & -U \cos \varphi - \frac{v}{R} [\cos(\omega t + \delta) + \sin(\omega t + \delta)]; \\ & \beta = -v \left(\frac{dv}{dt} + \frac{1}{R} \right) e^{i(\omega t + \delta)} - U \cos \varphi. \end{aligned} \quad (21)$$

Согласно (17)

$$W^* = e^{-i\omega t} \int \left[-v \left(\frac{dv}{dt} + \frac{1}{R} \right) e^{i(\omega t + \delta)} - U \cos \varphi \right] e^{i\omega t} dt =$$

$$= \frac{v \left(\frac{dv}{dt} + \frac{1}{R} \right) e^{i(\omega t + \delta)}}{i(\omega + k')} - \frac{U \cos \varphi}{ik'} = \frac{v \left(\frac{dv}{dt} + \frac{1}{R} \right)}{i(\omega + k')} [\cos(\omega t + \delta) + i \sin(\omega t + \delta)] - \frac{U \cos \varphi}{ik'}$$



Фиг. 9.

Разделим действительную и мнимую части, используя обозначение $W^* = \alpha^* + i\beta^*$:

$$\alpha^* = \frac{v \left(\frac{dv}{dt} + \frac{1}{R} \right) \sin(\omega t + \delta)}{\omega + k'} - \frac{\frac{dv}{dt} + \frac{1}{R}}{\omega + k'} v \sin \varphi;$$

$$\beta^* = \frac{v \left(\frac{dv}{dt} + \frac{1}{R} \right) \cos(\omega t + \delta)}{\omega + k'} + \frac{U \cos \varphi}{k'} - \frac{\frac{dv}{dt} + \frac{1}{R}}{\omega + k'} v \cos \varphi + \frac{U \cos \varphi}{k'}.$$

Принимая в полученных выражениях угловую скорость ω равной нулю, будем иметь для α^* и β^* выражения, полученные ранее при рассмотрении равномерного «прямолинейного» движения.

Если радиус поворота R^* не слишком велик, то k мало по сравнению с ω , следовательно,

$$\alpha^* \approx -\frac{k}{\omega} v_{\text{г}}; \quad \beta^* \approx \frac{k}{\omega} v_{\text{г}} + \frac{U \cos \varphi}{k'}$$

Введем обозначения

$$\beta_1^* = \frac{\left(\frac{k\omega}{\omega + k'}\right) v_{\text{г}}; \quad \beta_2^* = \frac{U \cos \varphi}{k'}$$

тогда $\beta^* = \beta_1^* + \beta_2^*$. Величины α^* и β_1^* обусловлены движением машины по отношению к Земле. Величина β_2^* обусловлена вращением Земли вокруг земной оси. Направление радиуса вектора \vec{W}^* , α^* и β_1^* перпендикулярно вектору скорости движения машины относительно Земли.

Процелим за поведением оси фигуры при переходе машины от «прямолинейного» равномерного движения к круговому движению по отношению к Земле (см. фиг. 9). При «прямолинейном» и равномерном движении машины ось фигуры определяет коническую прецессию вокруг оси, положение которой определяется скоростными девиациями $\alpha^* = -V \sin \delta / k'R$ и $\beta^* = V \cos \delta / k'R$, где δ — угол между вектором скорости и направлением оси \vec{z} .

Угол конуса прецессии определяется величиной $W_N^* - W^*$, где W_N^* — начальное отклонение оси фигуры для данного «прямолинейного» равномерного движения.

В некоторой точке A начинается равномерное движение машины по окружности радиуса R^* . С этого момента мы будем иметь коническую прецессию гироскопа, угол конуса которой определяется величиной $W_N - W_0^*$, где W_N — начальное отклонение оси гироскопа для данного кругового движения, а $W_0^* = \alpha_0^* + i \beta_0^*$.

$$\alpha_0^* = -\frac{\omega \left(\frac{k\omega}{\omega + k'}\right) \sin \delta; \quad \beta_0^* = \frac{\omega \left(\frac{k\omega}{\omega + k'}\right) \cos \delta + U \cos \varphi}{\omega + k'}$$

Прецессия происходит вокруг перемещающейся оси, положение которой определяется девиациями

$$\alpha^* = -\frac{\left(\frac{k\omega}{\omega + k'}\right) v_{\text{г}};$$

$$\beta^* = \frac{\left(\frac{k\omega}{\omega + k'}\right) v_{\text{г}} + U \cos \varphi}{\omega + k'}$$

3. Равномерное «прямолинейное» движение машины. В этом случае

где a — постоянное по величине тангенциальное ускорение; $v_0 = \sqrt{v_{0x}^2 + v_{0y}^2}$ — начальная скорость, определяемая северной и восточной составляющими начальной скорости машины.

Составляющие будем считать заданными:

$$\left. \begin{aligned} v_x &= a_x t + v_{0x}; \\ v_y &= a_y t + v_{0y}. \end{aligned} \right\} \quad (22)$$

Учитывая, что при «прямолинейном» движении $v_x, v_y = \text{const}$, можно получить выражения для a_x и a_y :

Согласно (14) и (17)

$$a_x = \frac{v_{0y}}{v_0} a; \quad a_y = \frac{v_{0x}}{v_0} a.$$

$$W^* = e^{-ik't} \int \left\{ \frac{ik}{\omega} (a_x + ia_y) - \frac{1}{R} [UR \cos \varphi + a_x t + v_{0x} + i(a_y t + v_{0y})] \right\} e^{ik't} dt = \frac{k}{\omega k'} (a_x + ia_y) - \frac{U \cos \varphi}{ik'} - \frac{v_{0x} + i v_{0y}}{ik'R} - \frac{e^{-ik't}}{R} (a_x + ia_y) \int t e^{ik't} dt;$$

$$\int t e^{ik't} dt = \frac{e^{ik't}}{ik'} t - \int \frac{e^{ik't}}{ik'} dt = \frac{e^{ik't}}{ik'} t - \frac{e^{ik't}}{k'^2}.$$

Подставив значение интеграла в выражение для W^* , получим

$$W^* = \frac{k}{\omega k'} (a_x + ia_y) - \frac{U \cos \varphi}{ik'} - \frac{v_{0x} + i v_{0y}}{ik'R} - \frac{a_x + ia_y}{ik'R} t + \frac{a_x + ia_y}{k'^2 R} t^2.$$

Разделяя действительную и мнимую части, получим

$$\alpha^* = -\frac{v_{0y}}{k'R} + \left(\frac{k}{\omega k'} + \frac{1}{k'^2 R}\right) a_x - \frac{a_y}{k'R} t;$$

$$\beta^* = \frac{v_{0x}}{k'R} + \frac{U \cos \varphi}{k'} + \left(\frac{k}{\omega k'} + \frac{1}{k'^2 R}\right) a_y + \frac{a_x}{k'R} t.$$

В соответствии с (22)

$$\alpha^* = -\frac{v_{0y}}{k'R} + \frac{k a_x}{\omega k'} + \frac{a_y}{k'^2 R};$$

$$\beta^* = \frac{v_{0x}}{k'R} + \frac{U \cos \varphi}{k'} + \frac{k a_y}{\omega k'} + \frac{a_x}{k'^2 R}.$$

Как видно из выражений для α^* и β^* в случае «спиральной» равномерного движения, помимо скоростных девиаций, имеются девиации, зависящие от ускорения.

Рассмотрим члены a_x/k и a_y/k . Отношение k/M близко к единице. Отношения a_x/k и a_y/k определяют «качку» вертикали, т. е. вправо, по которой располагается равнодействующая веса P и горизонтальной силы инерции $-\frac{P}{g}(a_x + \dot{a}_x)$.

О ПРЕБЛЕЖЕНИИ ВЕЛИЧИНЫ $\frac{v_x}{R}$ И $\frac{v_y}{R}$

При введении обозначения $K = U \sin \varphi + k$ мы пренебрегли величиной $\frac{v_x}{R} \lg \varphi$. Если этой величиной не пренебрегать, то уравнение (15) может быть записано так:

$$\dot{W} + i(U \sin \varphi + k + \frac{v_x}{R} \lg \varphi) W = p.$$

Введем обозначение

$$k^* = U \sin \varphi + k + \frac{v_x}{R} \lg \varphi;$$

$$\dot{W} + ik^* W = p.$$

Найдем решение однородного уравнения

$$\dot{W} + ik^* W = 0,$$

$$\frac{dW}{dt} + ik^* W = 0.$$

Разделив переменные, получим

$$\frac{dW}{W} = -ik^* dt,$$

$$\ln W = -\int ik^* dt + \ln C^*.$$

$$W = C^* e^{-i k^* t}.$$

Считая величину C^* функцией времени, подберем ее таким образом, чтобы получить общее решение уравнения (23):

$$\dot{W} = C^* e^{-i k^* t} - C^* i k^* e^{-i k^* t}.$$

Подставив W и \dot{W} в уравнение (23), получим

$$C^* e^{-i k^* t} - C^* i k^* e^{-i k^* t} + ik^* C^* e^{-i k^* t} = p;$$

$$C^* e^{-i k^* t} = p;$$

$$C^* = \int p e^{-i k^* t} dt + C.$$

Общее решение будет

$$W = e^{-i k^* t} \int p e^{i k^* t} dt + C e^{-i k^* t}.$$

В состав k^* входят переменные величины v_x и φ . Для упрощения расчетов величину φ при интегрировании будем считать постоянной, что вполне допустимо, так как φ изменяется очень медленно ($\varphi = -(\dot{v}_x/R)$ — очень малая величина). Имеем в виду, что $k^* = k + (\frac{v_x}{R}) \lg \varphi$, получим

$$W = e^{-i(k + \frac{v_x}{R} \lg \varphi)t} \int p e^{i(k + \frac{v_x}{R} \lg \varphi)t} dt + C e^{-i(k + \frac{v_x}{R} \lg \varphi)t}.$$

Общее решение W состоит из частного решения

$$W^* = e^{-i(k + \frac{v_x}{R} \lg \varphi)t} \int p e^{i(k + \frac{v_x}{R} \lg \varphi)t} dt \quad (24)$$

и решения однородного уравнения

$$C e^{-i(k + \frac{v_x}{R} \lg \varphi)t}.$$

(23) Частное решение определяет положение оси, вокруг которой происходит коническая прецессия. Заметим, что в частном решении после взятия интеграла от $p e^{i(k + \frac{v_x}{R} \lg \varphi)t}$ появится общий множитель $e^{i(k + \frac{v_x}{R} \lg \varphi)t}$, который при умножении на $e^{-i(k + \frac{v_x}{R} \lg \varphi)t}$ дает единицу; кроме того, в знаменателе частного решения будет содержаться производная от показателя степени $i(k + \frac{v_x}{R} \lg \varphi) v_x dt$, равная ik^* , и в выражениях для девиаций α^* , β^* в знаменателе будет содержаться k^* .

Решение однородного уравнения характеризует прецессию. Если ввести угол поворота $\theta = -k^* t - \frac{v_x}{R} \int v_x dt$, то угловая скорость прецессии относительно системы отсчета Ox_0z_0 будет равна $\dot{\theta} = -k^* - \frac{v_x}{R} v_x = -k^*$.

В соответствии с (19) угловая скорость прецессии относительно абсолютно неподвижной системы отсчета будет $\dot{\alpha}_0 = -k^* + \dot{\alpha}_0 = -k$, т. е. угловую скорость прецессии относительно неподвижных звезд можно подсчитать по формуле

$$\dot{\alpha}_{0c} = -k = -\frac{v_x}{R} \dot{\alpha}_0,$$

применяемой в приближенной теории гироскопа. Рассмотрим два случая движения машины.

1. Равномерное круговое движение машины относительно Земли. Согласно (14) и (20) получим (21):

$$p = -v \left(\frac{h\omega}{k} + \frac{1}{R} \right) e^{i(\omega t + \delta)} - U \cos \varphi.$$

Согласно (24)

$$W^* = e^{-i \left(v t + \frac{h\omega}{k} \int v dt \right)} \left[-v \left(\frac{h\omega}{k} + \frac{1}{R} \right) e^{i(\omega t + \delta)} - U \cos \varphi \right] \times \\ \times e^{i \left(v t + \frac{h\omega}{k} \int v dt \right)} dt = e^{-i \left(v t + \frac{h\omega}{k} \int v dt \right)} \times \\ \times \left[-\frac{v \left(\frac{h\omega}{k} + \frac{1}{R} \right)}{\omega + k' + \frac{v \omega}{R}} e^{i(\omega t + \delta - v t - \frac{h\omega}{k} \int v dt)} - \right. \\ \left. - \frac{U \cos \varphi}{k' + \frac{v \omega}{R}} e^{-i \left(v t + \frac{h\omega}{k} \int v dt \right)} \right] = \\ = \frac{v \left(\frac{h\omega}{k} + \frac{1}{R} \right)}{i \left(\omega + k' + \frac{v \omega}{R} \right)} e^{i(\omega t + \delta)} - \frac{U \cos \varphi}{i \left(k' + \frac{v \omega}{R} \right)} \\ W^* = -\frac{v \left(\frac{h\omega}{k} + \frac{1}{R} \right)}{i(\omega + k')} e^{i(\omega t + \delta)} - \frac{U \cos \varphi}{i k'}$$

Разделяя действительную и мнимую части в выражении W^* , получим девиации α^* и β^* :

$$\alpha^* = -\frac{k\omega}{k'} \frac{1}{R} \nu_N,$$

$$\beta^* = \frac{k\omega}{k'} \frac{1}{R} \nu_E + \frac{U \cos \varphi}{k'}$$

Частное решение W^* и девиации α^* и β^* в этом случае отличаются от частного решения и девиаций, полученных нами ранее при рассмотрении равномерного кругового движения машины относительно Земли без учета v_E и v_N . Тем, что вместо k' в соответствующих выражениях стоит k^* .

Согласно (20)

$$v_E = v \cos(\omega t + \delta); \\ \int v_E dt = \int v \cos(\omega t + \delta) dt = \frac{v}{\omega} \sin(\omega t + \delta) = \frac{v_N}{\omega}$$

Решение однородного уравнения будет

$$C e^{-i \left(v t + \frac{h\omega}{k} \int v dt \right)} = C e^{-i \left(v t + \frac{h\omega}{k} \int v dt - \omega t + \delta \right)}$$

Общее решение будет

$$W = W_0 + C e^{-i \left(v t + \frac{h\omega}{k} \int v dt \right)}$$

Произвольную постоянную C определим, используя начальные условия при $t=0$, $W = W_0$ и $W^* = W_0^*$:

$$C = (W_0 - W_0^*) e^{-i \frac{v \omega t + \delta}{\omega}}$$

Так как величина $\frac{v \omega t + \delta}{\omega}$ очень мала по сравнению с радиусом Земли R , то $e^{-i \frac{v \omega t + \delta}{\omega}} \approx 1$ и $C \approx W_0 - W_0^*$.

2. Прямолинейное равномерное движение машины. Определив согласно (14) и (24) частное решение W^* и девиации α^* и β^* , можно убедиться в том, что эти величины отличаются от ранее полученных при рассмотрении «прямолинейного» равномерного движения без учета $\frac{v_E}{R}$ и v_N только тем, что в них вместо k' стоит k^* .

Согласно (22)

$$v_E = a_E t + v_{0E}; \\ \int v_E dt = \left(a_E t + v_{0E} \right) dt = \frac{a_E t^2}{2} + v_{0E} t.$$

Решение однородного уравнения будет

$$C e^{-i \left(v t + \frac{h\omega}{k} \int v dt \right)} = C e^{-i \left(v t + \left(\frac{a_E t^2}{2} + v_{0E} t \right) \right)}$$

Общее решение будет

$$W = W_0 + C e^{-i \left(v t + \left(\frac{a_E t^2}{2} + v_{0E} t \right) \right)}$$

Подставив начальные условия, получим

$$C = W_0 - W_0^*.$$

На основании изложенного можно сделать вывод: при большой восточной составляющей скорости машины относительно Земли при подсчете девиаций α^* и β^* и угловой скорости прецессии величиной $\frac{v_E}{R} \sin \varphi$ пренебрегать не следует.

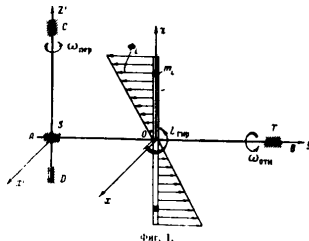
ЛИТЕРАТУРА

Булгаков Б. В., Прикладная теория гироскопов, 2-е издание, ГИИЛ, 1966.

ВЫВОД ФОРМУЛЫ ДЛЯ ГИРОСКОПИЧЕСКОГО МОМЕНТА С ПОМОЩЬЮ ДИНАМИЧЕСКОЙ ТЕОРЕМЫ КОРНОЛИСА

Рассмотрим гироскоп, выделенный по следующей схеме (фиг. 1 и 2).

Вал AB вращается в подшипниках S и T (фиг. 1) с большой угловой скоростью $\omega_{\text{вн}}$, как показано стрелкой. На вал насажен диск массой M , который жестко скреплен с валом и, следовательно, также вращается с большой угловой скоростью $\omega_{\text{вн}}$.



Фиг. 1.

Пусть в некоторый момент времени вал AB вместе с диском получит некоторое дополнительное вращение вокруг оси CD с угловой скоростью $\omega_{\text{отн}}$. В этом случае любая частица диска массой m , расположенная на расстоянии r от оси AB , будет находиться в относительном движении и поэтому к ней можно применить динамическую теорему Корнолиса, согласно которой получим

$$m\ddot{a}_r = \vec{F}_i + \vec{F}_{\text{пер}} + \vec{\Phi}_i \quad (1)$$

где \ddot{a}_r — относительное ускорение этой частицы;
 \vec{F}_i — непосредственно приложенные силы, в данном случае это сила тяжести частицы $\vec{F}_i = m\vec{g}$;
 $\vec{F}_{\text{пер}}$ — переносная сила инерции, $\vec{F}_{\text{пер}} = -m\vec{a}_{\text{пер}}$; $\vec{a}_{\text{пер}}$ — переносное ускорение. При $\omega_{\text{отн}} = \omega_{\text{отн}} \vec{e}_z$ $\vec{a}_{\text{пер}} = \omega_{\text{отн}}^2 \vec{r}$ (фиг. 1). Будем считать $\omega_{\text{отн}} \gg \omega_{\text{вн}}$, поэтому переносной силой инерции будем пренебрегать;
 $\vec{\Phi}_i$ — корнолисова сила инерции;

$$\vec{\Phi}_i = -m\vec{\omega}_{\text{отн}} \times \vec{\omega}_{\text{отн}} \times \vec{r}$$

Согласно правилу векторного произведения двух векторов (в нашем случае векторов $\omega_{\text{отн}}$ и $\omega_{\text{отн}}$) корнолисовы силы инерции, построенные для всех частиц диска, будут расположены параллельно оси Ox (фиг. 1 и 2), причем для верхнего полудиска в одну сторону, а для нижнего — в противоположную. Таким образом к диску будут приложены системы переносных сил инерции $\vec{F}_{\text{пер}}$, сила тяжести \vec{F}_i и корнолисовы силы инерции $\vec{\Phi}_i$. Системой переносных сил инерции, как уже было сказано, в данной задаче будем пренебрегать.

Рассмотрим системы параллельных сил тяжести, создающих статическую нагрузку на подшипники вала, в этой задаче не представляет интереса. Здесь мы рассмотрим подробно лишь корнолисовы силы инерции, которые образуют пару сил, приложенную к валу AB , и подсчитаем момент от этих сил вокруг оси Ox (фиг. 1 и 2). В общем случае любая сила $\vec{\Phi}_i$, приложенная к элементарной частице диска массой m (или другого тела вращения), будет создавать вокруг оси Ox момент

$$L_i = \Phi_i r_i \sin \alpha_i \quad (2)$$

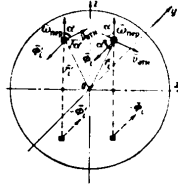
Собравшим результирующий момент всех корнолисовых сил инерции диска относительно оси Ox через $L_{\text{отн}}$, тогда *

$$L_{\text{отн}} = \sum_{i=1}^N \Phi_i r_i \sin \alpha_i \quad (3)$$

но

$$\Phi_i = 2m_i |\vec{\omega}_{\text{отн}} \times \vec{v}_{\text{отн}}| = 2m_i m_{\text{отн}} v_{\text{отн}} \sin(\omega_{\text{отн}} v_{\text{отн}})$$

* Суммирование производится по частям всего диска массой M .



Фиг. 2.

диск. $r_{\text{пр}} = r \sin \alpha$
 потому $\Phi = 2\pi \rho_{\text{пр}} \omega_{\text{пр}} r \sin \alpha$
 согласно принятым обозначениям (фиг. 2) получим
 $r \sin \alpha = r_{\text{пр}}$
 следовательно, уравнение (3) можно переписать в виде

$$L_{z \text{ пр}} = \sum_{\text{пр}} 2\pi m_{\text{пр}} r_{\text{пр}}^2 \omega_{\text{пр}} \quad (4)$$
 Так как $\omega_{\text{пр}}$ и $m_{\text{пр}}$ при суммировании по точкам диска не меняются, то их можно вынести за знак суммирования, т. е.

$$L_{z \text{ пр}} = 2\omega_{\text{пр}} \sum_{\text{пр}} m_{\text{пр}} r_{\text{пр}}^2 \quad (5)$$
 но

$$\sum_{\text{пр}} m_{\text{пр}} r_{\text{пр}}^2 = J_{z \text{ пр}}$$
 где $J_{z \text{ пр}}$ — момент инерции диска относительно диаметра, совпадающего с осью Oz ,
 а $2J_{z \text{ пр}} = J_{\text{пр}}$ — момент инерции диска относительно оси, проходящей через центр диска перпендикулярно плоскости его вращения.
 Поэтому

$$L_{z \text{ пр}} = J_{\text{пр}} \omega_{\text{пр}} \quad (6)$$

Применяя правило векторного произведения двух векторов, легко выразить векторный момент $L_{\text{пр}}$ через векторное произведение $\omega_{\text{пр}}$ и $\vec{J}_{\text{пр}}$

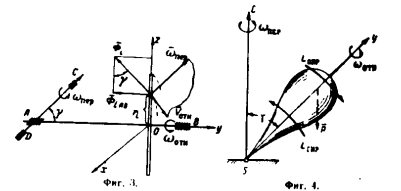
$$\vec{L}_{\text{пр}} = J_{\text{пр}} \vec{\omega}_{\text{пр}} \times \vec{e}_{\text{пр}} \quad (7)$$
 Таким образом, если быстро вращающемуся диску вокруг оси AB сообщить некоторое дополнительное вращение вокруг оси CD с угловой скоростью $\omega_{\text{доп}}$, то возникает некоторый момент $L_{\text{доп}}$, который стремится ось собственного вращения AB совместить с осью дополнительного вращения в сторону наименьшего угла между осями. Это правило называется правилом Н. Е. Жуковского, а момент $L_{\text{доп}}$ — гироскопический момент.
 Если ось CD расположена не под прямым углом по отношению к оси AB , а под произвольным углом γ , то в выражение для элементарного момента гироскопической силы Φ войдет $\sin \gamma$, так как момент будет образован в этом случае лишь той составляющей силы Φ , которая параллельна оси AB (фиг. 3), т. е. силой

$$|\Phi_{AB}| = \Phi \sin \gamma.$$

Другая составляющая будет пересекать ось Ox , поэтому момент ее будет равен нулю. Учитывая сказанное и имея в виду, что углы при суммировании по точкам диска не меняются, запишем выражение для гироскопического момента

$$L_{z \text{ доп}} = J_{\text{пр}} \omega_{\text{доп}} \sin \gamma \quad (8)$$
 Так как угол γ есть угол между векторами $\vec{\omega}_{\text{доп}}$ и $\vec{\omega}_{\text{пр}}$, то легко выразить векторный момент $L_{\text{доп}}$ через векторное произведение $\omega_{\text{доп}}$ и $\vec{J}_{\text{пр}}$

$$\vec{L}_{\text{доп}} = J_{\text{пр}} \vec{\omega}_{\text{доп}} \times \vec{e}_{\text{пр}} \quad (9)$$



Мы взяли для упрощения выкладки простейшее тело вращения — диск. Очевидно, что суммирование точек можно вести по любому объему тела вращения, следовательно, под $J_{\text{пр}}$ надо понимать момент инерции любого тела вращения относительно оси собственного вращения, т. е. относительно оси AB . Например, если взять обыкновенный волчок (фиг. 4), то в этом случае $J_{\text{пр}}$ — момент инерции волчка относительно оси собственного вращения, а момент $L_{\text{доп}}$ будет представлять падение волчка под действием опрокидывающего момента $L_{\text{доп}}$, образованного силой тяжести \vec{P} (ось собственного вращения волчка наклонена к вертикальной оси дополнительного вращения под углом γ).

НЕЛИНЕЙНЫЕ СИСТЕМЫ АВТОМАТИЧЕСКОГО РЕГУЛИРОВАНИЯ СО ЗВЕНОМ, ОБЛАДАЮЩИМ ХАРАКТЕРИСТИКОЙ ТИПА Δ

Асирят Е. К. ШИГИН

Нелинейные системы автоматического регулирования обеспечивают наименьшую продолжительность переходного процесса и возможность его протекания. Обычно нелинейные системы автоматического регулирования синтезируются либо по принципу применения релейного серводвигателя со стабилизацией обратной связью по сумме отклонения, скорости и ускорения отклонения регулируемой величины, либо по принципу применения линейного серводвигателя и нелинейных связей (например, пропорциональных квадрату скорости изменения регулируемой величины или квадратному корню из отклонения регулируемой величины).

Недостатком систем автоматического регулирования, синтезируемых по указанным принципам, является опасность возникновения автоколебательных режимов, а также необходимость общего формирования усилителей и трудности существования линейных связей для некоторых систем, например гидравлических.

Однако имеется возможность синтеза быстродействующих нелинейных систем автоматического регулирования, обладающих преимуществами линейных систем. Для этого система автоматического ре-

гулирования составляется из линейных звеньев и одного звена нелинейного с характеристикой типа Δ, подобной указанной на фиг. 1. Звено работает на ветви *ab* характеристики при разгоне системы и на ветви *cd* — при торможении. Для дальнейших расчетов введем коэффициент нелинейного звена

$$K_1 = \frac{y_1 \Delta y_2}{y_2 \Delta y_1}$$

Рациональные системы автоматического регулирования называются участком переходного процесса, на котором скорость и ускорение регулируемой величины имеют одинаковые знаки, а *торможением* — участок переходного процесса, на котором скорость и ускорение имеют противоположные знаки.

Переключение нелинейного звена с ветви *ab* на ветвь *cd* осуществляется *дискриминатором* — устройством релейного типа, реагирующим на соотношения знаков скорости и ускорения регулируемой величины или промежуточных координат, выбранных соответствующим образом.

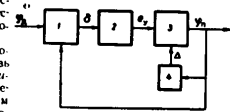
Структурная схема простейшей нелинейной системы автоматического регулирования с Δ-звеном представлена на фиг. 2. Нелинейным является исполнительное звено 3, характеристика которого представлена на фиг. 1. По оси Ox_1 отложены относительные значения входной координаты, развиваемых исполнительным звеном в заторможенном состоянии.

Рассмотрим, как протекает переходный процесс в системе автоматического регулирования, схема которого представлена на фиг. 2. Если бы дискриминатор был выключен и все звенья работали как линейные, процесс при ступенчатом воздействии протекал бы так, как показано на фиг. 3 сплошной линией.

На участке Ox_1 происходит разгон системы, на участке $I_1—I_2$ — торможение, на участке $I_2—I_3$ — снова разгон и т. д. Изменение значений y_1 , \dot{y}_1 и \ddot{y}_1 при этом показано на графиках той же фигуры.

Теперь представим себе, что при протекании переходного процесса в момент I_1 дискриминатор, реагируя на изменение знака \ddot{y}_1 , переводит исполнительное звено с ветви *ab* на ветвь *cd*. Это приведет

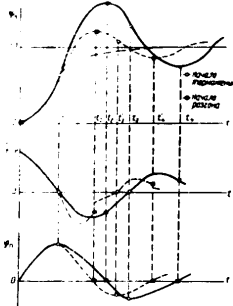
* Основы автоматического регулирования, под ред. В. В. Солодовникова, Машгиз, 1954.
 Я. З. Шигин, Теория релейных систем автоматического регулирования, ГИИТЛ, 1955.



Фиг. 2. Структурная схема простейшей нелинейной системы автоматического регулирования.
 1 — интегральный элемент; 2 — безинерционный регулятор; 3 — исполнительное звено; 4 — дискриминатор; x_1 — входная координата; y_1 — выходная координата; \dot{y}_1 — скорость; \ddot{y}_1 — ускорение; Δ — действие дискриминатора.

а форсированному торможению, и переходный процесс будет протекать, как указано штриховой линией.

При достижении максимума отклонения в момент t_4' дискриминатор, реагируя на изменение знака φ , переводит исполнительный элемент на ветвь ab и разгон от t_4' до t_4'' будет осуществляться быстрее, чем торможение, в момент t_4' дискриминатор снова переводит исполнительный элемент на ветвь cd и т. д. Переходный процесс



Фиг. 3. Графики переходных процессов нелинейной системы автоматического регулирования.

будет затухать быстрее с меньшими перерегулированиями. Соответствующим выбором K_2 можно свести колебательный процесс к апериодическому, как показано на фиг. 3 штрих-пунктирной линией.

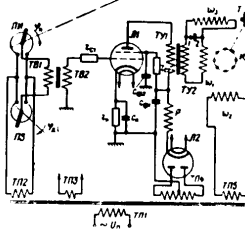
Приведем несколько конкретных примеров синтеза нелинейных систем автоматического регулирования с Δ -звеном.

Для улучшения качества переходного процесса маломощной системы автоматического управления, приведенной в книге Т. И. Соколова*, было применено нелинейное исполнительное звено с Δ -характеристикой, представляющее собой агрегат: асинхронный двухфазный двигатель — электромеханический тормоз**.

* Т. И. Соколов. Электромеханические системы автоматического управления, Госэнергоиздат, 1962.

** Е. К. Шнейт и В. Саввакина. Система автоматического управления, Авторское свидетельство № 106167 по заявке № 550384 от 9 апреля 1956.

На фиг. 4 приведена принципиальная электрическая схема этой системы, а на фиг. 2 — ее структурная схема. Последовательная управляющая обмотка двигателя M_1 , выключается обмотка электромагнита тормоза M_2 . На участках разгона тормоз шунтируется контактами 1 и 2 дискриминатора (фиг. 4). На участках торможения шунтирующие контакты 1 и 2 размыкаются, ток протекает через обмотку M_2 , и исполнительный элемент создает форсированное торможение.



Фиг. 4. Принципиальная электрическая схема системы автоматического управления.

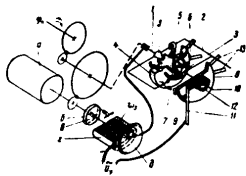
Л1 — индуктивность, связанная с маломощным электродвигателем; Л2 — индуктивность, связанная с индуктивной нагрузкой; Л3 — индуктивность, связанная с индуктивной нагрузкой; Л4 — индуктивность, связанная с индуктивной нагрузкой; Л5 — индуктивность, связанная с индуктивной нагрузкой; Л6 — индуктивность, связанная с индуктивной нагрузкой; Л7 — индуктивность, связанная с индуктивной нагрузкой; Л8 — индуктивность, связанная с индуктивной нагрузкой; Л9 — индуктивность, связанная с индуктивной нагрузкой; Л10 — индуктивность, связанная с индуктивной нагрузкой; Л11 — индуктивность, связанная с индуктивной нагрузкой; Л12 — индуктивность, связанная с индуктивной нагрузкой; Л13 — индуктивность, связанная с индуктивной нагрузкой; Л14 — индуктивность, связанная с индуктивной нагрузкой; Л15 — индуктивность, связанная с индуктивной нагрузкой; Л16 — индуктивность, связанная с индуктивной нагрузкой; Л17 — индуктивность, связанная с индуктивной нагрузкой; Л18 — индуктивность, связанная с индуктивной нагрузкой; Л19 — индуктивность, связанная с индуктивной нагрузкой; Л20 — индуктивность, связанная с индуктивной нагрузкой; Л21 — индуктивность, связанная с индуктивной нагрузкой; Л22 — индуктивность, связанная с индуктивной нагрузкой; Л23 — индуктивность, связанная с индуктивной нагрузкой; Л24 — индуктивность, связанная с индуктивной нагрузкой; Л25 — индуктивность, связанная с индуктивной нагрузкой; Л26 — индуктивность, связанная с индуктивной нагрузкой; Л27 — индуктивность, связанная с индуктивной нагрузкой; Л28 — индуктивность, связанная с индуктивной нагрузкой; Л29 — индуктивность, связанная с индуктивной нагрузкой; Л30 — индуктивность, связанная с индуктивной нагрузкой; Л31 — индуктивность, связанная с индуктивной нагрузкой; Л32 — индуктивность, связанная с индуктивной нагрузкой; Л33 — индуктивность, связанная с индуктивной нагрузкой; Л34 — индуктивность, связанная с индуктивной нагрузкой; Л35 — индуктивность, связанная с индуктивной нагрузкой; Л36 — индуктивность, связанная с индуктивной нагрузкой; Л37 — индуктивность, связанная с индуктивной нагрузкой; Л38 — индуктивность, связанная с индуктивной нагрузкой; Л39 — индуктивность, связанная с индуктивной нагрузкой; Л40 — индуктивность, связанная с индуктивной нагрузкой; Л41 — индуктивность, связанная с индуктивной нагрузкой; Л42 — индуктивность, связанная с индуктивной нагрузкой; Л43 — индуктивность, связанная с индуктивной нагрузкой; Л44 — индуктивность, связанная с индуктивной нагрузкой; Л45 — индуктивность, связанная с индуктивной нагрузкой; Л46 — индуктивность, связанная с индуктивной нагрузкой; Л47 — индуктивность, связанная с индуктивной нагрузкой; Л48 — индуктивность, связанная с индуктивной нагрузкой; Л49 — индуктивность, связанная с индуктивной нагрузкой; Л50 — индуктивность, связанная с индуктивной нагрузкой; Л51 — индуктивность, связанная с индуктивной нагрузкой; Л52 — индуктивность, связанная с индуктивной нагрузкой; Л53 — индуктивность, связанная с индуктивной нагрузкой; Л54 — индуктивность, связанная с индуктивной нагрузкой; Л55 — индуктивность, связанная с индуктивной нагрузкой; Л56 — индуктивность, связанная с индуктивной нагрузкой; Л57 — индуктивность, связанная с индуктивной нагрузкой; Л58 — индуктивность, связанная с индуктивной нагрузкой; Л59 — индуктивность, связанная с индуктивной нагрузкой; Л60 — индуктивность, связанная с индуктивной нагрузкой; Л61 — индуктивность, связанная с индуктивной нагрузкой; Л62 — индуктивность, связанная с индуктивной нагрузкой; Л63 — индуктивность, связанная с индуктивной нагрузкой; Л64 — индуктивность, связанная с индуктивной нагрузкой; Л65 — индуктивность, связанная с индуктивной нагрузкой; Л66 — индуктивность, связанная с индуктивной нагрузкой; Л67 — индуктивность, связанная с индуктивной нагрузкой; Л68 — индуктивность, связанная с индуктивной нагрузкой; Л69 — индуктивность, связанная с индуктивной нагрузкой; Л70 — индуктивность, связанная с индуктивной нагрузкой; Л71 — индуктивность, связанная с индуктивной нагрузкой; Л72 — индуктивность, связанная с индуктивной нагрузкой; Л73 — индуктивность, связанная с индуктивной нагрузкой; Л74 — индуктивность, связанная с индуктивной нагрузкой; Л75 — индуктивность, связанная с индуктивной нагрузкой; Л76 — индуктивность, связанная с индуктивной нагрузкой; Л77 — индуктивность, связанная с индуктивной нагрузкой; Л78 — индуктивность, связанная с индуктивной нагрузкой; Л79 — индуктивность, связанная с индуктивной нагрузкой; Л80 — индуктивность, связанная с индуктивной нагрузкой; Л81 — индуктивность, связанная с индуктивной нагрузкой; Л82 — индуктивность, связанная с индуктивной нагрузкой; Л83 — индуктивность, связанная с индуктивной нагрузкой; Л84 — индуктивность, связанная с индуктивной нагрузкой; Л85 — индуктивность, связанная с индуктивной нагрузкой; Л86 — индуктивность, связанная с индуктивной нагрузкой; Л87 — индуктивность, связанная с индуктивной нагрузкой; Л88 — индуктивность, связанная с индуктивной нагрузкой; Л89 — индуктивность, связанная с индуктивной нагрузкой; Л90 — индуктивность, связанная с индуктивной нагрузкой; Л91 — индуктивность, связанная с индуктивной нагрузкой; Л92 — индуктивность, связанная с индуктивной нагрузкой; Л93 — индуктивность, связанная с индуктивной нагрузкой; Л94 — индуктивность, связанная с индуктивной нагрузкой; Л95 — индуктивность, связанная с индуктивной нагрузкой; Л96 — индуктивность, связанная с индуктивной нагрузкой; Л97 — индуктивность, связанная с индуктивной нагрузкой; Л98 — индуктивность, связанная с индуктивной нагрузкой; Л99 — индуктивность, связанная с индуктивной нагрузкой; Л100 — индуктивность, связанная с индуктивной нагрузкой.

В качестве дискриминатора может быть применено контактное устройство, приведенное на фиг. 5.

На промежуточном валу 1 сервопривода сидит рамка 2, имеющая два опорных конуса 3, на которых насажен диск 4, вращающийся с малым моментом трения. Этот диск играет роль инерционного элемента. При отсутствии ускорения диск 4 приводится к нулевому положению двумя встречно-действующими пружинами кручения 5. С помощью упоров 6 вращение диска 4 относительно рамки 2 ограничено в пределах некоторого угла. На диске 4 имеется пружинящий контакт 7. На ось 10 рамки 2 надето коллекторное кольцо 8 с контактом 9. Кольцо 8 изолировано от рамки и оси изолирующей втулкой.

м/м 12, это кольцо так же как и диск 4 ограничительно-подвижно относительно рамки 2 (при помощи упоров 13) в пределах некоторого угла. К коллекторному кольцу 8 прижимается токоведущая щетка 11, которая создает некоторый момент трения на кольце 8.

При разгоне исполнительного двигателя знаки φ_1 и φ_2 будут одинаковы, а моменты от трения в ширину или противоположны, поэтому диск 4 и кольцо 8 будут повернуты относительно рамки 2 в одну и ту же сторону и контакты 7 и 9 будут замкнуты, обмотка w_2 — шунтирована. При изменении знака тока в цепи двигателя (начало торможения) ускорение изменит знак, диск 4 вместе с контактом 7 отойдет в другое крайнее положение и шунтирование обмотки w_2



Фиг. 5. Кинематическая схема системы автоматического управления.
 1 — исполнительный двигатель, 6 и 8 — диски тормоза, 2 — магнетронная электромагнитная тормоза, 11 — щетка контактного кольца тормоза.

переведет. Теперь тормоз будет действовать совместно с двигателем, останавливая систему. При изменении знака скорости кольцо 8 повернется относительно рамки 2 и снова контакты 7 и 9 замкнутся, разгон будет осуществляться только двигателем до нового участка торможения.

О качестве переходного процесса такой системы можно судить по кривой переходного процесса, построенной любым способом. Вычисление точек этой кривой необходимо производить по участкам разгона и торможения, учитывая, что начальными условиями для каждого последующего участка будут конечные условия предыдущего участка.

Как и в книге Т. Н. Соколова, имеем следующие уравнения звеньев системы:

- распределение системы $\varphi_1 - \varphi_2 = \delta$;
- напряжение на входе усилителя $e_1 = C_1 \delta$;
- электромагнитная сила на выходе усилителя $e_2 = K_1 e_1 = K_1 C_1 \delta$;

передаточная функция сервопривода

$$P\varphi_2 = \frac{C_{22} e_2}{1 + T_1 p}$$

- где φ_1 — угол поворота заданного вала;
- φ_2 — угол поворота исполнительного вала;
- C_1 — коэффициент предварительного усиления;
- K_1 — коэффициент усиления усилителя;
- C_{22} и C_{21} — коэффициенты движущего и демпфирующего моментов;
- T_1 — инерционная постоянная времени сервопривода;
- p — символ дифференцирования.

Подставляя в передаточную функцию двигателя значения e_1 , будем иметь уравнение системы

$$(T_1 p^2 + p + \frac{C_{22}}{C_{21}} K_1 C_1) \varphi_2 = \frac{C_{22}}{C_{21}} K_1 C_1 e_1$$

Для левой и правой части на $\frac{C_{22}}{C_{21}} K_1 C_1$ и обозначая $\frac{C_{22}}{C_{21} K_1 C_1} = T_2$, будем иметь

$$(T_1 T_2 p^2 + T_2 p + 1) \varphi_2 = \varphi_1$$

На участках торможения тормоз создаст добавочный тормозящий момент. Хотя электромагнит тормоз имеет величайшую зависимость момента тормоза от приложенного напряжения. В этом случае на участках торможения будем иметь следующее уравнение динамики:

$$J p^2 \varphi_2 = K_1 (C_{22} e_2 - C_{21} p \varphi_2)$$

где J — приведенный момент инерции сервопривода.

Передаточная функция сервопривода на участках торможения будет выглядеть так:

$$\left(\frac{J}{K_1 C_{21}} p^2 + p \right) \varphi_2 = \frac{C_{22}}{C_{21}} e_2$$

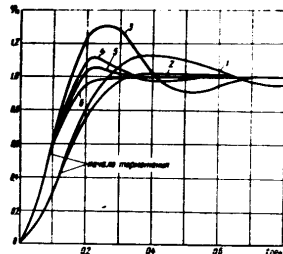
$$P\varphi_2 = \frac{\frac{C_{22}}{C_{21}} e_2}{1 + \frac{T_1}{K_1} p}$$

уравнение системы на участках торможения будет

$$\left(\frac{J}{K_1} T_1 p^2 + T_2 p + 1 \right) \varphi_2 = \varphi_1$$

На фиг. 6 приведены результаты расчета переходных процессов системы с $T_1=0,1$ сек., $T_2=0,12$ сек. и $T_3=0,05$ сек. при $K_1=1$ (линейная система), $K_2=2$, $K_3=3$, $K_4=4$. На фиг. 7 приведены графики тока и момента для первой системы.

Из приведенных графиков видно, что с возрастанием K_4 до определенного предела происходит улучшение качества переходного процесса: время переходного процесса сокращается в 2 и более раз,



Фиг. 6. Графики переходных процессов системы автоматического регулирования.
 1 - линейная система ($T_1=0,1$ сек., $T_2=0,12$ сек., $K_4=1$);
 2 - нелинейная система ($T_1=0,1$ сек., $T_2=0,12$ сек., $K_4=2$);
 3 - нелинейная система ($T_1=0,1$ сек., $T_2=0,12$ сек., $K_4=3$);
 4 - нелинейная система ($T_1=0,1$ сек., $T_2=0,12$ сек., $K_4=4$).

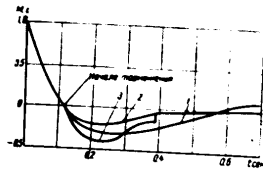
уменьшается перерегулирование в 2-4 раза, а при достаточно большом K_4 переходный процесс протекает монотонно.

Следует отметить, что все реальные исполнительные звенья (электродвигатели, гидроцилиндры) имеют, кроме описанных в литературе δ типов нелинейности, и нелинейность типа Δ . Так, эксперименты показывают, что электродвигатели следящего привода различаются по величине момента в зависимости от направления вращения и знака напряжения, как показано на фиг. 8.

Реальные системы автоматического регулирования в какой-либо мере всегда имеют Δ -нелинейность и работают не только с $K_4 \gg 1$, и с $K_4 < 1$. В последнем случае качество переходного процесса

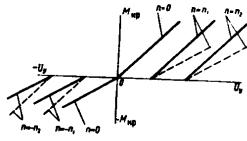
* Основы автоматического регулирования, под ред. В. В. Соловьева, Машгиз, 1964

альной системы может быть худшим, чем вычисленное по определенным линеаризованным характеристикам, а запас устойчивости - меньше.



Фиг. 7. Графики относительных значений тока (i) и крутящего момента (M) на валу двигателя для системы с $T_1=0,1$ сек., $T_2=0,12$ сек.
 1 - ток в момент действия системы; 2 - ток в момент окончания системы с $K_4=2$; 3 - момент в момент действия системы с $K_4=2$; 4 - момент в момент окончания системы с $K_4=2$.

На фиг. 9 представлены переходные процессы систем автоматического регулирования второго порядка при изменении K_4 от нуля до бесконечности. Область переходных процессов реальных систем автоматического регулирования заштрихована. При уменьшении K_4

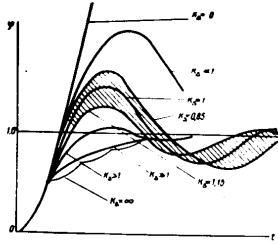


Фиг. 8. Характеристики серводвигателей следящего привода.
 $i_{\text{нр}}$ - ток на управляемой обмотке; $M_{\text{нр}}$ - крутящий момент на валу двигателя; $i_{\text{обр}}$ - ток обратной обмотки; $M_{\text{обр}}$ - крутящий момент обратной обмотки; $M_{\text{нр}}$ - крутящий момент на валу двигателя; $M_{\text{обр}}$ - крутящий момент обратной обмотки.

от единицы до нуля происходит увеличение размахов колебаний системы, и при некотором K_4 система становится неустойчивой. При дальнейшем уменьшении K_4 происходит ухудшение переходного процесса с увеличением времени, затрачиваемого на переходный процесс и пере-

регулирующие, а затем и прекращение колебательного процесса в аperiodический. При дальнейшем увеличении K_d переходный процесс затухает.

Очевидно, что Δ -связью может быть не только исполнительное звено, но и усилительный, преобразовательный, передающий и т. д. элемент, соответствующим образом выбранный в зависимости от структурной схемы системы.

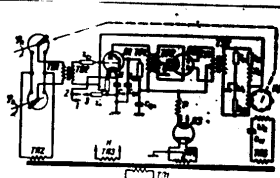


Фиг. 9. Графики переходных процессов систем автоматического регулирования второго порядка при различных значениях K_d .

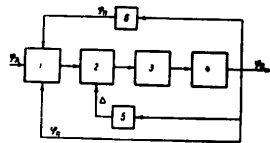
На фиг. 10 приведена принципиальная схема следящей системы с обратной связью по скорости и нелинейным усилителем, аналогичная линейной системе, приведенной в книге Соколова.

Структурная схема системы дана на фиг. 11. Здесь Δ -звеном является 1-я ступень усилителя. Дискриминатор, аналогичный описанному выше, включается на участках торможения сопротивления r_d (см. фиг. 10), чем увеличивает коэффициент усиления 1-й ступени усилителя; контакты 1 и 2, находящиеся на инерционном диске, и контакт 3, расположенный на коллекторном диске, при различии знаков скорости и ускорения замыкают цепь сопротивления r_d , чем уменьшают общее сопротивление цепи смещения.

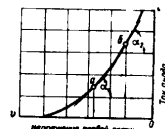
В качестве лампы Л1 используется пентод. Точка a (фиг. 12) является рабочей точкой на участках разгона, а b — на участках торможения. Так как по абсолютной величине на участках торможения напряжение управляющего сигнала меньше, чем на участках разгона, можно подобрать так рабочие точки 1 и 2, что усилитель будет работать без искажений.



Фиг. 10. Принципиальная схема следящей системы с обратной связью по скорости и нелинейным усилителем.



Фиг. 11. Структурная схема следящей системы с обратной связью по скорости и нелинейным усилителем.
1 — усилительный элемент, 2 — первая ступень усилителя, 3 — вторая ступень усилителя, 4 — исполнительный орган, 5 — дискриминатор, 6 — дифференцирующее звено.



Фиг. 12. Статическая характеристика первой усилительной лампы.

Переходный процесс рассчитываем по участкам разгона и торможения, как и в предыдущем случае. Приведем следующие уравнение обратной связи

$$e_0 = \frac{r_{01}}{r_{01} + r_{02}} e_{01}$$

уравнение обратной связи, приведенное к входной цепи усилителя

$$e_0 = \frac{r_{01} C_2}{K_{01}(r_{01} + r_{02})} p \varphi$$

напряжения на входе усилителя

$$e_1 = C_2 \delta - \frac{r_{01} C_2}{K_{01}(r_{01} + r_{02})} p \varphi$$

напряжения, подаваемого на двигатель,

$$e_2 = K_1 C_3 \delta - \frac{K_1 r_{01} C_2}{K_{01}(r_{01} + r_{02})} p \varphi$$

где C_2 — коэффициент противоэлектродвижущей силы двигателя;
 K_{01} — коэффициент трансформации входного трансформатора.

Обозначим

$$\frac{r_{01} C_2}{K_{01}(r_{01} + r_{02})} = K_{02}$$

тогда $e_1 = K_1 C_3 \delta - K_{02} K_1 p \varphi$

В уравнение сервопривода $J p^2 \varphi + C_4 p \varphi = C_{02} u$ подставим $u = e_1$. Тогда уравнение движения системы примет вид

$$J p^2 \varphi + C_4 p \varphi = C_{02} K_1 C_3 \delta - C_{02} K_1 C_3 p \varphi - C_{02} K_1 K_{02} p \varphi \quad (A)$$

Проводя преобразования и деля обе части уравнения на $C_{02} K_1 C_3$, получим

$$\left(\frac{J}{C_{02} K_1 C_3} + \frac{C_4 + C_{02} K_1 K_{02}}{C_{02} K_1 C_3} p + 1 \right) \varphi = \delta$$

Обозначим

$$\frac{J}{C_{02} K_1 C_3} = T_1', \quad \frac{C_4 + C_{02} K_1 K_{02}}{C_{02} K_1 C_3} = T_2'$$

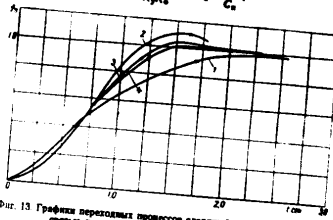
$$= T_1' \left(1 + \frac{C_{02} K_1 K_{02}}{C_4} p + 1 \right) \varphi = \delta$$

где $T_1' = \frac{J}{C_{02} K_1 C_3}$; $T_2' = \frac{C_4 + C_{02} K_1 K_{02}}{C_{02} K_1 C_3}$

$$\frac{C_{02} + C_{02} K_1 K_{02}}{C_{02} K_1 C_3} = \frac{1 + \frac{C_{02} K_1 K_{02}}{C_4}}{\frac{1}{T_1'} K_1 C_3} = T_2'$$

Так как обычно $T_2' < 1$, а K_1 и $K_{02} \gg 1$, можно положить

$$T_1 = \frac{T_1' T_2'}{K_1 K_{02}} \approx T_2 = \frac{K_2}{C_3}$$



Фиг. 13 Графики переходных процессов замкнутой системы с обратной связью по скорости в различных усилителях:

- 1 — линейная система ($T_1=0,2$ сек., $T_2=0,4$ сек., $K_1=1$);
- 2 — нелинейная система ($T_1=0,2$ сек., $T_2=0,4$ сек., $K_1=3$);
- 3 — нелинейная система ($T_1=0,2$ сек., $T_2=0,4$ сек., $K_1=1/3$);
- 4 — нелинейная система ($T_1=0,2$ сек., $T_2=0,4$ сек., $K_1=4$).

Для участка разгона уравнение системы примет вид

$$\left(\frac{T_1' T_2'}{K_1 K_{02}} p^2 + \frac{K_2}{C_3} p + 1 \right) \varphi = \delta$$

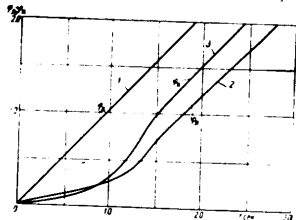
для участка торможения

$$\left(\frac{T_1' T_2'}{K_1 K_{02}} p^2 + \frac{K_2}{C_3} p + 1 \right) \varphi = -\delta$$

Переходные процессы для линейной системы с $T_1=0,2$ сек. и $T_2=0,8$ сек. и нелинейных систем с $K_1=2, K_1=1/2$ и $K_1=4$ при $K_{2,линейн} = \frac{1}{2} K_{2,нелин}$ и $K_{2,линейн} = \frac{1}{2} K_{2,нелин}$ приведены на фиг. 13 при ступенчатом воздействии и на фиг. 14 — при линейном. Как видно из

Таблица 1а, при уменьшении общего коэффициента усиления А следящей системы, такт большее быстродействие при ступенчатом воздействии и меньшую ошибку при линейном воздействии. Для приведенных систем время переходного процесса сократилось на 27% и ошибка на 30%.

Применение Азевинского усилителя открывает возможность применения менее мощных исполнительных двигателей, что снижает вес и габариты системы автоматического регулирования. Действие только в правой части уравнения (А) произведение $C_d K_d$ может быть уменьшено не только путем уменьшения K_d , но и путем умень-



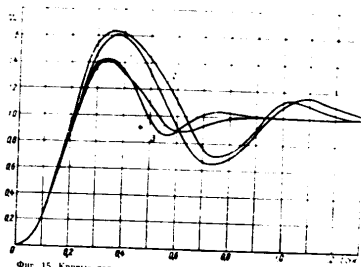
Фиг. 14. Графики переходных процессов следящей системы с обратной связью по скорости.
 1 - линейное воздействие; 2 - ступенчатое воздействие; 3 - ступенчатое воздействие с малым коэффициентом усиления.

шения C_d , что означает снижение мощности исполнительного двигателя.

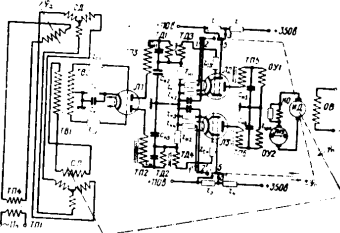
По описанным схемам автором были собраны маломощные следящие системы. В качестве исполнительного двигателя применялся асинхронный двигатель ДРК-627. Опыты подтвердили возможность улучшения переходного процесса применением Азвена. На фиг. 15 приведен график переходного процесса экспериментальной следящей системы с $K_d = 1$ и 1.7. Применение Азвена дает преимущества также в системах более высокого порядка.

На фиг. 16 приведена принципиальная схема следящей системы с электронным усилителем и дифференцирующим звеном, а на фиг. 17 — структурная схема системы.

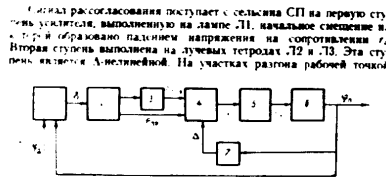
Дифференцирование осуществляется дифференцирующим трансформатором с обмотками ТД1, ТД2, ТД3, ТД4. Питание входов ламп осуществляется обмотками ТП2, ТП3, ТП5, ТП6.



Фиг. 15. Кривые переходного процесса экспериментальной установки. 1 - теоретическая и 2 - экспериментальная кривые следящей системы ($T = 0.2$ сек., $T_d = 0.06$ сек., $K_d = 1$); 3 - теоретическая и 4 - экспериментальная кривые следящей системы с $K_d = 1.7$ и теми же параметрами времени.



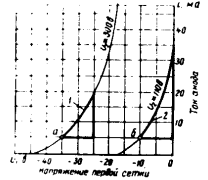
Фиг. 16. Принципиальная схема следящей системы с ЭМУ.



Фиг. 17. Структурная схема следящей системы с ЭМУ

1 - дифференциальный элемент; 2 - первая ступень усилителя; 3 - дифференцирующая цепочка; 4 - вторая ступень усилителя; 5 - третья ступень усилителя; 6 - исполнительный двигатель; 7 - дискриминатор

точка является точка *a* (Фиг. 18), на участках торможения точка *b*. Как видно, для конкретной лампы БПЭС в этом случае $K_2=2$. Для выбора рабочей точки задается начальное смещение на первой сетке с помощью сопротивлений r_{a1} ; r_{a2} ; r_{a3} ; r_{a4} и на второй сетке с помощью сопротивлений r_{b1} ; r_{b2} ; r_{b3} ; r_{b4} . Переключные контакты 1; 2; 3; 4; 5 и 1'; 2'; 3'; 4'; 5' в зависимости от знака скорости исполнительного вала рабочей точки лампы являются дискриминатором, находящимся на промежуточном валу сервопривода, с некоторым моментом трения. На участках торможения замыкаются контакты 1 и 2 или 1' и 2', а контакты 5 и 5' переключаются с контактов 3 или 3' на 4 или 4'.



Фиг. 18. Статические характеристики лампы БПЭС: при разгоне (1) и торможении (2); u_0 — напряжение первой сетки.

тока в выходной цепи второй ступени усилителя больший ток проходит через лампы Л2 или Л3. Таким образом, при соотношении знаков тока и скорости исполнительного вала, соответствующем разгону исполнительного двигателя, рабочей точкой лампы, по которой проходит больший ток, является точка *a*; при соотношении же знаков тока и скорости, соответствующем торможению, рабочей точкой

лампы, по которой проходит больший ток, является точка *b*. Такая работа 2-й ступени вызывает более быстрое изменение напряжения на выходе 3-й ступени усилителя ЭМУ на участках торможения, что приводит к более быстрому затуханию переходного процесса. Переходный процесс следует рассчитывать исходя из следующих уравнений звена:

напряжение на первом каскаде усилителя
$$e_m = C_1 \dot{u}_0$$

напряжение на входе второго каскада
$$u_1 = C_2 \dot{u}_1 + C_{2\text{инф}} \ddot{u}_1$$

где $C_{2\text{инф}}$ — коэффициент дифференцирования дифференцирующего звена;

напряжение на выходе второго каскада усилителя на участке разгона
$$e_2' = K_2(C_2 \dot{u}_1 + C_{2\text{инф}} \ddot{u}_1)$$

на участке торможения
$$e_2' = -K_2 K_3 (C_2 \dot{u}_1 + C_{2\text{инф}} \ddot{u}_1)$$

напряжение на выходе третьего каскада усилителя на участке разгона
$$e_3 = K_3 (C_3 \dot{u}_2 + C_{3\text{инф}} \ddot{u}_2)$$

на участке торможения
$$e_3 = -K_3 K_4 (C_3 \dot{u}_2 + C_{3\text{инф}} \ddot{u}_2)$$

где T_2 — постоянная времени ЭМУ; передаточная функция двигателя

$$pZ_n = \frac{C_{\text{инф}}}{1 + T_1 p}$$

Преобразуем выражение для e_3 :

$$(1 + T_2 p) e_3 = K_3 C_3 (\dot{u}_2 + \frac{C_{3\text{инф}}}{C_3} \ddot{u}_2)$$

обозначим $\frac{C_{3\text{инф}}}{C_3} = K_{3\text{инф}}$ и $\frac{C_{2\text{инф}}}{C_2} = T_2'$. Тогда движение системы описывается уравнениями: на участках разгона

$$(1 + T_2 p) e_3 = K_3 C_3 (\dot{u}_2 + K_{3\text{инф}} \ddot{u}_2) \quad (Б)$$

$$(T_2' T_2^2 p^2 + T_2' p) \dot{u}_2 = e_3 \quad (В)$$

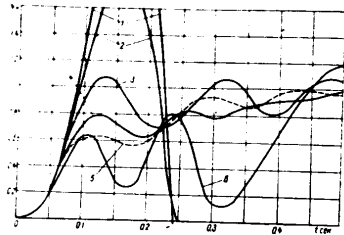
на участках торможения в уравнение (Б) вводится коэффициент K_4 :

$$(1 + T_2 p) e_3 = -K_4 K_3 C_3 (\dot{u}_2 + K_{3\text{инф}} \ddot{u}_2)$$

Построение переходного процесса можно проводить графически по методу, предложенному Башкировым*.

На фиг. 19 приведены графики переходных процессов системы с $T_1 = 0.1$ сек., $T_2 = 0.033$ сек., $T_3 = 0.1$ сек. и $K.C. = 1.38$ и при различных $K_{диф}$ и K_3 .

Как видно из графиков, возможность воздействия на форму переходного процесса путем изменения $K_{диф}$ ограничена. Даже наилучшее значение коэффициента дифференцирования $K_{диф} = 0.5$ не избавляет от больших перерегулирований и колебательного харак-



Фиг. 19. Графики переходных процессов системы с ЭМУ.

1. $K_{диф} = 0.1; K_3 = 1; K.C. = 1.38$; 2. $K_{диф} = 0.2; K_3 = 1; K.C. = 1.38$; 3. $K_{диф} = 0.5; K_3 = 1; K.C. = 1.38$; 4. $K_{диф} = 1.0; K_3 = 1; K.C. = 1.38$; 5. $K_{диф} = 0.1; K_3 = 2; K.C. = 1.38$; 6. $K_{диф} = 0.2; K_3 = 2; K.C. = 1.38$; 7. $K_{диф} = 0.5; K_3 = 2; K.C. = 1.38$; 8. $K_{диф} = 1.0; K_3 = 2; K.C. = 1.38$.

тера переходного процесса. Применение более сложных систем с обратными связями по ускорению потребовало бы увеличения мощности исполнительного двигателя со всеми вытекающими из этого усиления мощности исполнительного двигателя и ЭМУ, дает возможность существенно улучшить переходный процесс системы с инерционным усилителем.

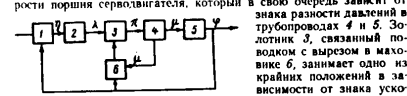
Применение А-звена в системе автоматического регулирования оборотов гидротурбины позволяет существенно улучшить качество переходного процесса.

Обычно возможность улучшения переходного процесса систем автоматического регулирования гидравлических турбин большой мощности ограничивается сравнительно большими значениями посто-

янных времени исполнительных гидроцилиндров, устанавливающих направление и рабочую золотую турбин. Из-за опасности возникновения гидравлического удара постоянная времени гидроцилиндров выдерживается в пределах 4-7 сек. и не может быть снижена. Поэтому переходный процесс затягивается медленно (обычно длится с наличием 3-4 колебаний около нового установившегося положения)*.

Система автоматического регулирования с А-звеном, принципиальная схема которой приведена на фиг. 20 и структурная схема — на фиг. 21, не обладает указанными недостатками.

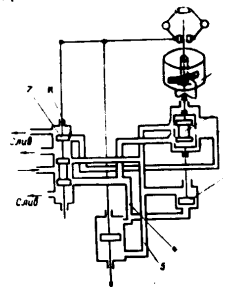
Здесь А-характеристикой обладает трубопровод с дросселирующим окном К золотника 2, а роль дискриминатора выполняют поршень 1 с гильзой 2 и инерционный диск (маховик) 6 с профильным вырезом и золотником 3. Во время протекания переходного процесса поршень 1 передвигает гильзу 2 в одно из крайних положений в зависимости от знака скорости поршня серводвигателя, который в свою очередь зависит от знака разности давлений в трубопроводах 4 и 5. Золотник 3, связанный поводом с вырезом в маховике 6, занимает одно из крайних положений в зависимости от знака ускорения вращения вала гидроагрегата.



Фиг. 21. Структурная схема системы автоматического регулирования гидротурбины.

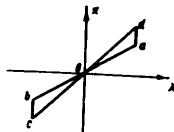
1 — суммирующий элемент, 2 — первая ступень усилителя, 3 — трубопровод, 4 — исполнительный элемент, 5 — объект регулирования, 6 — дискриминатор.

впадении знаков скорости поршня гидроцилиндра и ускорения вала гидроагрегата окна в гильзе 2 и золотнике 3 совпадают и часть масла через окно К из трубопровода с большим давлением поступает

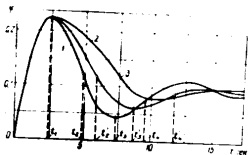


Фиг. 20. Принципиальная схема системы автоматического регулирования гидротурбины.

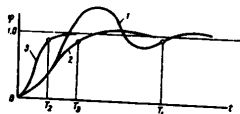
* А. Г. Москваев, Автоматическое регулирование частоты в энергосистемах, Госэнергоиздат, 1952.



Фиг. 22 Статические характеристики трубопровода на участках разгона и торможения



Фиг. 23 Графики переходных процессов линейной системы автоматического регулирования гидротурбины (кривая 1) и колебательной системы с $K_A=2$ (кривая 2) на участках разгона и торможения. t_1-t_{10} — торможение; $t_{11}-t_{20}$ — разгон; $t_{21}-t_{30}$ — торможение; $t_{31}-t_{40}$ — разгон; $t_{41}-t_{50}$ — торможение; $t_{51}-t_{60}$ — разгон



Фиг. 24 Переходные процессы систем автоматического регулирования: линейной 1, колебательной с Δ -звеном 2 и релейной 3 с оптимальным процессом

на слив, в результате чего замедляется движение поршня исполнительного гидроцилиндра. Слив масла будет продолжаться до тех пор пока не изменится знак скорости поршня гидроцилиндра. При изменении знака скорости поршня гидроцилиндра гильза 2 займет другое крайнее положение, слив масла прекратится, что вызовет форсированное торможение.

Движение системы описывается следующими уравнениями уравнение центробежного измерительного органа

$$\ddot{\varphi} = -k\varphi$$

уравнение золотника

$$\dot{\lambda} = \lambda - \mu$$

уравнение трубопровода на участках разгона

$$\ddot{\pi} = \frac{\lambda}{K_A}$$

на участках торможения

$$\ddot{\pi} = \lambda$$

(характеристика трубопровода приведена на фиг. 22);

уравнение исполнительного гидроцилиндра

$$T_2 \dot{p} = \pi$$

уравнение гидроагрегата

$$T_1 \dot{p} + \varphi = p_1 + f(t),$$

где φ — относительная скорость гидроагрегата;
 π — относительное перемещение втулки центробежного чувствительного органа;
 λ — относительное перемещение золотника;
 μ — относительная скорость масла в трубопроводах;
 π — относительное перемещение поршня серводвигателя;
 T_1 — постоянная времени гидроагрегата;
 T_2 — постоянная времени серводвигателя;
 δ — степень неравномерности;

$$K_A = \frac{\text{tg } \alpha_{0\delta}}{\text{tg } \alpha_{0\epsilon}}$$

Построение переходного процесса можно проводить по уже упоминавшемуся графическому методу Башкирова.

На фиг. 23 приведены результаты расчетов переходных процессов для системы с $T_1=6$ сек., $T_2=4$ сек. и $\delta=0,1$ при $K_A=1$, $K_A=2$, $K_A=3$.

Как видно из графиков, применение Δ -звена в системе автоматического регулирования гидротурбины также улучшает переходный процесс.

Следует отметить, что при останове поршня гидроцилиндра с дроссельным управлением уменьшится опасность возникновения гидравли-

четкого удара в местном тракте, поэтому включение пружины гашения удара может быть увеличена. Если это не вызовет нарушения более удлинит.

Приведение расчетов показывает, что нелинейные системы энергетического регулирования с Азвеном оказывают существенным преимуществом по быстротворчеству и экономичности переходного процесса перед линейными системами, следует ожидать также и быстрой работы устройств, чем у линейных систем.

Для сравнения на фиг. 21 приводятся переходные процессы пружины возбудителя, работающего при ступенчатом управлении линией и нелинейной с Азвеном. Как видно из графиков переходных процессов, по быстротворчеству система с Азвеном выигрывает перед линейной. Нахождение между линейной системой и нелинейной с Азвеном с оптимальными параметрами процессов ($T_1 > T_2 > T_3$). Успешно производится система с оптимальными параметрами процессов по быстротворчеству, нелинейные системы с Азвеном, очевидно, будут иметь преимущество, что в них не будет склонности к автоколебаниям режимов.

ЛИТЕРАТУРА

1. Москатов А. Г. Автоматическое регулирование частоты в энергосистемах. Госэнергоиздат, 1969.
2. Основы автоматического регулирования, под ред. В. В. Соловьевича. Машин, 1964.
3. Колова Т. Н. Энергетические системы автоматического управления. Госэнергоиздат, 1962.
4. Шилкин В. С. Теория релейных систем автоматического управления. ГИИТ, 1965.
5. Шилкин В. С. Сетевая система автоматического управления. Авторское свидетельство № 106167, по заявке № 56984 от 9 апреля 1966.

ПРИМЕНЕНИЕ МЕТОДА ГАЛЕРКИНА ДЛЯ НАХОЖДЕНИЯ ПЕРИОДИЧЕСКОГО РЕШЕНИЯ ДИФФЕРЕНЦИАЛЬНЫХ УРАВНЕНИЙ НЕЛИНЕЙНЫХ КОЛЕБАНИЙ

Колесник Н. А. ЛОБКОУНКИ

Метод Галеркина заключается, как известно, в том, что для дифференциального уравнения вида $F(q, \dot{q}, \ddot{q}, t) = 0$ ищется приближенное решение в виде суммы

$$q = a_0 + a_1 q_1 + a_2 q_2 + \dots + a_n q_n$$

где q_0, q_1, \dots, q_n — некоторые функции времени, заранее известные.

Точность решения дифференциального уравнения этим методом зависит от числа членов ряда и от того, насколько удачно выбраны функции q_i . Если ряд будет содержать достаточно большое число членов, то приближенное значение функции q может быть близко к точному, но приближенное значение $q = q(t)$ Отлично при заданном виде функции q уже при $k=2, 3$, а иногда и при $k=1$ получается практически достаточно хорошее приближение.

Для определения коэффициентов a_i используются принцип Гамильтона. Для случая n степеней свободы вариационный принцип Гамильтона имеет вид

$$\int_0^T (\dot{q}^2 - 2U + \sum_{i=1}^n Q_i \dot{q}_i) dt = 0, \quad (1)$$

что при отсутствии неконсервативных сил Q_i приводит к виду

$$\delta \int_0^T (T - U) dt = 0,$$

где T — кинетическая энергия системы, U — потенциальная энергия системы.

Известно, что для скручивающей системы

$$T = T(q_1, \dot{q}_1, \dots, q_n, \dot{q}_n), \quad U = U(q_1, q_2, \dots, q_n).$$

В этом случае выражения кинетической и потенциальной энергии записываются в виде

$$E = \sum_{j=1}^n \frac{d^2 x_j}{dt^2} \left(\frac{dx_j}{dt} + \frac{dx_j}{dt} \right) \quad (2)$$

$$E_{pot} = \sum_{j=1}^n \frac{d^2 x_j}{dt^2} \cdot x_j \quad (3)$$

Подставив dT и dE_{pot} в уравнение (1) и проинтегрировав по времени Q между частями

$$\int_{t_0}^{t_1} \frac{d^2 x_j}{dt^2} dx_j = \left[\frac{dx_j}{dt} \right]_{t_0}^{t_1} = \left[\frac{dx_j}{dt} \right]_{t_0}^{t_1} \quad (4)$$

вследствие того, что начальная и конечная точки фиксированы, т. е. при $t=0$ и $t=T$ величина $\dot{x}_j = 0$, будем иметь

$$\left[\frac{dx_j}{dt} \right]_{t_0}^{t_1} = 0 \quad (5)$$

Учитывая соотношения (4) и (5), перепишем (1) в виде

$$\sum_{j=1}^n \left[\left(-\frac{d}{dt} \left(\frac{dx_j}{dt} \right) + \frac{dx_j}{dt} - \frac{dE_{pot}}{dx_j} + Q_j \right) dx_j \right] = 0 \quad (6)$$

Пусть теперь система имеет одну степень свободы (это не принципиальное ограничение), тогда

$$T = \frac{1}{2} a \dot{q}^2;$$

$$E_{pot} = \frac{1}{2} c q^2 + \text{члены высшего порядка.}$$

Используя эти выражения для T и E_{pot} составим уравнение (6); при этом включим члены высшего порядка в разложение потенциальной энергии в выражение для E_{pot} , а линейную часть соотношения, содержащуюся в Q , запишем в виде отдельного слагаемого. Меняя знак, получим

$$\int_0^T (a\dot{q} + bq + cq - Q) \dot{q} q dt = 0$$

или сокращенно

$$\int_0^T F(q, \dot{q}, t) \dot{q} q dt = 0 \quad (8)$$

Для отыскания периклического решения уравнения $F(q, \dot{q}, t)$ с нулевой фазой за сравнимые движения с искомым периодом.

50

Если движение предполагается также периодическим движением с тем же периодом. В этом случае равенство (8) выполняется не в любом интервале времени, а на промежутке T с точностью равенства (с точностью периода).

Зададим приближенным решением уравнения (8) в виде

$$q = a_0 + a_1 \sin \omega t + a_2 \cos \omega t + a_3 \sin 2\omega t + a_4 \cos 2\omega t \quad (9)$$

где $\omega(t) = 1, 2, \dots, k$ — периодические функции того же периода. Варьируя выражение (9), получим

$$\dot{q} = \omega a_1 \cos \omega t - \omega a_2 \sin \omega t + 2\omega a_3 \cos 2\omega t - 2\omega a_4 \sin 2\omega t$$

что при подстановке в (8) дает

$$\int_0^T F(a_0 + a_1 \sin \omega t + a_2 \cos \omega t + a_3 \sin 2\omega t + a_4 \cos 2\omega t, \omega a_1 \cos \omega t - \omega a_2 \sin \omega t + 2\omega a_3 \cos 2\omega t - 2\omega a_4 \sin 2\omega t, t) \times \\ \times (a_0 + a_1 \sin \omega t + a_2 \cos \omega t + a_3 \sin 2\omega t + a_4 \cos 2\omega t) dt = 0$$

В этом уравнении вариации a_0, a_1, a_2, a_3, a_4 произвольны. Поскольку все a_i , кроме a_0 , равны нулю. Это приводит к равенству

$$\int_0^T F dt = 0 \quad (10)$$

Рассуждая подобным образом по отношению к оставшимся k вариациям, получим совместно с (10) систему $(k+1)$ уравнений для неизвестных коэффициентов a_0, a_1, \dots, a_k

$$\int_0^T F_j dt = 0 \quad (j=1, 2, \dots, k) \quad (11)$$

Если бы выражение (9) давало точное решение исходного уравнения $a\dot{q} + bq + cq = Q$, то функция $F(q, \dot{q}, t) = 0$.

В данном же случае функция $F = a\dot{q} + bq + cq - Q \neq 0$ представляет собой какую-то ошибку, и она будет тем меньше, чем точнее ω дает решение уравнения (7). В связи с этим равенства (10) и (11) показывают обращение в нуль разности введенных средних ошибок за время T .

Пусть теперь функция F имеет вид

$$F = \dot{q} + a_0 q + a_1 \dot{q}^2 + a_2 q^2 - Q(t) = 0 \quad (12)$$

где μ — малый параметр, в колдобании, описываемые уравнением (12), близки к линейным.

Положим

$$q = x_0 + a_1 \sin \omega t + a_2 \cos \omega t + \dots + a_n \sin n\omega t + a_n \cos n\omega t \quad (13)$$

51

где φ_k есть решение линейного уравнения

$$t + \omega^k t - Q(t) = 0. \quad (14)$$

Система уравнений (10) и (11) можно свести к системе уравнений

$$\begin{aligned} & \int_0^t [x_1 + a_1 x_1 + \dots - a_0 x_1 + \omega^k x_1 + \omega^k x_1 + \omega^k x_1 + \omega^k x_1 + \dots] dt = 0; \\ & \int_0^t [x_2 + a_2 x_2 + \dots - a_0 x_2 + \omega^k x_2 + \omega^k x_2 + \omega^k x_2 + \omega^k x_2 + \dots] dt = 0; \\ & \dots \\ & \int_0^t [x_k + a_k x_k + \dots - a_0 x_k + \omega^k x_k + \omega^k x_k + \omega^k x_k + \omega^k x_k + \dots] dt = 0. \end{aligned}$$

где в правой части в виде φ_k систем уравнений (11).

$$a_0 \omega^k + a_1 \int_0^t (\varphi_1 + \omega^k \varphi_1) dt + \dots + a_k \int_0^t (\varphi_k + \omega^k \varphi_k) dt + \int_0^t \varphi_k dt = 0.$$

$$a_0 \omega^k \int_0^t \varphi_1 dt + a_1 \int_0^t (\varphi_1 + \omega^k \varphi_1) \varphi_1 dt + \dots + a_k \int_0^t (\varphi_k + \omega^k \varphi_k) \varphi_k dt + \int_0^t \varphi_k dt = 0; \quad (15)$$

$$a_0 \omega^k \int_0^t \varphi_2 dt + a_1 \int_0^t (\varphi_1 + \omega^k \varphi_1) \varphi_2 dt + \dots + a_k \int_0^t (\varphi_k + \omega^k \varphi_k) \varphi_2 dt + \int_0^t \varphi_2 dt = 0.$$

Полученная система уравнений дает возможность определить коэффициенты a_0, a_1, \dots, a_k , которые будут пропорциональными малому параметру μ .

Функции $\varphi_k (k=1, 2, \dots, k)$ должны быть выбраны так, чтобы при $\mu=0$ система уравнений

$$a_0 \omega^k + a_1 \int_0^t (\varphi_1 + \omega^k \varphi_1) dt + \dots + a_k \int_0^t (\varphi_k + \omega^k \varphi_k) dt = 0$$

$$a_0 \omega^k \int_0^t \varphi_1 dt + a_1 \int_0^t (\varphi_1 + \omega^k \varphi_1) \varphi_1 dt + \dots$$

$$+ a_k \int_0^t (\varphi_k + \omega^k \varphi_k) \varphi_1 dt = 0.$$

(16)

$$a_0 \omega^k \int_0^t \varphi_2 dt + a_1 \int_0^t (\varphi_1 + \omega^k \varphi_1) \varphi_2 dt + \dots + a_k \int_0^t (\varphi_k + \omega^k \varphi_k) \varphi_2 dt = 0$$

лишая отсюда от нуля определяются, т. е.

$$\Delta = \begin{vmatrix} \omega^k & \int_0^t (\varphi_1 + \omega^k \varphi_1) dt & \dots & \int_0^t (\varphi_k + \omega^k \varphi_k) dt \\ \omega^k \int_0^t \varphi_1 dt & \int_0^t (\varphi_1 + \omega^k \varphi_1) \varphi_1 dt & \dots & \int_0^t (\varphi_k + \omega^k \varphi_k) \varphi_1 dt \\ \omega^k \int_0^t \varphi_2 dt & \int_0^t (\varphi_1 + \omega^k \varphi_1) \varphi_2 dt & \dots & \int_0^t (\varphi_k + \omega^k \varphi_k) \varphi_2 dt \\ \dots & \dots & \dots & \dots \\ \omega^k \int_0^t \varphi_k dt & \int_0^t (\varphi_1 + \omega^k \varphi_1) \varphi_k dt & \dots & \int_0^t \varphi_k dt \end{vmatrix} \neq 0.$$

В этом случае коэффициенты $a_0, a_1 (i=1, 2, \dots, k)$ будут равны нулю и выражение (13) дает решение линейного уравнения, в которое переходит уравнение (12) при $\mu=0$.

Для определения коэффициентов $a_i (i=1, 2, \dots, k)$ из системы уравнений (15) можно применить метод итераций. Так как функции φ_k известны, то все входящие в эти уравнения интегралы вида

$$\int_0^t \varphi_j dt; \int_0^t (\varphi_1 + \omega^k \varphi_1) \varphi_j dt$$

можно вычислить. В интегралах вида $\int_0^t f_j \varphi_j dt$ возьмем сначала

$f = f(x_1, x_2, \dots, x_k)$ и вычислим эти интегралы. Полагая найденные значения интегралов уравнений в уравнение (15), получим к системе алгебраических уравнений относительно подлежащих определению постоянных a_0, a_1, \dots, a_k .

Пусть в результате решения этой системы уравнений получим следующие значения коэффициентов:

$$a_0^{(0)}, a_1^{(0)}, a_2^{(0)}, \dots, a_k^{(0)}.$$

Затем берем функцию f в виде $f(q^{(1)}, q^{(2)})$, где

$$q^{(1)} = x_0 - a_1 q_1 + a_1^2 q_2 + \dots + a_1^{n-1} q_n,$$

$$q^{(2)} = x_0 - a_2 q_1 + a_2^2 q_2 + \dots + a_2^{n-1} q_n,$$

в свою очередь же образом определяем постоянные $a_1^{(1)}, a_1^{(2)}, a_2^{(1)}, a_2^{(2)}, \dots, a_n^{(1)}, a_n^{(2)}$. Решение дифференциального уравнения (12) теперь запишется в виде

$$q^{(1)} = x_0 - a_1 q_1 + a_1^2 q_2 + \dots + a_1^{n-1} q_n,$$

Этот процесс можно продолжать неограниченно, и он состоит, так как основан на решении дифференциальных уравнений методом последовательных приближений, что по Пиняру дает сколь угодно процесс.

Примеры. 1. В одной из колобаний дифференциальное уравнение этих колобаний имеет вид

$$\ddot{x} + x + p(x^2 + \lambda x^4) = 0. \quad (16)$$

Будем искать решение дифференциального уравнения (16) в виде

$$x = x_0 + a_1 \cos 3t + a_2 \cos 5t. \quad (17)$$

где $x_0 = A \cos t$ есть решение линейного уравнения, полученного из (16) при $p = 0$ и при начальных условиях $x(0) = A, \dot{x}(0) = 0$, равныя выражения (13) и (17) находят, что $q_1 = \cos 3t, q_2 = \cos 5t$. Для определения постоянных a_1 и a_2 составим систему уравнений (15)

$$a_1 \int_0^{2\pi} (-9 \cos 3t + \cos 3t) \cos 3t dt + a_2 \int_0^{2\pi} (-25 \cos 5t + \cos 5t) \times$$

$$x \cos 3t dt + p \int_0^{2\pi} (\lambda^2 \cos^2 t + \lambda^4 \cos^4 t) \cos 3t dt = 0,$$

$$a_1 \int_0^{2\pi} (-11 \cos 3t + \cos 3t) \cos 5t dt + a_2 \int_0^{2\pi} (-25 \cos 5t + \cos 5t) \times$$

$$x \cos 5t dt + p \int_0^{2\pi} (\lambda^4 \cos^4 t + \lambda^4 \cos^6 t) \cos 5t dt = 0.$$

Продставив необходимые выкладки, получим следующие значения коэффициентов:

$$a_1 = -\frac{1}{32} \left(\frac{1}{2} \lambda^4 + \frac{5}{128} \lambda^6 \right);$$

$$a_2 = \frac{1}{32} \lambda^4.$$

После подстановки в уравнение (17) получим

$$x = A \cos t - p \left(\frac{1}{32} \lambda^4 + \frac{5}{128} \lambda^6 \right) \cos 3t + \frac{1}{32} \lambda^4 \cos 5t.$$

2. В илуждемные колобания дифференциальное уравнение этих колобаний имеет вид

$$x + x + p(x^2 + \lambda x^4) = h \cos pt. \quad (18)$$

Решение ищем в виде

$$x = (A + a_1) \cos pt + a_2 \cos 3pt + a_3 \cos 5pt, \quad (19)$$

где $x_0 = A \cos pt$ ($A = \frac{h}{1-p^2}$);

$$a_1 = \cos 3pt;$$

$$a_2 = \cos 5pt.$$

Составляя систему уравнений (15) и решая ее, находим коэффициенты

$$a_1 = -\frac{h}{1-p^2} \left(\frac{3}{4} \lambda^4 + \frac{5}{8} \lambda^6 \right);$$

$$a_2 = -\frac{h}{1-9p^2} \left(\frac{1}{4} \lambda^4 + \frac{5}{16} \lambda^6 \right);$$

$$a_3 = -\frac{h}{16(1-25p^2)} \lambda^4.$$

Подставляя в (19), получим

$$x = \left[\frac{h}{1-p^2} - \frac{h}{1-9p^2} \left(\frac{3}{4} \lambda^4 + \frac{5}{8} \lambda^6 \right) \right] \cos pt -$$

$$-\frac{h}{1-9p^2} \left(\frac{1}{4} \lambda^4 + \frac{5}{16} \lambda^6 \right) \cos 3pt - \frac{h}{16(1-25p^2)} \lambda^4 \cos 5pt. \quad (20)$$

Частота возмущающей силы P и амплитуда A полностью характеризуют полученное периодическое решение нелинейного дифференциального уравнения (18). Найдем зависимость между P и A . Выразим $x = A \cos pt$ можно рассматривать как первое приближение для искомого решения уравнения (18), а выражение (20) — как следующее приближение. Так как мы исследуем колебания, близкие к линейным, то коэффициент при $\cos pt$ в выражении (20) не должен сильно отличаться от амплитуды A , поэтому положим этот коэффициент равным A . Это приводит к соотношению

$$p^2 = 1 - \frac{A}{p} \left(\frac{3}{4} \lambda^4 + \frac{5}{8} \lambda^6 \right). \quad (21)$$

Уравнение (21) позволяет рассмотреть P как функцию амплитуды A , выразив которой в булж дается. В известной P, A это уравнение дает несколько кривых для каждого амплитудного значения λ и имеет роль параметра. Также кривые выйдут из амплитудных кривых; при $\lambda = 0$ они превратятся в амплитудные кривые амплитудных колебаний.

Для получения более точного приближения для λ указанным же, можно было бы положить коэффициент при $\cos P$ равным A . Это приведет к соответствию между A и P амплитудному (21), но более точно. Выбрав из кривых значения λ и A на характер амплитудных кривых. На фиг. 1 и 2 представлены графики функции

$$y = x + \mu(x^2 + \lambda x^3),$$

выражающей восстановленную амплитуду A при различных комбинациях значений λ и μ и при следующем значении $\mu = 0,1; \lambda = 0,5$.

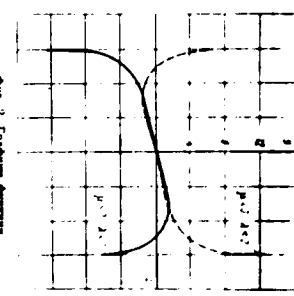
На фиг. 3 даны приращение амплитудные кривые в соответствии с указанными случаями. На этих графиках по оси ординат отложены значения λ для различных комбинаций (λ, μ) .

$$P_1 = 1 + \mu \left(\frac{3}{4} A^2 + \frac{5}{8} \lambda A^3 \right),$$

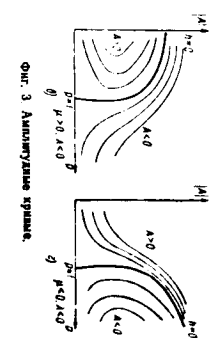
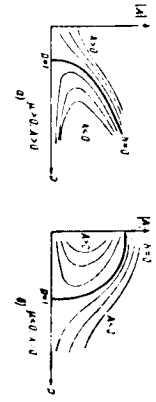
выданы на графиках жирной линией. Эти кривые называются скелетными кривыми.

Из рассмотрения графиков (3, 4) и (3, 6) следует, что при $\lambda = 0$ амплитудные кривые не оказывают. Действительно, если в уравнении (18) положить $\lambda = 0$, то мы получим известное уравнение Дурфина. Для этого уравнения характер резонансных кривых Дурфина жесткой ($\mu > 0$) и мягкой ($\mu < 0$) упругой связи булж таковы же, как и при $\lambda < 0$ происходит изменение характера амплитудных кривых по сравнению с аналогичными кривыми для уравнения Дурфина.

На скелетном можно сделать вывод, что, если в функции $y = x + \mu(x^2 + \lambda x^3)$ коэффициент $\lambda < 0$, то при интегрировании уравнения (18) надо обязательно учитывать член, содержащий λ .

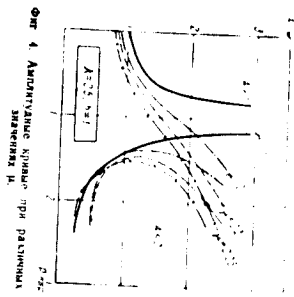


Фиг. 2 График функции $y = x + \mu(x^2 + \lambda x^3)$



Фиг. 3 Амплитудные кривые.

На фиг. 4 изображены резонансные кривые, соответствующие значениям β и β_0 при различных поправочных значениях коэффициента и амплитудные кривые накладываются взаимно соответствующим образом. Кривые накладываются взаимно соответствующим образом, так как имеют вид дельта-функций Коши. При увеличении β



Фиг. 4. Амплитудные кривые при различных значениях β .

Кривые отклоняются вверх и увеличивается интервал, в котором также отмечено, что нелинейность особенно сильно проявляется при больших значениях амплитуд; при малых значениях амплитуд все резонансные кривые расходятся вблизи резонансной кривой $\beta = 1$.

ЛИТЕРАТУРА

1. Горюхи Ю. И. Защита самолета от повреждения от инбрида. Обзор литературы. М., 1952.
 2. Калитин В. И. и Крылов В. И. Предельные методы вычисления. М., 1952.
 3. Калитин В. И. О нелинейных колебаниях. Труды Ленинградского государственного университета. Математический факультет. Вып. 1, 1959.
 4. Чекмарев А. И. О нелинейных колебаниях в нелинейных системах с частотной нелинейностью. Доклады Академии наук СССР, 1958.
 5. Малакин И. Г. Некоторые задачи теории нелинейных колебаний. Тезисы докладов, 1958.
 6. Стокер Р. Дж. Нелинейные колебания в механических и электрических системах. М., 1958.
 7. Коллар А. Теория ветвей и ее приложения к нелинейным уравнениям и динамике. М., 1950.

ТЕЧЕНИЕ ВЯЗКОЙ НЕОЖИМАЕМОЙ ЖИДКОСТИ ВО ВРАЩАЮЩЕЙСЯ ЦИЛИНДРЕ

И. В. КУЗНЕЦОВ, С.-ПЕТЕРБУРГ

В некоторых задачах машиностроения встречается течение жидкости под действием вращающейся цилиндрической вилки. В качестве примера можно указать на процесс подачи смазки в поршневых машинах, на процесс охлаждения ротора турбины и др. В некоторых случаях вращение цилиндрической вилки, содержащей жидкость, происходит с некоторым возмущением начальной угловой скорости вращения — с замедлением или ускорением. Возникает вопрос о характере течения жидкости внутри вилки в данном случае. Очевидно, что вращение вилки может быть полезно в данном случае. Обратной задачей является влияние вращающегося движения относительно вилки на движение самой жидкости. В настоящей работе мы предлагаем некоторый приближенный расчет первой задачи, получивший при некоторых допущениях, вытекающих из условия вращающейся вилки.

При исследовании задачи приходится считать, что жидкость движется относительно вилки с некоторой скоростью. Цилиндрическая вилка с угловой скоростью

$$\omega = \omega_0 + \epsilon \dot{\omega}$$

(1)

где ω_0 — известная начальная угловая скорость вращения вилки, ϵ — положительное или отрицательное угловое ускорение, $\dot{\omega}$ — величина которого также известна и значение которой мы будем считать равной единице: $|\dot{\omega}| = \omega_0^2$.

Можно считать, что движение вилки ускорения ϵ вызывает возмущение некоторого установившегося движения жидкости внутри вилки при данной угловой ее скорости ω_0 . Это течение предположим ламинарным и осесимметричным. Возмущение внешнего движения вилки, характеризующееся величиной ϵ , очевидно, не нарушит осесимметричности и дальности возмущенного движения жидкости, так как ось вращения остается неизменной в пространстве. Вследствие малости ϵ можно пренебречь тангенциальной силой инерции от перемещения вилки. Виду нежимаемости жидкости

в стандартном выражении скорости можно представить итерированными силами инерции в системе Кориолиса (можно представить в координатах скорости v , равная нулю).
 В цилиндрических координатах с осью Z , совпадающей с осью цилиндрической полости, скорость движения \vec{v} может быть записана в виде

$$\vec{v}(r, t) = \vec{v}_r(r) + \vec{v}_\theta(r, t), \quad (2)$$

где $\vec{v}_r(r)$ — общее решение для ламинарного течения в цилиндрической трубе вращения. В то время как $\vec{v}_\theta(r, t)$ зависит от вращения трубы, очевидно, v_θ можно записать параллельно оси цилиндра, а v_r лежит в плоскости, перпендикулярной к ее оси. При стандартных допущениях уравнения Навье-Стокса в цилиндрических координатах дают следующее уравнение для $v_\theta(r, t)$:

$$\frac{\partial v_\theta}{\partial t} + \frac{1}{r} \frac{\partial v_\theta}{\partial r} - \frac{v_\theta}{r^2} = \frac{1}{\nu} \frac{\partial^2 v_\theta}{\partial r^2} \quad (3)$$

Так как мы изучаем вращательное движение жидкости, которое мало отличается от вращения твердого тела (мало r — малая величина дна трубки), то можно предположить, что уравнение (3) обрывает решение в форме

$$v_\theta = r(\omega_0 + \omega(t) + \omega_1(r) + \omega_2(r, t)), \quad (4)$$

где ω_0 является функцией, которая не зависит от времени и характеризует относительное установившееся вращение жидкости; $\omega_1(r, t)$ — функция также относительно движения жидкости, но зависит от радиуса частицы и от времени. Иначе говоря, все возмущение движения рассматривается на два движения. В этом случае уравнение (3) распадается на два уравнения:

$$\frac{d^2 \omega_1}{dr^2} + \frac{1}{r} \frac{d\omega_1}{dr} - \frac{\omega_1}{r^2} = \frac{1}{\nu} \frac{d\omega_1}{dt} \quad (5)$$

$$\frac{\partial^2 \omega_2}{\partial r^2} + \frac{1}{r} \frac{\partial \omega_2}{\partial r} - \frac{\omega_2}{r^2} = \frac{1}{\nu} \frac{\partial^2 \omega_2}{\partial t^2} \quad (6)$$

Уравнение (5) может быть записано в виде

$$\frac{d}{dr} \left(\frac{1}{r} \frac{d\omega_1}{dr} \right) = \frac{1}{\nu} \frac{d\omega_1}{dt} \quad (7)$$

$$\frac{d^2 \omega_2}{dr^2} + \frac{d\omega_2}{dr} = \frac{1}{\nu} \frac{d^2 \omega_2}{dt^2} + C_1 \quad (8)$$

Н. В. Роде и др., Творческая гидроакустика, ч. 2, ГИИТА, 1987, стр. 30.

Умножив уравнение (6) на r , получим

$$\frac{d^2(r\omega_2)}{dr^2} = \frac{1}{\nu} \frac{d^2(r\omega_2)}{dt^2} + C_1 r, \quad (9)$$

откуда

$$r\omega_2 = \frac{1}{8} r^4 + C_1 \frac{r^2}{2} + C_2 \quad (10)$$

Так как v_θ — ось функции, которая характеризует относительное движение жидкости, то она должна удовлетворять следующим граничным условиям

$$\text{при } r=R \text{ и } r=0 \quad v_\theta = 0, \quad (11)$$

где R — внутренний радиус трубы. Вычисление этих условий позволяет определить произвольные постоянные в следующем виде:

$$C_1 = -\frac{1}{4} \frac{R^2}{\nu}, \quad (12)$$

$$C_2 = 0, \quad (13)$$

Тогда из уравнения (10) найдем

$$v_\theta = -\frac{1}{8} r^4 + r^2 (k^2 - r^2), \quad (14)$$

Переходя к решению уравнения (5), будем искать функцию v_θ в следующей форме:

$$v_\theta = U(r)H(t), \quad (15)$$

Подстановка (15) в уравнение (5) позволяет после деления уравнения на $G(t)$ написать

$$\frac{1}{G} \frac{d^2 G}{dr^2} + \frac{1}{r} \frac{dG}{dr} - \frac{1}{\nu} \frac{1}{H} \frac{dH}{dt} = -k^2, \quad (16)$$

где k^2 произвольное целое число. Для определения H введем уравнение

$$\frac{dH}{dt} = -k^2 H, \quad (17)$$

Положив $H = Ce^{kt}$, найдем $s = -k^2$.

$$H = Ce^{-k^2 t}, \quad (18)$$

Так как при данной постановке задачи нельзя предположить, что бы функция v_θ с течением времени непрерывно росла, а следовательно, и возрастала бы скорость движения жидкости, то отсюда следует, что

$$k < 0, \quad (19)$$

Окончательно, функция H запишется в виде

$$H = Ce^{-k^2 t}, \quad (20)$$

(отсюда, сделавши) с решением Y из уравнения (18) можно получить уравнение для определенной функции G

$$G'' + \frac{1}{R} G' + (k^2 - \frac{1}{R^2}) G = 0 \quad (21)$$

Решение этого уравнения записывается в функциях Бесселя первого и второго рода первого порядка

$$G = C_1 Y_1(kR) + C_2 Y_2(kR) \quad (22)$$

Это решение также должно удовлетворять граничным условиям (11). При $r=0$ функция Y_1 стремится к бесконечности, поэтому, естественно, следует исключить $C_2 = 0$. Отметим, что на стороне полостной $r=R$ функция G должна обращаться в нуль, т. е.

$$G(R) = C_1 Y_1(kR) = 0,$$

но это наблюдается в том случае, если

$$kR = \alpha_i \quad (i=1, 2, \dots)$$

т. е. ч. являются корнями функции Бесселя. Отсюда находим второе условие, которому должна удовлетворять величина k^2 :

$$k_i = \frac{\alpha_i}{R} \quad (i=1, 2, \dots) \quad (23)$$

Учитывая все сказанное, можно окончательно написать решение уравнения (9) в виде

$$\varphi_{2n} = \sum_{i=1}^n C_i J_1 \left(\frac{\alpha_i}{R} r \right) e^{-\left(\frac{\alpha_i}{R} z \right)^2} \quad (24)$$

где $C_i = C_i^* / C$ согласно (15), (18), (22) являются произвольными постоянными, определенными из начальных условий.

Найденное решение (24) позволяет показать, что чем, выйдя от начальных условий, исчисляет с течением времени. При незначительном этом член будет пренебрежимо малым по сравнению с наименьшим членом $r(\varphi_0 + \psi)$.

$$\frac{r(\alpha_i)}{R} \gg \frac{1}{n}$$

где α_1 — первый и наименьший корень функции Бесселя.

Если принять $\nu = 0,018$ см/сек (вода), $a = 2,405$ см, $\nu_0 = 1000 \frac{1}{\text{сек}}$, $\epsilon = 0,1 \frac{1}{\text{сек}^2}$, $R = 2,405$ см, то $0,018 \gg 0,0001$.

Это обстоятельство позволяет представить решение (4) в следующем виде:

$$\varphi_{2n} = r(\varphi_0 + \psi) - \frac{1}{a} \frac{1}{n} r(k^2 - r^2) \quad (25)$$

Возвращаясь к решению (8), можно окончательно написать

$$\begin{aligned} \varphi(r, z) = & \frac{a}{k} \Omega - \Omega \frac{a}{k} (k^2 - r^2)^2 + \\ & + r(\varphi_0 + \psi) - \frac{1}{a} \frac{1}{n} r(k^2 - r^2) \varphi_0 \end{aligned} \quad (26)$$

где

$$\varphi_0 = \frac{\Omega - \Omega_0}{k} (k^2 - r^2)$$

Ω_0 — единичные векторы цилиндрической координат. Отметим еще раз, что φ_0 — квадрат функции, так как рассматриваемое течение является ламинарным, эта функция описывает течение Пуассона.

Полученное решение показывает, что частота малости движется по направлению движения в пределах концентричности ламинарного течения скорость каждого из которых отдаленности от угла вой скорости трыбы на $-\frac{1}{a} \frac{1}{n} (k^2 - r^2)$.

ЛИТЕРАТУРА

1. Г. р. д. З. и М. т. р. д. Г. В. Функции Бесселя (применения к физике и технике) М. 1960
 2. К. о. в. Н. Е. и др. Теоретическая гидродинамика, ч. 1, 4-е переиздание, М. 1948
 3. Р. о. з. Н. В. и др. Теоретическая гидродинамика, ч. 2, ГИИТД, 1937, стр. 300

М.А. Мещеряков, стр. 104, 105

О КРИТЕРИИ УСТОЙЧИВОСТИ ДЛЯ НЕРАЙСЯЩИХСЯ СНАРЯДОВ

Вопрос устойчивости нерайсящихся снарядов нецелесообразно ставить в какой-либо связи с вопросом о критерии устойчивости вращения снаряда. Насколько важна связь между этими двумя проблемами — вопрос на усмотрение исследователя.

При исследовании устойчивости нерайсящихся снарядов необходимо учитывать также девиацию, которая позволяет использовать аналогично методу вычисления момента инерции системы снаряда в случае Ларганса-Трапанича. Аналогично можно применить метод вычисления момента инерции системы снаряда в случае Ларганса-Трапанича, применяя к нему формулы для вычисления момента инерции системы снаряда в случае Ларганса-Трапанича. При этом необходимо учитывать, что момент инерции снаряда относительно центра тяжести снаряда (при предположении, что он не зависит от девиации) не зависит от девиации снаряда. Тогда роль девиации снаряда не будет зависеть от девиации снаряда и сила девиации снаряда не будет зависеть от девиации снаряда.

В основу дальнейшего рассуждения мы положим работу Н. Г. Черепанова в области устойчивости вращения твердого тела с одной из точек вращения в случае Ларганса-Трапанича. За первоначальное движение снаряда относительно центра тяжести снаряда движение, которое характеризуется следующими соотношениями:

$$p=0, q=0, r=\omega_0, \dot{p}=\dot{q}=\dot{r}=0, \dot{p}''=0, \dot{q}''=0, \dot{r}''=0.$$

где p, q, r — проекции мгновенной угловой скорости снаряда на оси X, Y, Z жестко связанные с корпусом; $\dot{p}, \dot{q}, \dot{r}$ — направления скорости снаряда относительно к траектории с осью X, Y, Z .

• Н. Г. Черепанов. Об устойчивости вращения твердого тела с одной из точек вращения в случае Ларганса-Трапанича. Математика и механика, т. XVIII, вып. I, стр. 123-124.

64

Вопрос о критерии устойчивости этого движения не относится ни к функциям $p, q, r, \dot{p}, \dot{q}, \dot{r}$ связано с определением скорости вращения снаряда по работе Н. Г. Черепанова.

См. также стр. 104.

Пр. 2 — движение центра тяжести (с осью) — движение центра тяжести снаряда.

Применительно к нашей цели это будет движение центра тяжести снаряда в силу веса снаряда. Следовательно, движение центра тяжести снаряда в случае нерайсящегося снаряда не будет зависеть от девиации снаряда.

$$p \rightarrow 0, q \rightarrow 0, r \rightarrow \omega_0.$$

Но в этом случае оно может быть только тогда, когда $\omega_0 = 0$, что является известным критерием устойчивости нерайсящихся снарядов. Центр тяжести должен двигаться по линии центра тяжести снаряда.

ЛИТЕРАТУРА

1. Черепанов Н. Г. Об устойчивости вращения твердого тела с одной из точек вращения в случае Ларганса-Трапанича. Математика и механика, т. XVIII, вып. I, стр. 123-124.

2. М. А. Мещеряков.

5 266

65

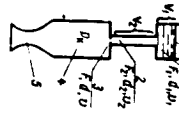
ОБ ОДНОМ МЕТОДЕ ОПРЕДЕЛЕНИЯ КРИТЕРИЯ УСТОЙЧИВОСТИ РАБОТЫ ЖРД
 А. С. КУЗНЕЦОВ

В настоящее время еще недостаточно надежны методы определения условий, при которых работа жидкостного ракетного двигателя (ЖРД) является устойчивой. В одномерной теории двигателя устойчивость определяется графиками.

В данной статье предлагается попытка найти некоторый новый критерий, позволяющий провести анализ устойчивости работы ЖРД.

ЖИДКОСТНЫЙ РАКЕТНЫЙ ДВИГАТЕЛЬ (УНИТАРНЫЙ (СОДНОКОМПОНЕНТНЫЙ) ТОННВОМ)

На фиг. 1 изображен упрощенный жидкостный ракетный двигатель. Индексы 1 и 2 на фиг. 1 относятся соответственно к баке и питающей линии.



Осознаем, что через V, F, v и d — объем, диаметр поперечного сечения, скорость жидкости и давление в камере сгорания.

Исследование проводится без учета акустических колебаний в камере сгорания и без учета волновых процессов в тонких трубах.

Унитарное топливо под постоянным давлением P_1 вытесняется из бака 1 через трубопровод 2 в камеру 4, где оно сгорает и продукты сгорания вытекают наружу через реактивное сопло 5.

Космический аппарат работает двигателям только в том случае, когда давление в баке 1 превышает давление в камере сгорания 4. Поэтому давление в камере сгорания 4 увеличивается расхода топлива, соответствующему увеличению расхода топлива в камере сгорания, система возвращается в исходное состояние. Таким образом, система возвращается в исходное состояние.

нас, и количество притока, если он неустойчивый, может превышать как угодно мало. В общем, анализ для жидкостного двигателя поперечных и продольных колебаний и притока больше для жидкости. Если они с течением времени увеличиваются, то система становится неустойчивой. В результате могут возникнуть колебания, которые могут вызвать разрушение камеры.

Уравнение движения

Для составления дифференциального уравнения движения системы одномерного движения топлива жидкости в тонкостенных трубах используется уравнение неразрывности и уравнение обтекания.

Для конечного фиксированного объема материальных частиц можно записать

$$\left[\frac{d}{dt} \int_V \rho dV \right] dt = \sum_i \dot{m}_i$$

или

$$\left[\int_V \frac{\partial}{\partial t} (\rho v) dV + \int_S \rho v_n dS \right] dt = \sum_i \dot{m}_i \quad (A)$$

где $\int_V \frac{\partial}{\partial t} (\rho v) dV$ — учитывает изменение кинетической энергии внутри фиксированного объема;

$\int_S \rho v_n dS$ — учитывает изменение кинетической энергии по поверхности S — вдоль трубки.

На фиг. 1 имеются два участка с постоянными сечениями. Очевидно, кинетическая энергия внутри системы, соответствующая этим двум сечениям, за произвольный промежуток времени dt может быть представлена в виде

$$\left[\int_V \frac{\partial}{\partial t} (\rho v) dV \right] dt = \left[V_1 \frac{\partial}{\partial t} \left(\frac{\rho v^2}{2} \right) + V_2 \frac{\partial}{\partial t} \left(\frac{\rho v^2}{2} \right) \right] dt$$

при этом принимаем, что частная производная $\frac{\partial}{\partial t} \left(\frac{\rho v^2}{2} \right)$ в каждой точке объема V_1 и V_2 постоянна.

Намеченные направления измерений по поверхности (векторное разложение скорости вытока и входа частицы жидкости на поверхность) запишем так:

$$\left[\int \frac{v^2}{2} c_i ds \right] dt = \left[\frac{v^2}{2} Q - \frac{v^2}{2} Q_i \right] dt.$$

Где $Q_i = \int v_i^2$ и $Q = \int v^2$ — суммарный объемный расход жидкости соответственно через сечение баки и форсунки.

В уравнении (А) необходимо почитать суммарный элемент работы жидк. сил, приложенных к жидкой среде (работа веса жидкости не учитывается).

Работа сил нормального давления

$$\sum_{i=1}^n \Delta A_i = \sum_{i=1}^n P_i dA_i = P_i F_i v_i dt - P_i F_i v_i dt = P_i Q_i dt - P_i Q_i dt;$$

Работа сил трения

$$\sum_{i=1}^n \Delta A_i = \sum_{i=1}^n R_i dA_i = -R_i v_i dt - R_i v_i dt - R_i v_i dt - R_i v_i dt.$$

где $\bar{P}_i = \bar{P}_i F_i$, а dA_i — элементарные перемещения.

Учитывая, что полная сила трения при движении жидкости по трубе определяется по известной формуле*

$$R = \zeta \frac{v^2}{2} F_i.$$

Получим

$$\sum_{i=1}^n \Delta A_i = -\zeta \frac{v^2}{2} \frac{1}{F_i} F_i v_i dt - \zeta \frac{v^2}{2} \frac{1}{F_i} F_i v_i dt - \zeta \frac{v^2}{2} \frac{1}{F_i} F_i v_i dt - \zeta \frac{v^2}{2} \frac{1}{F_i} F_i v_i dt \approx -\zeta \frac{v^2}{2} \frac{1}{F_i} F_i v_i dt$$

где принято

$$\frac{1}{F_i} = \frac{d_2^2}{F_i} = \left(\frac{d_2}{d_1}\right)^2, \quad \frac{v}{F_i} = \frac{v}{F} = \left(\frac{d_1}{d_2}\right)^2$$

и предположено, что $l_2 \gg l_1$, $l_2 \gg l$ и $d_2 \gg d_1$, $d_2 \approx d_1$.

Теперь, принимая во внимание все полученные формулы, уравнение (А) можно представить в виде

$$\left[V_1 \frac{\partial}{\partial t} \left(\frac{v^2}{2} \right) + V_2 \frac{\partial}{\partial t} \left(\frac{v^2}{2} \right) \right] dt + \left[\frac{v^2}{2} Q - \frac{v^2}{2} Q_i \right] dt = P_i Q_i dt - P_i Q dt - \zeta \frac{v^2}{2} \frac{1}{F_i} F_i v_i dt.$$

* В общем случае, когда извест место местного гидравлического попер. сечения F определяем коэффициент $\zeta = \lambda \frac{l}{d} \frac{v^2}{2} F$. Здесь λ — поправочный коэффициент попер. сечения трубы, зависящий в данном случае от скорости течения.

Сопоставив на время dt и учитывая, что $V_1 = l_1 F_1$ и $V_2 = l_2 F_2$, получим

$$l_1 F_1 v_1 \frac{dv_1}{dt} + l_2 F_2 v_2 \frac{dv_2}{dt} + \frac{v^2}{2} Q - \frac{v^2}{2} Q_i = P_i Q_i dt - P_i Q dt - \zeta \frac{v^2}{2} \frac{1}{F_i} F_i v_i dt.$$

Ввиду справедливости для исследуемой жидкости уравнения неразрывности $Q_1 = Q_2 = Q = F_1 v_1 = F_2 v_2$ можно сократить соответствующие объемы расхода, тогда энергетическое уравнение неразрывности для одномерного движения потока жидкости окончательно запишется так:

$$\frac{v^2}{2} - \frac{v^2}{2} + l_1 \frac{dv_1}{dt} + l_2 \frac{dv_2}{dt} = P_i - P_e - \zeta \frac{v^2}{2} \frac{1}{F_i} F_i v_i dt.$$

или

$$P_i - P_e = \frac{v^2}{2} - \frac{v^2}{2} + l_1 \frac{dv_1}{dt} + l_2 \frac{dv_2}{dt} + \zeta \frac{v^2}{2} \frac{1}{F_i} F_i v_i dt. \quad (Б)$$

Из уравнений неразрывности для исследуемой жидкости следует, что $v = v_1(d_1/d_2) = v_2(d_2/d_1)$. Тогда уравнение (Б) примет вид

$$P_i - P_e = \frac{v^2}{2} - \frac{v^2}{2} + l_1 \left(\frac{d_1}{d_2}\right)^2 + l_2 \left(\frac{d_2}{d_1}\right)^2 + \zeta \frac{v^2}{2} \left(\frac{d_1}{d_2}\right)^2 \frac{1}{F_i} F_i v_i dt + l_2 \left(\frac{d_2}{d_1}\right)^2 \frac{1}{F_i} F_i v_i dt + \zeta \frac{v^2}{2} \left(\frac{d_2}{d_1}\right)^2 \frac{1}{F_i} F_i v_i dt.$$

или

$$P_i - P_e = \frac{v^2}{2} \left[1 - \left(\frac{d_1}{d_2}\right)^2 \right] + l_1 \left(\frac{d_1}{d_2}\right)^2 + l_2 \left(\frac{d_2}{d_1}\right)^2 + \zeta \frac{v^2}{2} \left(\frac{d_1}{d_2}\right)^2 \frac{1}{F_i} F_i v_i dt + \zeta \frac{v^2}{2} \left(\frac{d_2}{d_1}\right)^2 \frac{1}{F_i} F_i v_i dt.$$

Полагая, что скорость v отличается от скорости стационарного потока v_0 на величину v' , т.е. $v = v_0 + v'$.

Пренебрегая членами, содержащими $(d/d_2)^2$ и v'^2 , получим

$$P_i - P_e = l_1 \left(\frac{d_1}{d_2}\right)^2 + l_2 \left(\frac{d_2}{d_1}\right)^2 + \zeta \frac{v_0^2}{2} \left[1 + \zeta \left(\frac{d_1}{d_2}\right)^2 \frac{1}{F_i} F_i v_i dt \right] + \zeta \frac{v_0^2}{2} \left[1 + \zeta \left(\frac{d_2}{d_1}\right)^2 \frac{1}{F_i} F_i v_i dt \right].$$

Обозначим величину $l_1(d_1/d_2)^2 + l_2(d_2/d_1)^2$ через $l'(d/d_2)^2$, тогда

$$P_i - P_e = \rho l' \left(\frac{d}{d_2}\right)^2 \frac{dv_0}{dt} + \rho v_0^2 \left[1 + \zeta \frac{1}{2} \left(\frac{d_1}{d_2}\right)^2 \right] v' + \zeta \frac{\rho v_0^2}{2} \left[1 + \zeta \frac{1}{2} \left(\frac{d_1}{d_2}\right)^2 \right]. \quad (1)$$

Полагая, что изменение скорости вызывает изменение давления, зависимость между ними можно представить в виде ряда Тейлора:

отражаться, сжатая передо порода воздуха и расширяя $P_1(v_1 + v_1')$ по стенкам v_1' (вектор v_1 вектор v_1' взаимно перпендикулярны).

На фиг. 2 давление в камере сгорания при установившемся режиме, $K_{\text{ст}} \dots$ инстинкт, отражающая зависимость давления в камере сгорания от скорости течения; считаем, что время протекания газа в камере сгорания пренебрежимо мало по сравнению с задержкой газоборазования v_1 .

Задержка газоборазования (время от момента поступления порции топлива в камеру сгорания до ее преобразования в продукты сгорания).

Максимальное значение во время $t = a$. Индекс v_1 отнесен к стационарному процессу. Подставляем уравнение (2) в (1).

Получим:

$$P_1 - P_{k,c} = K P_{k,c} \left[\frac{v_1'}{v_1} + \frac{v_1'}{v_1} \left(\frac{d_1}{d_2} \right)^2 + \frac{v_1'}{v_1} \left(\frac{d_1}{d_2} \right)^2 \right] v_1' + \frac{P_1}{2} \left[1 + \frac{v_1'}{v_1} \left(\frac{d_1}{d_2} \right)^2 \right] \quad (3)$$

Но для устойчивого потока $v_1' = 0, v_1'' = 0, d_1' d_1 = 0$. Следовательно, на уравнении (3) находим

$$P_1 - P_{k,c} = \frac{P_1}{2} \left[1 + \frac{v_1'}{v_1} \left(\frac{d_1}{d_2} \right)^2 \right] \quad (4)$$

Используя уравнение (4), на уравнении (3) получим

$$\frac{d v_1'}{d t} + \frac{v_1'}{v_1} \left(\frac{d_1}{d_2} \right)^2 \left[1 + \frac{v_1'}{v_1} \left(\frac{d_1}{d_2} \right)^2 \right] v_1' = -K P_{k,c} \left(\frac{d_1}{d_2} \right)^2 \frac{v_1'}{v_1} \quad (5)$$

или $\frac{d v_1'}{d t} + E v_1' = -C v_1'$

где $E = \frac{v_1'}{v_1} \left(\frac{d_1}{d_2} \right)^2 \left[1 + \frac{v_1'}{v_1} \left(\frac{d_1}{d_2} \right)^2 \right] > 0;$

$C = \frac{K}{P_{k,c}} \left(\frac{d_1}{d_2} \right)^2 \frac{v_1'}{v_1} > 0;$

Здесь принято $K > 0$.

Полученное уравнение (5) есть дифференциальное уравнение первой степени с разделяющимися переменными для одной из переменных системы.

Фиг. 2 Схема ЖРД ракеты. 1 - сопло; 2 - камера сгорания; 3 - камера сгорания; 4 - камера сгорания; 5 - камера сгорания.



Фиг. 2 Схема ЖРД ракеты. 1 - сопло; 2 - камера сгорания; 3 - камера сгорания; 4 - камера сгорания; 5 - камера сгорания.

70

Рассмотрим получаемые результаты на двухматричной системе, когда подан горючее и окислитель (схема системы на фиг. 3).

ДВУХМАТРИЧНАЯ СИСТЕМА ВОДАЧА ТОПЛИВА

На фиг. 3 представлена обобщенная двухматричная система. Используем те же обозначения, что и раньше. Индекс v_1 будет относиться к парциальному давлению горючего, индекс v_2 - к парциальному давлению окислителя.

Предположим, что время запаздывания в v_1 обеих матричных системах, т. е.

$$v_1 = v_2 = a.$$

Из рассмотренной энергии, как и раньше, находим:

$$P_1 - P_{k,c} = \frac{1}{2} P_1 v_1' \left[1 + \frac{v_1'}{v_1} \left(\frac{d_1}{d_2} \right)^2 \right] \quad (5a)$$

для окислителя

$$P_2 - P_{k,c} = \frac{1}{2} P_2 v_2' \left[1 + \frac{v_2'}{v_2} \left(\frac{d_1}{d_2} \right)^2 \right] \quad (6a)$$

Эти уравнения (5a) и (6a) полностью соответствуют уравнению (4). Как и раньше, разложим давление P_1 в ряд Тейлора, но уже для функции двух переменных:

$$P_1 = P_{k,c} \left(1 + K_1 \frac{v_1'}{v_1} + K_2 \frac{v_2'}{v_2} \right) \quad (7)$$

Тогда для любого момента времени уравнение (1) для горючего запишется так:

$$P_1 - P_{k,c} \left(1 + K_1 \frac{v_1'}{v_1} + K_2 \frac{v_2'}{v_2} \right) = P_1 v_1' \left(\frac{d_1}{d_2} \right)^2 \frac{d v_1'}{d t} + P_1 v_1' \left[1 + \frac{v_1'}{v_1} \left(\frac{d_1}{d_2} \right)^2 \right] v_1' + P_1 v_1' \left[1 + \frac{v_1'}{v_1} \left(\frac{d_1}{d_2} \right)^2 \right] v_1' \quad (8a)$$

Отсюда, учитывая равенства (5a) и (6a), получим для горючего уравнение

$$\frac{d v_1'}{d t} + E_1 v_1' = -C_1 v_1' - L_1 v_2' \quad (8b)$$

где $E_1 = \frac{v_1'}{v_1} \left(\frac{d_1}{d_2} \right)^2 \left[1 + \frac{v_1'}{v_1} \left(\frac{d_1}{d_2} \right)^2 \right];$

$$C_1 = \frac{K_1}{P_{k,c}} \left(\frac{d_1}{d_2} \right)^2 \frac{v_1'}{v_1};$$

$$L_1 = \frac{K_2}{P_{k,c}} \left(\frac{d_1}{d_2} \right)^2 \frac{v_2'}{v_2}.$$

71

Зачаста вилжежк, получим уравнение для скорости

$$\frac{dv_x}{dt} + E_1 v_x = -C_1 v_x - L_1 v_x^2 \quad (8a)$$

где

$$E_1 = \frac{2L_1}{C_1} \left(\frac{2a}{L_1} \right) \left(1 + \frac{L_1}{C_1} \left(\frac{2a}{L_1} \right) \right)^2$$

$$C_1 = -\frac{K_1}{K_2} \left(\frac{2a}{L_1} \right)^2 \frac{2a}{L_1};$$

$$L_1 = \frac{K_1}{K_2} \left(\frac{2a}{L_1} \right)^2 \frac{2a}{L_1}.$$

Эти уравнения (8a) и (8б) соответствуют уравнению (5) одномерной системы. Из уравнения (7) видно, что

$$K_1 = \frac{L_1 C_1}{K_2} \left(\frac{2a}{L_1} \right);$$

$$K_2 = \frac{L_1 C_1}{K_1} \left(\frac{2a}{L_1} \right).$$

Итак, получены два уравнения (8a) и (8б) первого порядка с постоянными коэффициентами относительно координат x и v_x , к одному дифференциальному уравнению второго порядка следующего вида:

Как и в работе Д. Гандера и Д. Фрианта *, дифференцируем уравнение (8a) по t :

$$\frac{dv_x}{dt} + E_1 \frac{dv_x}{dt} = -C_1 \frac{dv_x}{dt} - L_1 \frac{dv_x^2}{dt} \quad (9)$$

Найдем уравнения (8a) и (8б) для момента времени $t_1 = L_1 - 2a$ (т.е. считаем аргумент еще на время a):

$$\frac{dv_x}{dt} = -E_1 v_x^2 - C_1 v_x^2 - L_1 v_x^3 \quad (10a)$$

$$\frac{dv_x}{dt} = -E_1 v_x^2 - C_1 v_x^2 - L_1 v_x^3 \quad (10b)$$

и которых v_x играет роль скорости v_x , отнесенной к периоду $L_1 - 2a$. Из уравнения (10a) имеем

$$v_x^2 = -\frac{1}{L_1} \left(\frac{dv_x}{dt} + E_1 v_x^2 + C_1 v_x^2 \right) \quad (11)$$

* Д. Гандер и Д. Фриант, Стабильность потока в реакторе диметил-вопрос реакторной техники, Сб. совещательных переводов, вып. 1, ИЛ, 1961.

и во уравнении (8a)

$$v_x^2 = -\frac{1}{L_1} \left(\frac{dv_x}{dt} + E_1 v_x^2 + C_1 v_x^2 \right) \quad (12)$$

Подставим уравнения (11) и (12) в уравнение (10b):

$$L_1 \frac{dv_x^2}{dt} = E_1 \left(\frac{dv_x}{dt} + E_1 v_x^2 + C_1 v_x^2 \right) +$$

$$+ C_1 \left(\frac{dv_x}{dt} + E_1 v_x^2 + C_1 v_x^2 \right) - L_1 v_x^3 \quad (13)$$

Подставим уравнение (13) в уравнение (9):

$$\frac{dv_x^2}{dt} + E_1 \frac{dv_x^2}{dt} = -C_1 \frac{dv_x^2}{dt} - E_1 \left(\frac{dv_x}{dt} + E_1 v_x^2 + C_1 v_x^2 \right) -$$

$$- C_1 \left(\frac{dv_x}{dt} + E_1 v_x^2 + C_1 v_x^2 \right) + L_1 v_x^3;$$

здесь отсутствует скорость с нижним воз. Группируя члены, получим

$$\frac{dv_x^2}{dt} + (E_1 + E_1) \frac{dv_x^2}{dt} + E_1 E_1 v_x^2 = -(C_1 + C_1) \frac{dv_x^2}{dt} -$$

$$- (E_1 C_1 + E_1 C_1) v_x^2 - (C_1 C_1 - L_1) v_x^3 \quad (14)$$

а поскольку $C_1 C_1 - L_1 = 0$ (в чем легко убедиться, если подставить выражения каждого члена уравнения), то

$$\frac{dv_x^2}{dt} + (E_1 + E_1) \frac{dv_x^2}{dt} + E_1 E_1 v_x^2 =$$

$$= -(C_1 + C_1) \frac{dv_x^2}{dt} - (E_1 C_1 + E_1 C_1) v_x^2,$$

или

$$\frac{dv_x^2}{dt} + p \frac{dv_x^2}{dt} + v_x^2 + v_x^2 = 0 \quad (15)$$

где $p = E_1 + E_1 > 0$; $z = C_1 + C_1$; $v = E_1 E_1 > 0$; $\tau = E_1 C_1 + E_1 C_1$.

Уравнение (15) представляет собой дифференциальное уравнение второго порядка с запаздывающим аргументом, причем в стандартную провозающую этот аргумент не входит.

Исследование уравнения запаздывающего движения. Необходимым условием устойчивости системы является отсутствие бесконечно нарастающих со временем частных решений поучительно дифференциального уравнения (15).

Эти частные решения можно составить на стандартном виде $v' = C_1 z^{\frac{1}{2}}$, следовательно $v_1 = v_1 - C_1 z^{\frac{1}{2}} = C_2 z^{\frac{1}{2}} e^{-t}$.

1.3. Подстановка v' в уравнение $v'' - \epsilon v' = 0$ (15) после подстановки этих параметров v_1 и v_2 в уравнение (15) получим следующее характеристическое уравнение, которое должно удовлетворять условиям z (z — корень характеристического уравнения):

$$\frac{z^2}{2} + p \frac{z}{2} + 1 - \epsilon \frac{z}{2} e^{-t} + \epsilon t^{-1} = 0$$

$$z^2 + Mz + N + e^{-t}(S_1 + T) = 0, \quad (16)$$

где $M = 2p > 0$, $N = 2 > 0$, $S = \epsilon t > 0$, $T = \epsilon t^{-1} > 0$. Выражения для M , N , S и T можно записать ниже. Введем обозначения

$$H_1 = \alpha E_1, \quad B_1 = \alpha E_2, \quad H_2 = \alpha C_1, \quad H_3 = \alpha C_2,$$

Клоузюга (8а) и (8б), запишем

$$B_1 = \alpha_1 \frac{1}{t^2} \left(\frac{d_1}{d_2} \right)^2 \left[1 + \epsilon_1 \frac{1}{d_1} \left(\frac{d_1}{d_2} \right)^2 \right];$$

$$B_2 = \alpha_2 \frac{1}{t^2} \left(\frac{d_2}{d_1} \right)^2 \left[1 + \epsilon_2 \frac{1}{d_2} \left(\frac{d_2}{d_1} \right)^2 \right];$$

$$H_1 = \frac{K_1}{t} \frac{a}{t} \left(\frac{d_1}{d_2} \right)^2 \frac{P_{1,c}}{v_{1,c}};$$

$$H_2 = \frac{K_2}{t} \frac{a}{t} \left(\frac{d_2}{d_1} \right)^2 \frac{P_{2,c}}{v_{2,c}};$$

где ниже, в соответствии с уравнениями (9) и (17)

$$B_1 = 2 \frac{\epsilon d_1^2 a}{G_1 v_1^2}, \quad v_{1,c} = 2 \frac{\epsilon d_1^2 a}{G_1 v_1^2}, \quad v_{2,c} = 2 \frac{\epsilon d_2^2 a}{G_2 v_2^2},$$

$$H_1 = K_1 \frac{\epsilon d_1^2 a}{G_1 v_1^2}, \quad H_2 = K_2 \frac{\epsilon d_2^2 a}{G_2 v_2^2}, \quad P_{1,c} = \frac{\epsilon d_1^2 a}{G_1 v_1^2}, \quad P_{2,c} = \frac{\epsilon d_2^2 a}{G_2 v_2^2}, \quad (18)$$

24

где $G_1 = G_1 v_1^2$, $G_2 = G_2 v_2^2$ — секундный весовой расход кислорода; $v_{1,c} = G_1 v_1^2$, $v_{2,c} = G_2 v_2^2$ — секундный расход кислорода; $v_{1,c} = P_{1,c} - P_{1,c}$ — период движения на формуле кислорода; $v_{2,c} = P_{2,c} - P_{2,c}$ — период движения на формуле кислорода;

$$K_1 = \frac{G_1 \epsilon d_1^2 a}{P_{1,c} v_1^2}, \quad K_2 = \frac{G_2 \epsilon d_2^2 a}{P_{2,c} v_2^2}.$$

Оценим далее решение

$$M = B_1 + B_2, \quad S = H_1 + H_2, \quad T = B_1 H_1 + B_2 H_2, \quad (19)$$

Для решения уравнения (16) найдем $z = s + it$, тогда выразим для v' параметр z

$$v' = C_1 z^{\frac{1}{2}} e^{-t} = C_2 z^{\frac{1}{2}} e^{-t} \left(\cos \frac{t}{2} + i \sin \frac{t}{2} \right).$$

Откуда видно, что возможны три случая колебаний:

- 1) $s/\epsilon > 0$ — колебания сходятся криволинейно (возмущение v' возрастает) и, следовательно, система устойчива;
 - 2) $s/\epsilon < 0$ — колебания затухают экспоненциально, которые в настоящей статье не рассматриваются; так как из-за неустойчивости возмущения возможны переходы уравнения (16) с малой осью на ось v' или правую полуоси v' . Рассматривая приведенные выше три случая колебаний можно сделать вывод, что если уравнение (16) имеет корни z с положительной действительной частью, то система неустойчива, если же с отрицательной, то система устойчива.
- Такой образок для устойчивости рассмотрим в правой полуоси v' . Такие образки для устойчивости в правой полуоси v' имеют вид (16) не имеют корней, расположенных в правой полуоси v' . Значения z чисел iz и выражение v' через $\text{ctg} \frac{t}{2}$, преобразуем уравнение (16).

По формулам Эйлера

$$\cos \frac{z}{2} = \frac{e^{-\frac{iz}{2}} + e^{\frac{iz}{2}}}{2},$$

$$\sin \frac{z}{2} = \frac{e^{-\frac{iz}{2}} - e^{\frac{iz}{2}}}{2i},$$

построим

$$\text{ctg} \frac{z}{2} = \frac{e^{-\frac{iz}{2}} + e^{\frac{iz}{2}}}{e^{-\frac{iz}{2}} - e^{\frac{iz}{2}}} = i \frac{e^{iz} + 1}{e^{iz} - 1},$$

откуда

$$\text{ctg} \frac{z}{2} = \frac{e^{iz} + 1}{e^{iz} - 1}, \quad \text{ctg} \frac{z}{2} = -i.$$

25

По-прежнему z осью iz заменим уравнение (16) в виде

$$-z^2 + Mz + N - (5z + T)z^{-1} = 0.$$

Выразим z^2 через логарифм, найдем

$$\operatorname{ctg} \frac{z}{2} + i \frac{(N - z^2 - T) \pm i(M - 5)z}{(T - z^2 - T) \pm i(M + 5)}$$

или

$$\operatorname{ctg} \frac{z}{2} + Q(z) = F(z) = 0,$$

где

$$Q(z) = i \frac{(N - z^2 - T) \pm i(M - 5)z}{(T - z^2 - T) \pm i(M + 5)},$$

Выделив действительную и мнимую части у функции $Q(z)$, получим

$$Q(z) = \varphi(z) + i\psi(z),$$

т.е.

$$\varphi(z) = \frac{2zTM - 5(N - z^2)}{(N - z^2 - T) \pm z^2(M - 5)},$$

$$\psi(z) = \frac{(N - z^2 - T) \pm z^2(M - 5)}{(N - z^2 - T) \pm z^2(M - 5)}.$$

Функции $\varphi(z)$ и $\psi(z)$ — рациональные функции, принимающие какие-либо значения при действительных значениях z .

Теперь уравнение (16) можно представить в таком виде

$$\operatorname{ctg} \frac{z}{2} + \varphi(z) - i\psi(z) = F(z) = 0. \quad (20b)$$

При замене z числом iz уравнение (16) превращается в уравнение (20b), при этом корни, расположенные в правой полуплоскости, соответственно переходят в левую полуплоскость.

Таким образом, определенное число лежащих в правой полуплоскости корней уравнения (16), рациональное отношение φ к z да корням уравнения (20b), лежащих в нижней полуплоскости и, т. д. Полная функция $\operatorname{ctg} z/2$ обделена этим контуром при помощи контура Γ в вопросе: при каких условиях система устойчива, сводится к вопросу: при каких условиях уравнение (20b) не имеет корней в нижней полуплоскости.

Для определения числа корней уравнения (20b), лежащих в нижней полуплоскости, рассмотрим контур, изображенный на фиг. 3. На вещественной оси функция $F(z)$ будет иметь полюсы в точках z_1 и z_2 . Если функция $F(z)$ будет иметь полюсы в точках z_1, z_2, z_3, z_4, z_5 , то контур Γ обделен этим контуром при помощи контура Γ в вопросе: при каких условиях система устойчива, сводится к вопросу: при каких условиях уравнение (20b) не имеет корней в нижней полуплоскости.

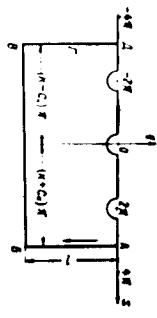
Число корней функции $F(z)$, расположенных в нижней полуплоскости, равно полюсу z , которому стремится число подынтегральных, которое делает вектор, изображающий функцию $F(z)$, при об-

ходе контура, когда число l в k стремится к бесконечности и радиус R контура Γ стремится к нулю, как число полюсов функции $F(z)$, лежащих в нижней полуплоскости.

Как впервые показал Н. В. Савинкин*, а затем усовершенствовал Е. М. Есипович**, формула для подсчета числа нулей у функции $F(z)$ в нижней полуплоскости выглядит так:

$$N = \frac{1}{2} (U - n) + m + P, \quad (21)$$

применя для устойчивости системы выражение (21) должно быть равно нулю. В этой формуле



Фиг. 3

N — число нулей функции (для устойчивой системы $N=0$, для неустойчивой $N \neq 0$);

l — порядок полюса в бесконечно удаленной точке рациональной части $Q(z)$ функции $F(z)$;

$$Q(z) = \varphi(z) + i\psi(z) = \sum_{k=1}^l a_k z^k.$$

применя

l — число пересечений вектором $F(z)$ вещественной оси при обходе контура Γ вдоль $ABCD$ (число l равно разности верхней и нижней частей и называется функцией $Q(z)$; в нашей задаче $l=0$);

n — число пересечений вектором $F(z)$ вещественной оси при движении от D к A вдоль прямолинейных отрезков контура Γ ;

$$n = \sum_{j=1}^n \operatorname{sign} \left[\frac{1}{R} F'(0) \right] - \sum_{j=1}^n \operatorname{sign} \left[\frac{1}{\operatorname{ctg} \frac{z}{2} + \varphi(0)} \right].$$

* Н. В. Савинкин, Определение числа корней, лежащих в правой полуплоскости для функции вида $F(z)$, где $F(z)$ — рациональная функция от $\operatorname{ctg} z/2$ и z , в приложении к журналу «Известия Академии наук СССР. Серия физико-математическая» 1964 г., № 10, с. 1000.

** Е. М. Есипович, Об определении устойчивости систем автоматического управления, т. XV, вып. 6, АН СССР, 1961.

где $i = \sqrt{-1}$; действительные корни уравнения $\psi(z) = 0$:

$$\psi(z) = z^2(0) = \frac{25(N^2 - 6) - 7M}{2(N^2 - 6) - 7M} + 5N$$

$$\psi(z) = \psi(1) = \frac{(N^2 - 6) - 7T - 6(M^2 + 5)}{N^2 - 6 - 7T} + 6(M^2 + 5)$$

m — число полюсов стиг $z/2$, в которых $\psi(2z) < 0$ (при обходе по полуокружности каждого такого полюса получаем для решения вещественной оси, т. е. один полный оборот вправо $F(z)$);

P — число полюсов функции $Q(z)$ в нижней полуплоскости; оно равно числу корней n знаменателя, лежащих в нижней полуплоскости.

Формула (21) верна тогда, когда функция $Q(z)$ не имеет нулей и полюсов на вещественной оси.

Прежде чем исследовать функцию $Q(z)$, функцию $Q(z)$ на вещественной оси ($y = 0$) обращается в нуль при условии:

$$\psi(z) = z^2(x) = \frac{2x(7M - 8(N^2 - 5))}{(N^2 - x^2 + 7T + x^2(M^2 + 5))} = 0, \quad (22)$$

$$\psi(z) = \psi(x) = \frac{(N^2 - x^2)^2 - 7T + x^2(M^2 + 5)}{(N^2 - x^2 + 7T + x^2(M^2 + 5))} = 0, \quad (23)$$

Совместное решение уравнений (22) и (23) дает следующие условия применимости формулы (21):

$$M \neq T \text{ и } (M^2 - 8T^2 + 8NS - 8MTS) \neq 0.$$

Теперь покажем, что функция $Q(z)$ не имеет полюсов на вещественной оси ($y = 0$). Для этого знаменатель функции $Q(z)$ приравняем нулю и решим оквадратное уравнение

$$x^4 + (M + S)x^2 - 2N(x^2 + M^2 + T^2) = 0,$$

откуда получаем

$$(x^2)_{1,2} = \frac{(M + S)x^2 - N \pm \sqrt{(M + S)^2 \left(\frac{M + S^2}{4} - N \right) - T^2}}{2}$$

По виду полученного выражения трудно сказать, будут ли корни уравнения иметь нулевые решения. Однако отметим, что функция $Q(z)$ на действительной оси не имеет полюсов в очень редких случаях. Разберем другой возможный случай, когда числитель и знаменатель $Q(z)$ одновременно обращаются в нуль. В этом случае $\lim_{z \rightarrow x} \psi(x) = 0$ и $\lim_{z \rightarrow x} \psi(x) = 1$, и, следовательно, функция $Q(z)$ не имеет полюсов при $z = x$.

Забьемся определить величины P , m и n , входящих в выражение (21).

1. Определим числа полюсов P в нижней полуплоскости функции $F(z)$. Как показано в работе

76

И. В. Самарина, функция стиг $z/2$ не имеет полюсов в области полуплоскости, лежащей в уравнении (20a) подложки исследуемому только функции $Q(z)$.

Выпишем знаменатель этой функции:

$$Q(z) = i \frac{(N^2 - z^2 - T) + i(M^2 - 5)z}{(N^2 - z^2 - T) + i(M^2 + 5)z}$$

Посмотрим, где расположены полюсы этой функции. Для этого приравняем нулю знаменатель дроби $(N^2 - z^2 - T) + i(M^2 + 5)z = 0$, откуда

$$z = \frac{M + 5}{2} \pm i \sqrt{N + T - \left(\frac{M + 5}{2}\right)^2}. \quad (24)$$

Здесь возможны два значения корня z :

- 1) $N + T > \left(\frac{M + 5}{2}\right)^2$, тогда векторы z_1 и z_2 будут расположены в верхней полуплоскости и, следовательно, корни в нижней полуплоскости отсутствуют. Поэтому число полюсов P , расположенных в нижней полуплоскости, считаем равным нулю;
- 2) $N + T < \left(\frac{M + 5}{2}\right)^2$, тогда оба члена выражения для z мнимые.

При этом если векторы z_1 и z_2 будут расположены в верхней полуплоскости, то число полюсов P равно нулю, если один из векторов (z_1 или z_2) окажется в нижней полуплоскости, тогда число полюсов P равно единице.

2. Определим величину m . Для определения вещественных корней (1a) функции $\psi(z) = 0$ приравняем ее числитель нулю, тогда получим следующее оквадратное уравнение:

$$(N - z^2)^2 - 7T + 4(M^2 - 5)z = 0,$$

откуда

$$(z^2)_{1,2} = \frac{2N + S^2 - M^2 \pm \sqrt{(2N + S^2 - M^2)^2 + 7^2 - N^2}}{2}$$

и, следовательно,

$$z_{1,1} = + \sqrt{\frac{2N + S^2 - M^2}{2} + \sqrt{\left(\frac{2N + S^2 - M^2}{2}\right)^2 + 7^2 - N^2}}$$

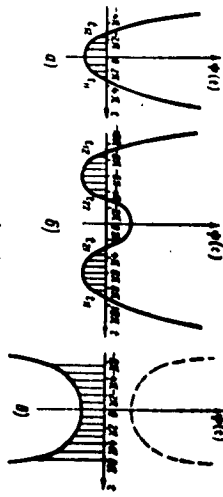
$$z_{1,2} = + \sqrt{\frac{2N + S^2 - M^2}{2} - \sqrt{\left(\frac{2N + S^2 - M^2}{2}\right)^2 + 7^2 - N^2}} \quad (25)$$

$$z_{2,1} = -z_{1,1}$$

$$z_{2,2} = -z_{1,2}$$

76

Возможны случаи, когда все четыре корня (25) будут действительными для двух корней будут действительными и для остальных, для остальных будут мнимыми.
 Показано, что m — число корней $\psi(t) < 0$, полученных в интервале $t_1 < t < t_2$, где t_1, t_2 — корни уравнения $\psi(t) = 0$.
 Если $\psi(t) < 0$, то $m = \infty$ (см. фиг. 4, в, сплошная кривая), и на уравнении (25) получаем $N^2 - T^2 < 0$.
 Если $\psi(t) > 0$, то $m = 0$ (см. фиг. 4, в, пунктирная кривая), и на уравнении (25) получаем $N^2 - T^2 > 0$.



Фиг. 4

1) если бина квадратное уравнение имеет два действительных корня (см. фиг. 4, а), то

$$m = 2 \left\lfloor \frac{t_1}{2\epsilon} \right\rfloor + 1; \quad (26a)$$

2) если бина квадратное уравнение имеет четыре действительных корня (см. фиг. 4, б), то

$$m = 2 \left\lfloor \frac{t_1 - t_2}{2\epsilon} \right\rfloor; \quad (26b)$$

3) — знак первой части (например, $\lfloor 3/2 \rfloor = 1$):

то надо подложить, где располагается функция $\psi(t)$: если $\psi(t) > 0$, то значит $m = 0$ (см. фиг. 4, в, пунктирная кривая) и на уравнении (25) подстановкой $x = t = 0$ получаем

$$N^2 - T^2 > 0. \quad (26в)$$

Если $\psi(t) < 0$, то $m = \infty$ (см. фиг. 4, в, сплошная кривая), и на уравнении (25) получаем

$$N^2 - T^2 < 0. \quad (26г)$$

3. Определены величины n . Как показано в работе И. В. Смирнова,

$$n = \sum_{l=1}^L \text{sign} \left(\frac{d^l \psi(t)}{dt^l} \Big|_{t=t_l} \right)$$

7.28

$$\psi(t) = \frac{2\epsilon^2(N - \epsilon) - T^2 M}{(N - \epsilon + T^2 + \epsilon(M + S)^2)}$$

$$\psi(t) = \frac{(N - \epsilon) - T^2 + \epsilon(M - S)^2}{(N - \epsilon + T^2 + \epsilon(M + S)^2)}$$

Следовательно,

$$\frac{d}{dt} \psi(t) = 2\epsilon \frac{[(N - \epsilon + T^2 + \epsilon(M + S)^2)(M - S) - (N - \epsilon)T]}{(N - \epsilon + T^2 + \epsilon(M + S)^2)^2}$$

$$= 4\epsilon \frac{N(MS + S^2 - T^2) + 2\epsilon T(N + T) + (N + T)(MS + S^2 - T^2) - N(S^2 + T^2) - (N - \epsilon)T}{(N - \epsilon + T^2 + \epsilon(M + S)^2)^2}$$

Подставив $\psi(t)$ и $(d/dt)\psi(t)$ в выражение для n и отбросив во вновь полученной после соответствующих преобразований выражений величину

$$4 \frac{(N - \epsilon + T^2 + \epsilon(M + S)^2)}{(N - \epsilon + T^2 + \epsilon(M + S)^2)^2}$$

которая не влияет на перемену знака, окончательно запишем

$$n = \sum_{l=1}^L \text{sign} \left\{ \frac{N(MS + S^2 - T^2) + 2\epsilon T(N + T) + (N + T)(MS + S^2 - T^2) - N(S^2 + T^2) - (N - \epsilon)T}{(N - \epsilon + T^2 + \epsilon(M + S)^2)^2} \right\}_{t=t_l} \quad (27)$$

Из формулы (27) видно, что число перемен знаков может зависеть в зависимости от значений величин M, N, S и T , а также от числа и величины действительных корней (25).

Используя полученные выражения для m и n и учитывая, что при наших данных $f = 0$, запишем в окончательной форме критерий устойчивости ЖРД (21) для трех случаев:

1) случай, когда бина квадратное уравнение $(N - \epsilon)^2 - T^2 + \epsilon(M - S)^2 = 0$ имеет два действительных корня:

$$P + 2 \left\lfloor \frac{t_1}{2\epsilon} \right\rfloor + 1 - \frac{1}{2} \sum_{l=1}^L \text{sign} X$$

$$X = \left\{ \frac{N(MS + S^2 - T^2) + 2\epsilon T(N + T) + (N + T)(MS + S^2 - T^2) - N(S^2 + T^2) - (N - \epsilon)T}{(N - \epsilon + T^2 + \epsilon(M + S)^2)^2} \right\}_{t=t_l} = 0. \quad (28a)$$

2) случай, когда это бинарное уравнение имеет четыре действительных корня:

$$P+2\left|\frac{5n-2n}{2}\right| - \frac{1}{2} \sum_{i=1}^4 \text{sign } X$$

$$X = \frac{1}{(N-T) \pm \sqrt{(N-T)^2 - 4M}} \left[\frac{1}{2} \left(\frac{1}{N-T} \pm \sqrt{(N-T)^2 - 4M} \right) \left(\frac{1}{2} \left(\frac{1}{N-T} \pm \sqrt{(N-T)^2 - 4M} \right) \pm \sqrt{\frac{1}{4} \left(\frac{1}{N-T} \pm \sqrt{(N-T)^2 - 4M} \right)^2 - 4M} \right) \right] - 1 \quad (286)$$

3) случай, когда это бинарное уравнение имеет все четыре корня мнимыми (при этом выражение (27) получает значение $\alpha=0$). Если $\psi(1) > 0$, то $m=0$ и для устойчивости системы необходимо выполнить условие

$$N^2 - T^2 > 0, \quad (287)$$

(если $\psi(1) < 0$, то $m=0$ и $N-T < 0$ — система неустойчива).

Здесь f_1 — действительные корни бинарного уравнения, но-
 P — число корней, равное числу корней с отрицательными коэффициентами при нижней части, определенных по формуле (24);
 M, N, S, T — величины, входящие в выражения (19), определяются конструктивными параметрами, а также функцией проводки строения α .

Примеры. Рассмотрим следующий пример (данные записаны по работам Д. Галдера и Д. Фринта *):

$$\begin{aligned} \alpha &= 8 \cdot 10^{-4} \text{ сек}; & K_1 &= 0,6; \\ F_1 &= 0,389 \text{ см}^2; & l_1 &= 61 \text{ см}; \\ F_2 &= 0,66 \text{ см}^2; & l_2 &= 61 \text{ см}; \\ A_1 &= 3,557 \text{ кг/см}^2; & P_{12} &= 35,57 \text{ кг/см}^2; \\ A_2 &= 3,557 \text{ кг/см}^2; & Q_1 &= 0,1656 \text{ кг/сек}; \\ K_1 &= 0,4; & Q_2 &= 0,28804 \text{ кг/сек}. \end{aligned}$$

Из выражений (18) определяем

$$\begin{aligned} B_1 &= 2,13; & H_1 &= 4,26; \\ B_2 &= 2,08; & H_2 &= 6,24. \end{aligned}$$

* Д. Галдер и Д. Фринт. Среднечастотная теория вращательных колебаний. Вопросы ракетной техники, Сб. сообщений института, вып. 1, МД, 1961

Согласно (19) имеем

$$\begin{aligned} M &= B_1 + B_2 = 4,21; & S &= H_1 + H_2 = 10,5; \\ N &= B_1 B_2 = 4,43; & T &= B_1 H_1 + B_2 H_2 = 23,2. \end{aligned}$$

По формуле (24) находим $z = 7,36 \pm 5,58i$, откуда $f_1 = 12,69$ и $f_2 = 2,11$, т. е. оба корня расположены в правой полуплоскости, поэтому

$$P = 0.$$

По формулам (25) определяем

$$\begin{aligned} f_{11} &= 15,3; & f_{12} &= 5,65; \\ f_{21} &= -15,3; & f_{22} &= -5,65. \end{aligned}$$

Так как получены два действительных корня, то используем уравнение (28а), для которого получим

$$\frac{2}{2} \left| \frac{f_{11}}{2} \right| = 2 \left| \frac{15,3}{2} \right| = 2 \cdot 7,65 = 15,3 = 4.$$

при $f_{11} = 15,3$

$$\text{sign} \frac{f_{11} \left(\sqrt{1 + 88,15} \pm 1184,7 \pm 2683 \right)}{(28,63 - 4,17) \pm 21,76 \pm 10,5(4,43 - 4,17) - 69,54} =$$

$$= \text{sign} \frac{15,3(-458,000)}{-69,54} = \text{sign}(-19,320) = -1$$

$$= \text{sign} \frac{111,300 - 74,900}{-69,54} = \text{sign}(-19,320) = -1$$

и при $f_{12} = -15,3$

$$\text{sign} \frac{f_{12} \left(\sqrt{1 + 88,15} \pm 1184,7 \pm 2683 \right)}{(28,63 - 4,17) \pm 21,76 \pm 10,5(4,43 - 4,17) - 69,54} =$$

$$= \text{sign} \frac{69,54}{-111,300 + 74,900} = \text{sign}(-19,320) = -1.$$

Сумма знаков (2 sign) равна $[-1 + (-1)] = -2$.
 Подставим все найденные величины в уравнение (28а), получим $6 \neq 0$, т. е. критерий устойчивости не выполняется, поэтому данная система неустойчива.
 Именные параметры системы следующим образом (оставим остальные без изменений):

$$\begin{aligned} F_1 &= 0,162 \text{ см}^2; & A_1 &= 22,082 \text{ кг/см}^2; \\ F_2 &= 0,274 \text{ см}^2; & A_2 &= 22,032 \text{ кг/см}^2; \\ B_1 &= 6,48; & H_1 &= 1,768; \\ B_2 &= 5,35; & H_2 &= 2,99. \end{aligned}$$

откуда

$$M = 10,63; \quad S = 4,36;$$

$$N = 29,2; \quad T = 28,7;$$

Далее:

$$P = 0, \text{ так как } z = 14,6i + 12,6j$$

(откуда $z_1 = -27,2i$ и $z_2 = 2j$)

$$f_1 = 3,3i; \quad f_2 = 5,5i;$$

$$f_3 = -3,3i; \quad f_4 = -5,5i;$$

Все корни оказались мнимыми. Составим (286) получим $N: T = 29,2:28,7 > 0$, т. е. $\psi(t) > 0$, значит $m = 0$. Поэтому в уравнении (21) величини m, n и P равны нулю. Следовательно, критерий устойчивости (21) выполняется и система имеет устойчивый характер.

ВЫВОДЫ

1. Представленная методика может быть использована для определения критерия устойчивости работы ЖРД с раздельной подачей горючего и окислителя.
2. Если выполняются равенства выражений (28а, б, в), то система устойчива только при малых отклонениях возмущений δ' и при условии, что соблюдаются следующие неравенства:

$$M \neq T; \quad (MT - S^2) (T^2 + MS - MT^2) \neq 0.$$

В случае, когда все четыре корня уравнений (25) получаются действительными, то надо пользоваться выражениями (28а), когда два корня действительных и два мнимых — выражениями (28б). В случае, когда все четыре корня оказываются мнимыми (при этом $m = 0$), нужно посмотреть, где располагается функция $\psi(t)$.

Если $\psi(t) > 0$, то $m = 0$ и для устойчивости системы необходимо выполнить условия $M^2 - T^2 > 0$ и $P = 0$.
Если $\psi(t) < 0$, то $m = \infty$ и $M^2 - T^2 < 0$ — в этом случае система неустойчива.
3. Приведены примеры, на которых показано, каким образом пользоваться этими критериями.

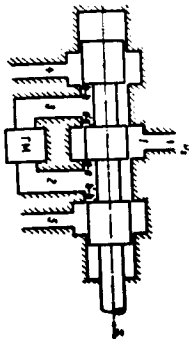
ЛИТЕРАТУРА

1. Галлер Д. и Фрианд Д. Стабильность полета в ракетной динамике. Вопросы ракетной техники, Обобщенный перевод, вып. 1, ИЛ, 1951.
2. Еспонов Е. М. Об устойчивости решений одного класса дифференциальных уравнений с запаздывающим аргументом, сб. докладов и сообщений, т. XV, вып. 5, АН СССР, 1951.
3. Яковлев В. В. Об устойчивости члена корня джетаки в прямой постановке задачи Коши. Доклады Академии наук СССР, т. 158, вып. 1, 1968.
4. Прохоров А. В. и другие. Применение результатов исследования амплитудного регулирования паровых турбин, Известия Казанского филиала АН СССР, Серия физико-математических и технических наук, вып. 1, 1948.

ОПРЕДЕЛЕНИЕ ОСЕВОЙ ГИДРОДИНАМИЧЕСКОЙ СИЛЫ НА ЗОЛОТНИКАХ ГИДРАВЛИЧЕСКИХ СЕРВОМЕХАНИЗМОВ

Авторы: Ю. Е. ЗАХАРОВ

На золотниках гидравлических сервомеханизмов в направлении продольной оси (оси x) действуют, кроме пожимая сила, порождаемая золотником, силы сопротивления, препятствующие его перемещению. Силы сопротивления в направлении оси x состоят из трех основных компонентов — силы инерции, силы трения и гидравлической силы, вызываемой давлением струи движущейся жидкости на искривленную поверхность.



Фиг. 1. Сила гидравлического ускорения инерции.

Определение осевой составляющей гидродинамической силы является целью настоящей работы. Прямые гидравлические силы необходимо для расчета гидравлических усилителей жидкостных гидравлических усилителей регуляторов. Ниже в качестве примера нагидравлический усилитель мощности. Рассмотрим работу гидроусилителя, который имеет вид, показанный на фиг. 1. При перемещении искривленного золотника влево на величину x рабочая жидкость поступает на трубопровода 1, подает через орло в-д, далее по трубопроводу 2 в полость нагнетания, затем через гидроопор, через трубопровод 3 подает опять в полость золотника и через орло в-д уходит в трубопровод 4 на слив.

При исследовании вращающегося золотого зеркала на желтых лучах $\lambda = 580$ нм, в гидротрубопроводе (через окна $d = 1$ и $d = 2$ в трубопроводе 5 на рис. 2) — в окошко $d = 1$ на трубопроводе 5 на рис. 2).

Оценку на всех лучах жидкости вращающегося зеркала можно сделать по величине, так и по направлению, причем особенно резко она меняется при прохождении жидкости через рабочее окно.

Решение статического задания: предположим, что жидкостный поток излучает световые лучи на величину λ . Это перемещение λ будет называться осевым излучением. Поток жидкости считается установившимся стационарным потоком вязкой жидкости. При такой постановке задачи ее ставим возможным решить, поэтому, нецелесообразно задачу нам.

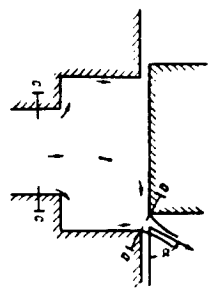
1. Жидкость принимаем идеальной, т. е. невязкой и несжимаемой, что допустимо справедливо, так как, проходя через узкую щель, жидкость сильно нагревается и вязкость ее падает. Область вращающихся давлений Δp невелика ($1-10$ ат), поэтому считать можно не учитывать.

2. Заменяем пространственным, задачу протекания жидкости через рабочее окно плоской. Это справедливо, так как ширина сравнительно с длиной окна, при кольцевом окне очень мала по сравнению с $L = \pi(D + \delta)$ (D — диаметр рабочего окна его длина равна диаметру, δ — радиус рабочего борта золотника). Ищем линию окна симметричную.

3. Предполагаем, что поток — квазиламинарный, в области входа и около выхода из него. Это справедливо, так как обычно при входе жидкости поток сужается и только незначительная часть энергии переходит в кинетическую энергию вращения, большая часть — в вихревую энергию статического напора.

4. Вводимыми силами, т. е. силами гидростатического давления, рассмотрим картину течения жидкости в области входа в окошко и при выходе из него (рис. 2).

Жидкость поступает через сечение s с в камеру V и поступает через окошко $a-a$. Скорости жидкости в двух сечениях обратны пропорционально площади этих сечений. Сечение $a-a$ очень мало по сравнению с сечением s , поэтому можно считать, что скорость течения в сечении $a-a$ очень мала. Тогда следует определить характер течения жидкости за окошком $a-a$, зная, что течение в области окошка ламинарное. При статическом допущении задача сводится к задаче о струйном течениях плоского истечения невязкой несжимаемой жидкости на бесконечно большом расстоянии через отверстие с острым краем канала. Требуется определить скорость течения в сечении $a-a$.

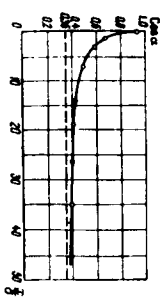


Фиг. 2. Схема течения в области рабочего окна

В действительности отрыв реальной жидкости происходит при входе только вихревого слоя, образуемого вращением контура и называемого *интердикционным* слоем. Поверхность параболы в реальной жидкости не уходит в бесконечность, а достигает некоторой конечности вследствие затухания вихрей. Зная поворот зазора, можно вычислить движение. Изобретения на это, теории Кирхгофа дает хорошие совпадения с экспериментом при ламинарном и квазиламинарном течениях.

Вектор скорости потока в бесконечности направлен в плоскости течения под некоторым углом к оси x движения. Испытывая инерционное сопротивление. Величина этого угла α для случая острых кромок теоретически найдена немецким ученым Миссом и экспериментально определена на поворочной модели (в Маселуэжском технологическом институте) учеными Бексбургом и Ли. Мисс предположил, что при среднем осевом зазоре x к бесконечности, $\alpha \approx 69^\circ$.

Бексбург и Ли дали график $\cos \alpha = f(x/\delta)$, которым будем пользоваться в дальнейшем (фиг. 3).

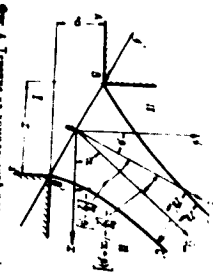


Фиг. 3. Зависимость $\cos \alpha$ от параметра x/δ

Прямые отрезки часто течения за бесконечность комплексного течения Z и Z' . Две точки левую течения по фиг. 4

Прямые отрезки часто течения за бесконечность комплексного течения Z и Z' . Две точки левую течения по фиг. 4

Прямые отрезки часто течения за бесконечность комплексного течения Z и Z' . Две точки левую течения по фиг. 4



Фиг. 4 Течение на комплексной плоскости Z'

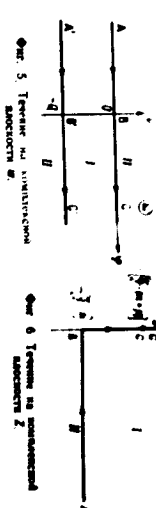
Из сделанному выше допущению можно считать, что в точке A скорость $v_A = 0$. Других критических точек нет вдоль линии тока, причём $\lim_{v \rightarrow \infty} v = 0$, при стремлении по линии тока в бесконечность. Значит потенциал скорости ψ меняется вдоль линии тока ABC от $\psi = -\infty$ в точке A до $\psi = +\infty$ в точке C , проходя через $\psi = 0$ в точке B . Известно, что разность потенциалов между двумя точками кривой не зависит от формы кривой и равен разности значений функции тока в этих точках. Следовательно, линия тока ABC есть линия тока $\psi = 0$. Аналогично покажем, что в точке B' потенциал $\psi = 0$ и от 0 до $+\infty$.

Итак, области течения I плоскости комплексного переменного Z' соответствуют бесконечная полоса шириной $(0-\infty)$. Очевидно, если плоскости Z' на плоскую плоскость преобразовать область течения I надлежит контур заданным потенциалом будет решена.

где Z' — комплексная скорость Z' в точке Z , равная по величине длине направленной в направлении течения дуги окружности. Так как отрезок AB не принадлежит ни одному из преобразованных отрезков AB и $A'B'$, то показав, что $|v| = |v'|$, так θ угол между отрезком AB и вектором v , тогда

$$Z = \ln \frac{v}{v'} - \theta$$

Рассуждая, но что преобразуется область течения I в плоскости Z' на плоскости Z , $v = v' e^{i\theta}$. На линии AB $\theta = \pi/2$.



Фиг. 5 Течение на комплексной плоскости Z'

Фиг. 6 Течение на комплексной плоскости Z

в точке A $|v| = 0$; $\ln|v| = \ln|v'| = -\infty$.
 По линии BC угол θ меняется от $-\pi/2$ до $-\pi/2 - (\alpha + \beta)$.
 $|v| = |v'| e^{-i(\alpha + \beta)}$; $\ln v = \ln v' - i(\alpha + \beta)$.
 На линии $A'B'$ $\theta = 0$; $\ln|v| = \ln|v'| = 0$.
 На линии $B'C'$ угол θ меняется от β до $-\pi/2 - (\alpha + \beta)$; $|v| = |v'| e^{i\beta}$.
 В точке C и C'
 $v = -\frac{v'}{2} - (v' + \beta)$; $|v| = |v'| e^{i\beta}$; $\ln|v| = \ln|v'| = 0$.

На плоскости Z области течения I плоскости Z' соответствует бесконечный треугольник, т. е. треугольник, одна из вершин которого лежит в бесконечности (фиг. 6).

Чтобы найти связь между Z и Z' , введем новую комплексную переменную ζ . Преобразуем бесконечный треугольник плоскости Z на верхнюю полуплоскость ζ . Это преобразование дается формулой Шварца—Кристоффеля, которая для бесконечного треугольника имеет вид

$$Z = A \int (t-i)^{-\frac{1}{2}} (t+i)^{-\frac{1}{2}} dt + B,$$

где A, B — углы при вершине треугольника.

$$dx = d\alpha + r dy.$$

$$d\alpha = \frac{2Q \sin 2(\theta - \beta) \sin \theta}{\pi \sin 2(\theta - \beta) - \cos 2\beta} d\theta$$

$$dy = \frac{2Q \sin 2(\theta - \beta) \sin \theta}{\pi \sin 2(\theta - \beta) - \cos 2\beta} d\theta$$

Для точки B

$$y = 2.$$

отсюда

$$y = \frac{1}{2} + \int \frac{2Q \sin 2(\theta - \beta) \sin \theta}{\pi \sin 2(\theta - \beta) - \cos 2\beta} d\theta.$$

Из фиг. 4 следует, что

$$b = y' = r' (\sin(\alpha - \beta))$$

Умножив,

$$b' = \frac{1}{2} \cdot \frac{2Q}{\pi} \cdot \frac{1}{\sin(\alpha - \beta)} \cdot \frac{\sin 2(\theta - \beta) \sin \theta}{\cos 2(\theta - \beta) + \cos 2\beta} d\theta +$$

$$+ \frac{2Q}{\pi} \cdot \frac{1}{\sin(\alpha - \beta)} \cdot \frac{\sin 2(\theta - \beta) \cos \theta \sin(\alpha + \beta)}{\cos 2(\theta - \beta) + \cos 2\beta} d\theta$$

Интегрируя, получим

$$b' = \frac{1}{2} \cdot \frac{2Q \sin \alpha}{\pi \sin(\alpha + \beta)} \left[-1 + \cos 2 \ln \frac{1 + \cos \alpha}{\cos \alpha} \right];$$

$$b = b' \sin(\alpha + \beta) = \frac{1}{2} \cdot \frac{2Q \sin \alpha}{\pi} \left[-1 + \cos 2 \ln \frac{1 + \cos \alpha}{\cos \alpha} \right].$$

Из уравнения расхода

$$h = \frac{v}{2\pi} \cdot Q.$$

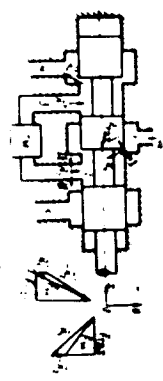
откуда

$$v = \frac{4Q \sin \alpha \left[1 + \frac{\pi}{4 \sin \alpha} - \cos \alpha \ln \frac{1 + \cos \alpha}{\cos \alpha} \right]}{\pi \sin(\alpha + \beta)}.$$

Для определения гидродинамического осевого усилия применим следующую теорему об изменении количества движения в форме Эйлера. Главные векторы объемных и поверхностных сил в вектора количества движения жидкости, входящие и выходящие сквозь два

плоскости, параллельные друг другу, параллельно оси. Тогда, если считать, что жидкость движется в направлении оси, то в случае равновесия жидкости в элементарном объеме жидкости, выделенном в виде параллелепипеда, должны выполняться следующие условия:

Рассмотрим элементарный объем жидкости, выделенный в виде параллелепипеда, выделенного в жидкости. Пусть V — объем жидкости, выделенной в виде параллелепипеда, F_1 и F_2 — силы, действующие на противоположные грани параллелепипеда, F_3 — сила, действующая на боковую грань параллелепипеда, F_4 — сила, действующая на верхнюю грань параллелепипеда, F_5 — сила, действующая на нижнюю грань параллелепипеда.



Фиг. 5. Элементарный объем жидкости, выделенный в виде параллелепипеда.

сторона поверхности плоскости на объем жидкости. Проекция этой внешней силы на ось Oz есть F_{z1} . По теореме Эйлера имеем

$$K_1 = K_2 = F_{z1} = 0.$$

где K_1 и K_2 — векторы количества движения в сечениях 1 и 2. Но $K_1 = 0$, отсюда $F_{z1} = 0$.

Интересующая нас внутренняя сила, т. е. сила давления жидкости на поверхность элемента, по теореме Эйлера, должна быть равна по величине внешней силе и направлена противоположно ей. Следовательно, эту внутреннюю гидродинамическую силу через F_z

$$F_z = -F_{z1} = F_{z2} = F_{z3} = F_{z4} = F_{z5} = m \cdot g \cdot \cos \alpha$$

Следовательно, гидродинамическое осевое усилие, возникающее при просачивании жидкости через районы около эагоуника, стремится увеличивать величину этого окна, т. е. она направлена против направления движения эагоуника.

В случаях с гидродинамическим расходом через просачивающиеся районы, что оно обычно происходит, а перепад давлений на окрестных краях каждого окна, т. е. разность давлений в камерах 1 и 2 (фиг. 8), есть величина постоянная (при постоянной нагрузке на гидроэагоуник). Обозначим этот перепад через Δp .

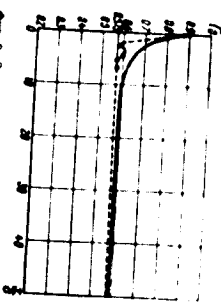
$$F_{z1} = m \cdot g \cdot \cos \alpha.$$

Взяв за основу зависимость от частоты в стандартном режиме, тогда зависимость от частоты в стандартном режиме будет зависеть от частоты в стандартном режиме.

$$F_{1,2} = \frac{Q \sin \alpha \left(1 - \frac{1}{\cos \alpha} \right) \cos \alpha}{Q \sin \alpha \left(1 - \frac{1}{\cos \alpha} \right) \cos \alpha}$$

$$F_{1,2} = \frac{1}{2} \left(1 - \frac{1}{\cos \alpha} \right) \cos \alpha$$

- 1. Значение весовых коэффициентов.
- 2. Значение коэффициента гидравлического сопротивления.
- 3. Коэффициент гидравлического сопротивления.
- 4. Коэффициент гидравлического сопротивления.



Фиг. 9. Зависимость коэффициента расхода и от параметра α . α — угол наклона; α — диаметр; α — диаметр.

Окна

$$F_{1,2} = \frac{K \sin \alpha \sin \alpha \left(1 + \frac{1}{\cos \alpha} \right) \cos \alpha}{K \sin \alpha \sin \alpha \left(1 + \frac{1}{\cos \alpha} \right) \cos \alpha}$$

Определим коэффициент расхода $\mu = v/v_0$. Подставляя значение α , находим

$$\mu = \frac{K \sin \alpha \left(1 + \frac{1}{\cos \alpha} \right) \cos \alpha}{K \sin \alpha \left(1 + \frac{1}{\cos \alpha} \right) \cos \alpha}$$

Получается график фиг. 3, подставляя по полученной формуле значения μ (F/β).

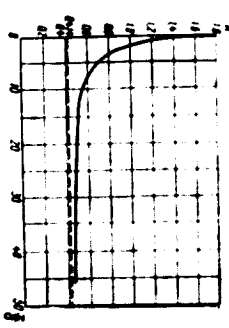
Получаем значение и формулу стандартного гидравлического сопротивления λ в формуле для $F_{1,2}$ получаем

$$F_{1,2} = \frac{2 \lambda \rho L \cos \alpha}{2 \lambda \rho L \cos \alpha}$$

или

$$F_{1,2} = \frac{2 \lambda \rho L \cos \alpha}{2 \lambda \rho L \cos \alpha}$$

Значения $\lambda = \lambda(\alpha)$ даны на фиг. 10.



Фиг. 10. Зависимость коэффициента гидравлического сопротивления λ от параметра α .

При осевых отверстиях α гораздо больших α , коэффициент λ стремится к постоянной величине (414).

Полученная формула дает величину гидравлического сопротивления, возникающего при протекании жидкости через окно с данной длиной. При протекании жидкости через окно конечной длины полученное выражение надо умножить на длину окна

$$F_{1,2} = K \mu \rho \sqrt{2} + \beta \times L$$

$$F_{1,2} = K \mu \rho \sqrt{2} + \beta \times L$$

Для кольцевого окна

В. А. Ходяков. Коэффициент гидравлического сопротивления расхода жидкости через окна кольцевого гидравлического сопротивления. Технические измерения, стандарты и технологии, № 1, 1984.

В дальнейшем, дифференцируя по фиг. 1, находим гидростатическое давление на осевую ось:

$$p_r = \rho \frac{D^2 - 4h^2}{2}$$

т. е. p_r — давление на осевую ось.

Δp_r — разность давлений на гидроопоре.

Среднее давление осевой гидроопоры:

$$P_{r,ср} = 2\Delta p_r \int_0^L \frac{D^2 - 4h^2}{2} \times L$$

Для кольцевого ося:

$$P_{r,ср} = 2\Delta p_r D \sqrt{\frac{D^2 - 4h^2}{2}}$$

В том случае, когда давление имеет двухстороннее действие, т. е. в среднем по всей длине осевой гидроопоры, то давление на осевую ось, выходящее из-за гидростатического давления, равно нулю. Утечек, выходящих из гидроопоры, при перемещении осевой оси будет зависеть только от открытия рабочего ося:

$$F_{r,ср} = 2\Delta p_r D \int_0^L (x + x_0)^2 - \beta^2 - 2K^2 \Delta p_r D \sqrt{(x_0 - x)^2 + \beta^2}$$

$$K = k \left(\frac{K_1 - x}{a} \right); \quad \Delta p_r = \frac{\rho \Delta h_{гид}}{2}$$

$$A = k \left(\frac{K_1 + x}{a} \right); \quad \Delta p_r = \frac{\rho \Delta h_{гид}}{2}$$

Здесь $(K_1 - x)$ — открытие ося утечек; $(K_1 + x)$ — открытие рабочего ося.

График на фиг. 11 построен с учетом ося утечек.

Если пренебречь величинами β и K_0 , то формула для осевой гидростатической силы примет вид:

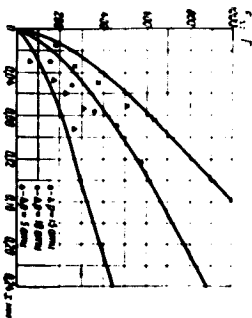
$$F_{r,ср} = 2k \Delta p_r D \int_0^L$$

Как видно из графика, результаты экспериментов дают хорошее совпадение с теоретическими расчетами.

Различные составленные гидродинамической силы взаимно уничтожаются, так как рабочая жидкость протекает на кавитации (см. фиг. 9) в кавитации по всей длине кольцевого рабочего ося, т. е. движение гидродинамической силы направлено к центру. В случае, когда скорость неравномерна и ширина рабочего ося по длине неравномерна, раздельные составленные гидродинамической силы взаимно уничтожаются полностью; наличие неравномерности раздельных гидродинамических сил, наружу с другой стороны (стойкой веса и т. д.) вызывает разрушение масляной пленки и переход к полусухому трению.

Одним из важнейших гидродинамических явлений является кавитация, возникающая на рабочей гидроопоре. Различают кавитацию вращательную гидродинамическую и кавитацию вращательную гидродинамическую. Кавитация вращательная гидродинамическая возникает в результате неравномерности скорости течения в рабочей гидроопоре. Кавитация вращательная гидродинамическая возникает в результате неравномерности скорости течения в рабочей гидроопоре.

Фиг. 11. Зависимость осевой гидростатической силы от открытия ося.



Фиг. 11. Зависимость осевой гидростатической силы от открытия ося. Точечные кривые (собственные данные) и сплошные кривые (теория).

$$D = 23 \text{ мм. } \beta = 0 - 0,080 \text{ мм}$$

Обычно $\Delta p_r \approx \Delta p_r$, где Δp_r — гидростатическое давление. Обычно составленные гидродинамической силы взаимно уничтожаются.

$$F_{r,ср} = k_1 (\rho g - \Delta p_r) x$$

где $k_1 = k_2 D$.

Уменьшение движения жидкого рабочего ося гидростатической силы приводит к виде:

$$k_1 x + k_2 x^2 + (c + k_2 (\rho g - \Delta p_r)) x = k_1$$

ОПРЕДЕЛЕНИЕ УГЛОВОГО ПОЛОЖЕНИЯ ТЕЛА С ПОМОЩЬЮ ГИРОКОМПЛЕКСНЫХ ДАТЧИКОВ ПРИ ПРОМЕЖИУГОЛЬНОМ РАСПОЛОЖЕНИИ ОСЕЙ ИХ КОЖУХОВ В ТЕМЕ СОВЕРШАЕМЫМ ПРОСТРАНСТВЕННОМ ДВИЖЕНИИ

При промежуточном положении датчиков углового положения тела и пространства возникает задача определения линии ориентации гироскопа в пространстве на кардинале осей датчиков и датчиков с помощью различных методов, выраженные в следующей форме:

1. Пусть $x_1, y_1, z_1, \dots, x_n, y_n, z_n$ - некоторые прямые прямоугольные системы координат на поверхности и тангенциальных касательных к ней в точках P_1, \dots, P_n и в точках P_1, \dots, P_n соответственно в указанной совокупности

$$I_n = (x_1, y_1, z_1, \dots, x_n, y_n, z_n) = \begin{vmatrix} f_1^{(1)} & f_1^{(2)} & f_1^{(3)} & f_1^{(n)} \\ f_2^{(1)} & f_2^{(2)} & f_2^{(3)} & f_2^{(n)} \\ \dots & \dots & \dots & \dots \\ f_n^{(1)} & f_n^{(2)} & f_n^{(3)} & f_n^{(n)} \end{vmatrix}$$

Так что $f_1^{(i)} = \cos(x_1, x_i), f_2^{(i)} = \cos(y_1, x_i), f_3^{(i)} = \cos(z_1, x_i)$ в т. д. т. е. матрица I_n соответствует таблице косинусов

	x_1	y_1	z_1
x_1	$f_1^{(1)}$	$f_1^{(2)}$	$f_1^{(3)}$
y_1	$f_2^{(1)}$	$f_2^{(2)}$	$f_2^{(3)}$
z_1	$f_3^{(1)}$	$f_3^{(2)}$	$f_3^{(3)}$

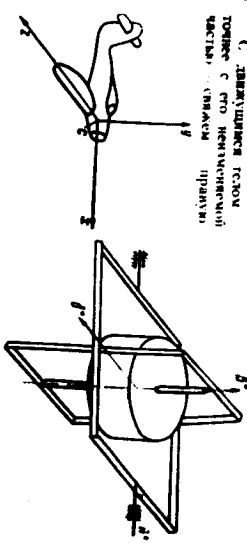
Используя ось образную систему (x, y, z) - образную систему пространства и систему координат (x_1, y_1, z_1) по отношению к ней представляем f_{ij}

$$f_{ij} = \cos(x_i, x_j) = \cos(x_i, y_j) \cos(x_i, z_j) + \dots$$

Используя метод линейной алгебры, при заданных на поверхности (x, y, z) направлениях осей x_1, y_1, z_1 и в произвольной точке P_1, \dots, P_n представляем f_{ij} с помощью матрицы направляющих косинусов углов между осями x_1, y_1, z_1 и осями x, y, z

$$(x_1, y_1, z_1) = \begin{pmatrix} \cos(x_1, x) & \cos(x_1, y) & \cos(x_1, z) \\ \cos(y_1, x) & \cos(y_1, y) & \cos(y_1, z) \\ \cos(z_1, x) & \cos(z_1, y) & \cos(z_1, z) \end{pmatrix} \dots$$

Отметим, что в общем случае матрицы составлены из направляющих косинусов (1) между основными направлениями x, y, z и направляющими x_1, y_1, z_1 с некоторыми прямыми...



Используя систему координат (x, y, z) на поверхности, в случае самодетерминации осей x, y, z представляем по стандарту (Фиг. 1).

В. Р. Физер, В. Дуван, А. Корда, Топан, Топан и др. Москва, 1968.

А. И. Купцов, Мур, Москва, МИИТ, 1968.

А. И. Купцов, Мур, Москва, МИИТ, 1968.

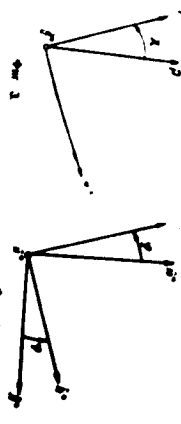
В. Р. Физер, В. Дуван, А. Корда, Топан, Топан и др. Москва, 1968.

Для построения угла α необходимо определить угловое положение вектора \vec{p} относительно вектора \vec{p}_0 в плоскости вращения. Пусть \vec{p}_0 — единичный вектор, лежащий в плоскости вращения, а \vec{p} — произвольный вектор, лежащий в этой же плоскости. Тогда угол α между векторами \vec{p}_0 и \vec{p} можно определить по формуле $\cos \alpha = \vec{p}_0 \cdot \vec{p}$. Если же вектор \vec{p} не лежит в плоскости вращения, то угол α между векторами \vec{p}_0 и \vec{p} можно определить по формуле $\cos \alpha = \sqrt{\vec{p}_0 \cdot \vec{p}}$. При этом \vec{p}_0 — единичный вектор, лежащий в плоскости вращения, а \vec{p} — произвольный вектор, лежащий в этой же плоскости.



187
 При установке на самолете гирокомпасных датчиков следует учитывать, что при вращении самолета вокруг вертикальной оси OZ датчики будут повернуты относительно вертикали на угол α . В силу конструкции датчиков они будут измерять не истинный угол α , а угол α' , который отличается от α на величину β . При этом β зависит от угла α и от угла γ , который составляет угол наклона датчика к горизонту. При установке датчиков на самолете необходимо учитывать, что при вращении самолета вокруг вертикальной оси OZ датчики будут повернуты относительно вертикали на угол α . В силу конструкции датчиков они будут измерять не истинный угол α , а угол α' , который отличается от α на величину β . При этом β зависит от угла α и от угла γ , который составляет угол наклона датчика к горизонту.

188
 При выборе элементов угла, принятом в работах А. К. Марголюса и Е. В. Шварца и др. (1), матрица L имеет вид $L = \begin{pmatrix} L_{11} & L_{12} \\ L_{21} & L_{22} \end{pmatrix}$, где $L_{11} = \sin \phi \cos \theta$, $L_{12} = \sin \phi \sin \theta$, $L_{21} = -\cos \phi \cos \theta$, $L_{22} = -\cos \phi \sin \theta$.



189
 По определению угла γ и ϕ : $\cos \gamma = \vec{p} \cdot \vec{p}_0$, $\sin \phi = \sqrt{1 - \cos^2 \gamma}$. При этом \vec{p}_0 — единичный вектор, лежащий в плоскости вращения, а \vec{p} — произвольный вектор, лежащий в этой же плоскости.

$$L = \begin{pmatrix} \cos \gamma & \sin \gamma \\ -\sin \gamma & \cos \gamma \end{pmatrix} = \begin{pmatrix} \cos \phi \cos \theta & \sin \phi \cos \theta \\ -\sin \phi \cos \theta & \cos \phi \cos \theta \end{pmatrix}$$

190
 При выборе элементов угла, принятом в работах А. К. Марголюса и Е. В. Шварца и др. (1), матрица L имеет вид $L = \begin{pmatrix} L_{11} & L_{12} \\ L_{21} & L_{22} \end{pmatrix}$, где $L_{11} = \sin \phi \cos \theta$, $L_{12} = \sin \phi \sin \theta$, $L_{21} = -\cos \phi \cos \theta$, $L_{22} = -\cos \phi \sin \theta$.

$$\begin{aligned} L_1 &= \cos \psi \cos \gamma + \sin \psi \cos \gamma \sin \psi \\ L_2 &= \sin \psi \cos \gamma + \cos \psi \sin \gamma \sin \psi \\ L_3 &= \cos \psi \sin \gamma - \sin \psi \cos \gamma \sin \psi \end{aligned} \quad (3)$$

Известно также:

$$P = mNSL - LN; \quad (N^2 = S^2),$$

где:

$$L = mN \sin \gamma, \quad \cos \gamma \cos \psi, \quad \cos \gamma \sin \psi,$$

и:

$$L = pN^2 - 1$$

Процедура матричного умножения в правой части последнего равенства и уравнения (4), полученная матрица, представляет собой:

$$\begin{aligned} \sin \gamma &= N_1 \lambda^2 + N_2 \mu^2 + N_3 \nu^2 \\ \cos \gamma \cos \psi &= N_4 \lambda^2 + N_5 \mu^2 + N_6 \nu^2 \\ \cos \gamma \sin \psi &= N_7 \lambda^2 + N_8 \mu^2 + N_9 \nu^2 \end{aligned} \quad (5)$$

Первое уравнение определяет связь между координатой X гироскопического датчика и азимутальным углом; из двух последних уравнений:

$$\psi = \arctan \frac{N_2 \lambda + N_5 \mu + N_8 \nu}{N_1 \lambda + N_4 \mu + N_7 \nu} \quad (6)$$

Т. е. связь между координатой ψ гироскопического датчика и углом ψ только один угол ψ или ψ , получены еще одно соотношение вида (5) или (6). Эти три соотношения определяют (за исключением случая вырождения матрицы) три угла ψ , θ , γ , характеризующие положение самолета в пространстве в функции трех углов и координат гироскопического датчика (например, пример при таком обихи предположений: самолет совершает произвольное

* А. К. Мартынов, Специальная программа, Оборона, 1980 г.
 * В. О. Овсянко, В. И. Сорокин, В. П. Токрев, Амелия, Оборона, 1980 г.
 * В. Д. Гунин, А. Колдун, Топос, Оборона, 1980 г.

спиральное движение (например, вариант 4), при этом матрица преобразования зависит от времени t и, следовательно, от азимута ориентации угла ψ в виде самовращения. В данном уравнении обозначены (пример 5) $N_1, N_2, N_3, N_4, N_5, N_6, N_7, N_8, N_9$ — коэффициенты матрицы преобразования, зависящие от времени t и азимута ориентации угла ψ в виде самовращения. Сложность преобразования (5) и (6) для расчета определяется углом ψ и, следовательно, азимутальной ориентацией угла ψ ; ψ — самовращения (предельный вариант 5) и азимутальной ориентации угла ψ . При $p = 1, 0, 0$ и $S = E$ (E — единичная матрица) вырождается матрица преобразования, изложенная в разделе 1. Встреча.

$$P = \begin{pmatrix} 1 & 0 & 0 \\ 0 & 1 & 0 \\ 0 & 0 & 1 \end{pmatrix};$$

$$N_1 = S_1^2 L_1 + S_2^2 L_2 + S_3^2 L_3 = L_1;$$

С помощью (8) и (9) получаем известную формулу:

$$\psi = \arctan \frac{N_2 \lambda + N_5 \mu + N_8 \nu}{N_1 \lambda + N_4 \mu + N_7 \nu} = \arctan \frac{\sin \psi \cos \gamma}{\cos \psi \cos \gamma} = \psi = \arctan (\tan \psi \cos \gamma),$$

т. е. при повороте без вращения самолета излучатель излучает сигнал, соответствующий определению угла поворота излучателя относительно угла тангажа.

* Л. Вольф, Оперативное руководство по авиации, Оборона, 1980 г.
 * А. А. Востриков, В. С. Гурьев, А. С. Палаев, Оборона, 1980 г.

**ОПРЕДЕЛЕНИЕ МИНИМАЛЬНЫХ ГАБАРИТОВ
КУДАЧКОГО МЕХАНИЗМА С ВРАЩАЮЩИМСЯ
КУДАЧКОМ И КАЧАЮЩИМСЯ ШУЛОМ**

Активные М и П ГАРНОСКИ И

Для указанного механизма с вращающимся шуплом конусное наклонное шило поддается определению соотношения:

$$l_{\text{min}} = \text{arc cos} \frac{1}{n(1-r^2)^{1/2}} \sqrt{1+r^2} - \text{arc tg } r; \quad (1)$$

где

$$n = \frac{N}{r_1}; \quad r_2 = \frac{M_2}{r_1};$$

$r_1 = M_2$ — приведенный коэффициент трения; M_2 — момент трения в шифе; Q — озорная реакция в шифе; N — лобовое контактное усилие; M_2 — суммарный момент на шифе; r_2 — коэффициент трения в точке контакта.

Схема указанного механизма с качающимся шуплом приведена на фиг. 1.

$$L = 2(R_0 + H_1 - r_1) + 2r_2 = 2(R_0 + H_1 - r_1 + r_2).$$

Минимальное расстояние

$$l_1 = R_0 + H_1 - r_1 + r_2. \quad (2)$$

составительно $L = 2l_1$.

Также угол наклона в произвольной точке поверхности кудачика

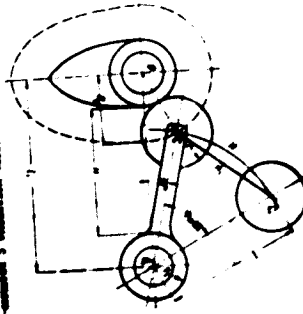
$$\text{tg } \tau = \frac{L}{\sin(\psi + \psi_0)} \left(\frac{d\psi}{d\psi_0} \pm 1 \right) \pm \cos(\psi + \psi_0). \quad (3)$$

где ψ — угол поворота кудачика; ψ_0 — угол наклона шупла.

Л. Н. ПРАСЛУХА, Кандидат технических наук, Южский завод № 43 Саратовского предприятия, Октябрь, 1968. В формуле (2) в стр. 50 допущена опечатка (см. приведенные расчеты на стр. 108). В стр. 50 формула (1) имеет ошибку (1) — знак степеня $\sqrt{1+r^2}$ — 1.

Определив при заданных ψ_0 и ψ угол наклона шупла с учетом значений L , r_1 и r_2 с учетом радиуса кудачика R_0 , радиуса шупла r и радиуса шара R , можно определить радиальный размер $L = 2l_1$ с учетом ширины B_0 и l_1 ψ_0 .

$$l_1 = R_0 + H_1 + r_1. \quad \text{Если поворот } r_1 = r_2, \text{ то} \quad (4)$$



Фиг. 1. Схема указанного механизма с вращающимся шуплом и качающимся шилом. R_0 — радиус кудачика; R — радиус шара; r_1 — радиус шупла; r_2 — радиус шара; L — радиальный размер шупла; l_1 — радиальный размер шупла; l_2 — радиальный размер шупла; l_3 — радиальный размер шупла; l_4 — радиальный размер шупла; l_5 — радиальный размер шупла; l_6 — радиальный размер шупла; l_7 — радиальный размер шупла; l_8 — радиальный размер шупла; l_9 — радиальный размер шупла; l_{10} — радиальный размер шупла; l_{11} — радиальный размер шупла; l_{12} — радиальный размер шупла; l_{13} — радиальный размер шупла; l_{14} — радиальный размер шупла; l_{15} — радиальный размер шупла; l_{16} — радиальный размер шупла; l_{17} — радиальный размер шупла; l_{18} — радиальный размер шупла; l_{19} — радиальный размер шупла; l_{20} — радиальный размер шупла; l_{21} — радиальный размер шупла; l_{22} — радиальный размер шупла; l_{23} — радиальный размер шупла; l_{24} — радиальный размер шупла; l_{25} — радиальный размер шупла; l_{26} — радиальный размер шупла; l_{27} — радиальный размер шупла; l_{28} — радиальный размер шупла; l_{29} — радиальный размер шупла; l_{30} — радиальный размер шупла; l_{31} — радиальный размер шупла; l_{32} — радиальный размер шупла; l_{33} — радиальный размер шупла; l_{34} — радиальный размер шупла; l_{35} — радиальный размер шупла; l_{36} — радиальный размер шупла; l_{37} — радиальный размер шупла; l_{38} — радиальный размер шупла; l_{39} — радиальный размер шупла; l_{40} — радиальный размер шупла; l_{41} — радиальный размер шупла; l_{42} — радиальный размер шупла; l_{43} — радиальный размер шупла; l_{44} — радиальный размер шупла; l_{45} — радиальный размер шупла; l_{46} — радиальный размер шупла; l_{47} — радиальный размер шупла; l_{48} — радиальный размер шупла; l_{49} — радиальный размер шупла; l_{50} — радиальный размер шупла; l_{51} — радиальный размер шупла; l_{52} — радиальный размер шупла; l_{53} — радиальный размер шупла; l_{54} — радиальный размер шупла; l_{55} — радиальный размер шупла; l_{56} — радиальный размер шупла; l_{57} — радиальный размер шупла; l_{58} — радиальный размер шупла; l_{59} — радиальный размер шупла; l_{60} — радиальный размер шупла; l_{61} — радиальный размер шупла; l_{62} — радиальный размер шупла; l_{63} — радиальный размер шупла; l_{64} — радиальный размер шупла; l_{65} — радиальный размер шупла; l_{66} — радиальный размер шупла; l_{67} — радиальный размер шупла; l_{68} — радиальный размер шупла; l_{69} — радиальный размер шупла; l_{70} — радиальный размер шупла; l_{71} — радиальный размер шупла; l_{72} — радиальный размер шупла; l_{73} — радиальный размер шупла; l_{74} — радиальный размер шупла; l_{75} — радиальный размер шупла; l_{76} — радиальный размер шупла; l_{77} — радиальный размер шупла; l_{78} — радиальный размер шупла; l_{79} — радиальный размер шупла; l_{80} — радиальный размер шупла; l_{81} — радиальный размер шупла; l_{82} — радиальный размер шупла; l_{83} — радиальный размер шупла; l_{84} — радиальный размер шупла; l_{85} — радиальный размер шупла; l_{86} — радиальный размер шупла; l_{87} — радиальный размер шупла; l_{88} — радиальный размер шупла; l_{89} — радиальный размер шупла; l_{90} — радиальный размер шупла; l_{91} — радиальный размер шупла; l_{92} — радиальный размер шупла; l_{93} — радиальный размер шупла; l_{94} — радиальный размер шупла; l_{95} — радиальный размер шупла; l_{96} — радиальный размер шупла; l_{97} — радиальный размер шупла; l_{98} — радиальный размер шупла; l_{99} — радиальный размер шупла; l_{100} — радиальный размер шупла.

Принимая ход шупла, измеренный по дуге CG_1 , равным H , получим

$$l = \frac{H}{\psi_{\text{max}}}; \quad H_1 = 2l \sin \frac{\psi_{\text{max}}}{2}. \quad (5)$$

Для удобства вычисления положим

$$l_1 = R_0 + H_1. \quad (6)$$

При этом $H_1/H = 0,985$, если $\psi_{\text{max}} = 60^\circ$.

Если H задано, то L зависит только от R_0 . Из фиг. 1 имеем

$$R_0 = l_1 - 2l_1 \cos \psi_0 + r_1.$$

Подставив

$$l_1 = R_0 + H_1; \quad l = \frac{H}{\psi_{\text{max}}}, \quad (7)$$

получим

$$R_0 = \frac{H}{\psi_{\text{max}}} \left(\psi_{\text{max}} + 1 - 2 \sin \frac{\psi_{\text{max}}}{2} \cos \psi_0 \right) - H_1. \quad (8)$$

Функции $R_0(\psi_0, \psi_{\text{max}})$ имеют вид: при $\psi_{\text{max}} = \text{const}$ для $\psi_0 > \psi_{\text{max}}$ $R_0 = 0$; при $\psi_0 < \psi_{\text{max}}$ $R_0 = \frac{1}{2} \ln \frac{1 + \cos \psi_0}{1 - \cos \psi_0}$. Таким образом, R_0 имеет вид $R_0 = \frac{1}{2} \ln \frac{1 + \cos \psi_0}{1 - \cos \psi_0}$ при $\psi_0 < \psi_{\text{max}}$ и $R_0 = 0$ при $\psi_0 > \psi_{\text{max}}$.
 Функция $R_0(\psi_0, \psi_{\text{max}})$ является на фиг. 2. Указанные функции (6) и (7) являются частными случаями функции $R_0(\psi_0, \psi_{\text{max}})$.
 Функция $R_0(\psi_0, \psi_{\text{max}})$ является на фиг. 2. Указанные функции (6) и (7) являются частными случаями функции $R_0(\psi_0, \psi_{\text{max}})$.
 Функция $R_0(\psi_0, \psi_{\text{max}})$ является на фиг. 2. Указанные функции (6) и (7) являются частными случаями функции $R_0(\psi_0, \psi_{\text{max}})$.

$$\frac{dR_0}{d\psi_0} = 0 \quad (9)$$

$$\frac{dR_0}{d\psi_{\text{max}}} = 0 \quad (10)$$

Уравнения будут считаться правой частью (10), получив квадрат:

$$\psi_{\text{max}}^2 \cos^2 \psi_0 - 2\psi_{\text{max}} \cos \psi_0 + \cos^2 \psi_0 = 0 \quad (11)$$

корни которого

$$\psi_{\text{max}} = \frac{1 \pm \sin \psi_0}{\cos \psi_0} \quad (12)$$

Видно, корень дает нам значения $\psi_{\text{max}} > 1$; соответствующее этому корню значение $R_0 < 0$ (см. фиг. 2).
 Таким образом, практически пригодные минимальные значения R_0 получаем при

$$\psi_{\text{max}} = \frac{1 - \sin \psi_0}{\cos \psi_0} \quad (13)$$

Подставляя это значение ψ_{max} в (9), имеем

$$f(R_0, \psi_0, \psi_{\text{max}}) = 0 \quad (14)$$

Функция (9) представляет собой семейство плоских кривых $f(R_0, \psi_0, \psi_{\text{max}}) = 0$.
 Исключая параметр ψ_{max} из уравнения $f(R_0, \psi_0, \psi_{\text{max}}) = 0$ и $d f / d \psi_{\text{max}} = 0$, получим уравнение envelopes этих кривых

$$\frac{H \sin \psi_0}{1 - \sin \psi_0} - R_0 = 0 \quad (15)$$

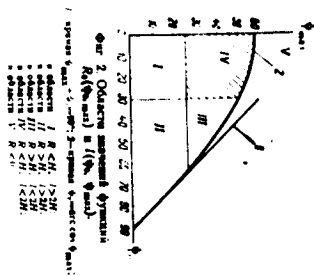
Уравнение уравнение envelopes с (13), мы видим, что минимальные значения R_0 достигаются на envelopes семейства кривых:

$$\frac{H}{2 \sin \psi_0} \frac{1 - \sin \psi_0}{\cos \psi_0} - R_0 = 0 \quad (16)$$

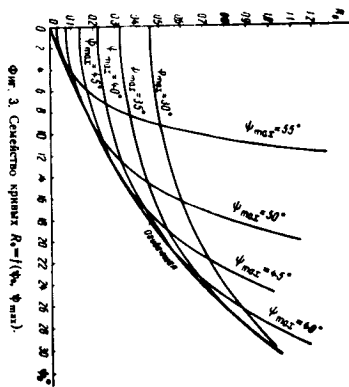
Таблица 1
 Расчеты параметров системы с оптимальным углом

ψ_0	ψ_{max}	R_0	f	f_{opt}	f_{opt}	f_{opt}
30°	0	0,655	1,453	1,410	1,910	2,940
	5	0,647	1,467	1,407	1,911	2,944
	10	0,590	1,500	1,404	1,911	2,944
	15	0,567	1,567	1,403	1,911	2,944
	20	0,604	1,600	1,403	1,911	2,944
	25	0,611	1,611	1,403	1,911	2,944
45°	0	0,316	1,316	1,357	1,637	2,680
	5	0,322	1,322	1,357	1,637	2,680
	10	0,371	1,371	1,357	1,637	2,680
	15	0,590	1,590	1,357	1,637	2,680
	20	0,704	1,704	1,357	1,637	2,680
	25	1,187	2,187	1,357	1,637	2,680
60°	0	0,216	1,216	1,432	1,432	2,432
	5	0,232	1,232	1,427	1,427	2,444
	10	0,281	1,281	1,411	1,411	2,460
	15	0,371	1,371	1,394	1,394	2,480
	20	0,590	1,590	1,380	1,380	2,500
	25	0,704	1,704	1,360	1,360	2,514
75°	0	0,137	1,137	1,573	1,273	2,573
	5	0,157	1,157	1,564	1,264	2,584
	10	0,223	1,223	1,554	1,254	2,594
	15	0,351	1,351	1,539	1,239	2,610
	20	0,591	1,591	1,518	1,218	2,630
	25	1,017	2,017	1,494	1,194	2,654
90°	0	0,073	1,073	1,146	1,146	2,146
	5	0,108	1,108	1,142	1,142	2,142
	10	0,218	1,218	1,129	1,129	2,129
	15	0,465	1,465	1,107	1,107	2,090
	20	1,127	2,127	1,082	1,082	2,082
	25	2,127	3,127	1,058	1,058	2,054

* Вычисления R_0 , f , f_{opt} и L даны в долях H .
 во Ппр ($\cos \psi_0 > 1$, угол $\text{COO} > 90^\circ$ (см. фиг. 1).



Фиг. 2. Области напряжений в сечении \$R_0(\psi_{max})\$ и \$(\psi_{max})\$.



Фиг. 3. Связь между кривизной \$R_0\$ и углом \$\psi_{max}\$.

Итак, условия минимальной габаритной грузоподъемности с заданными путем определяются следующими зависимостями:

$$\psi_{max} = \frac{1 - \sin \psi_0}{\cos \psi_0}; \quad R_0 = \frac{H \sin \psi_0}{1 - \sin \psi_0}; \quad f = \frac{H \cos \psi_0}{1 - \sin \psi_0}; \quad f_1 = \frac{H}{1 - \sin \psi_0} \quad (13)$$

$$\text{или} \quad \psi_{max} = \frac{1 - \sin \psi_0}{\cos \psi_0}; \quad f_1 = \frac{H}{\cos \psi_0}; \quad f = f_1 \cos \psi_0; \quad R_0 = f_1 \sin \psi_0 \quad (14)$$

т.е. в отсутствие ОСО (см. фиг. 1) угол между \$R_0\$ и \$f\$ равен \$90^\circ\$.

Условия отсутствия самозатягивания для различных минимальных габаритов даются следующими формулами:

$$\frac{\psi_0}{\cos \psi_0} + \frac{H}{R_0} - 1 \quad (15)$$

в случае вращения нивелира и шпиль в противоположных направлениях

$$\frac{f_1}{R_0} - 1 - \frac{\cos(\psi_0 - \psi_{max})}{\cos \psi_0 \cos \psi_{max}} \quad (16)$$

в случае вращения нивелира и шпиль в одном направлении.

Значения минимальных габаритов механизмов приведены в табл. 2.

Таблица 2

Минимальные габариты грузоподъемного механизма с заданными путем		Минимальные габариты механизмов			
\$\psi_0\$	\$\psi_{max}\$	\$R_0\$	\$f_1\$	\$f\$	\$L\$
0	1	0,036	1,036	1,036	2,072
2	0,9868	0,075	1,075	1,072	2,150
4	0,98251	0,117	1,117	1,111	2,224
6	0,98040	0,162	1,162	1,150	2,294
8	0,98028	0,210	1,210	1,192	2,354
10	0,98098	0,262	1,262	1,235	2,400
12	0,98978	0,319	1,319	1,280	2,436
14	0,78128	0,381	1,381	1,327	2,462
16	0,75365	0,447	1,447	1,375	2,484
18	0,72953	0,520	1,520	1,428	2,500
20	0,70920	0,599	1,599	1,483	2,512
22	0,67450	0,686	1,686	1,540	2,518
24	0,64640	0,781	1,781	1,600	2,518
26	0,62487	0,885	1,885	1,664	2,512
28	0,60936	1	2	1,732	2,500
30	0,57134				4

**РАСЧЕТ ОПТИМАЛЬНОГО ПРОФИЛЯ КУЛАЧКА
КУЛАЧКОВОГО МЕХАНИЗМА С ВРАЩАЮЩИМСЯ
КУЛАЧКОМ И ПОСТУПАЮЩИМ ДВИЖУЩИМСЯ ШТУПОМ**

Ассистент М. П. ТАРНОВСКАЯ

Цель настоящей работы — найти профиль кулачка, обеспечивающий минимальные габариты кулачкового механизма при заданной амплитуде хода шупа.

Критическое значение угла подъема кулачка при произвольном положении шупа (см. фигуру) определяется соотношением *

$$\operatorname{tg} \gamma_{\text{кр}} \geq \frac{b}{r_1(H+r+b \mp r_1 r')}, \quad (1)$$

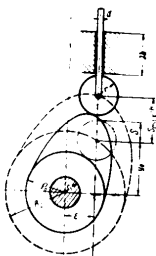
где μ — коэффициент трения в направлении шупа; s — текущая координата центра ролика, отсчитываемая от начального положения.

Знак минус соответствует движению шупа вверх. Наибольшее значение критического угла подъема соответствует $s=0$:

$$(\operatorname{tg} \gamma_{\text{кр}})_{\text{min}} = \frac{b}{r_1(H+r+b \mp r_1 r')}$$

Габаритный размер механизма (вертикальный)

$$L = (2b + H + y_0 + r) + \sqrt{(y_0 + H)^2 + r^2}$$



Фиг. 1. Схема кулачкового механизма с поступательно движущимся шупом. 1 — кулачок; R_0 — номинальный радиус кулачка; h — номинальный радиус толкателя; H — номинальный радиус ролика; r — номинальный радиус ролика; y_0 — номинальный радиус ролика; L — габаритный размер шупа; D — номинальный радиус шупа.

* Соотношение (1) выведено в предположении, что трение скольжения в точке контакта шупа и кулачка отсутствует, а самоклинующиеся механизмы не контактируют между собой. Исходные данные: $N = \infty$. См. В. Т. Костяков, Методы расчета шарнирных механизмов кулачковых механизмов с учетом трения в плоскостных шарнирах, Труды семинара по ТММ, АН СССР, т. III, вып. 12, М.—Л., 1947.

Для удобства вычислений будем считать $L = 2(R_0 + H + b)$. При таком упрощении даже для больших значений μ ($\mu = 0,1H, 0,5H$) погрешность в вычислении габаритного размера L не превышает 3%. Для центрального механизма $L = 2(R_0 + H + b)$.

Итак при одинаковых H, b и R_0 децентрализованный кулачковый механизм будет иметь меньший габарит, чем центральный механизм на $\Delta L \approx 2(R_0 - 1)R_0 \mu^2$. Кроме того, ниже покажем, что в некоторых случаях для децентрализованного механизма мы получаем меньшие значения b , чем для центрального механизма.

Фактический угол подъема кулачка для рассматриваемого типа кулачкового механизма

$$\operatorname{tg} \gamma_0 = \frac{ds}{dt} = \frac{ds}{\omega dt} \quad (2)$$

При этом во избежание самоклинующихся должно выполняться условие

$$\operatorname{tg} \gamma_0 < \operatorname{tg} \gamma_{\text{кр}} \quad (3)$$

где

$$\operatorname{tg} \gamma_{\text{кр}} = \frac{b}{k_1(H+r+b \mp r_1 r')} \quad (4)$$

k_1 — коэффициент запаса.

При заданном H габаритный размер механизма зависит лишь от суммы $x = b + y_0$. Уменьшение размера b (при неизменных H, r, d, r_1, r') влечет за собой уменьшение допустимых углов подъема, в то время как с уменьшением y_0 фактические углы подъема кулачка растут.

Таким образом, необходимость выполнения условия (3) сильно ограничивает возможности уменьшения габаритов кулачкового механизма. Ограничения в выборе размеров y_0 и b , налагаемые условием (3), отпадают в том случае, когда кулачок имеет постоянный коэффициент запаса, т. е.

$$\operatorname{tg} \gamma_0 = \operatorname{tg} \gamma_{\text{кр}} \quad (5)$$

Подставляя значения $\operatorname{tg} \gamma_0$ и $\operatorname{tg} \gamma_{\text{кр}}$ из (2) и (4), после простых преобразований получим

$$\frac{ds}{dt} = \frac{b(y_0 + s)}{k_1(A + b - s)} + v \quad (6)$$

При интегрировании произвольные постоянные определяем из условия: $s=0$ при $\varphi=0$. Получаем следующий закон движения шупа:

$$\frac{CD + k_1 B}{C} \ln \frac{C + B}{B} - \frac{b_1 s}{C} = \pm \varphi, \quad (7)$$

где

$$C = b \mp r_1 r'; \quad D = \mu b(A + b);$$

$$B = by_0 + D; \quad A = H + r \mp r_1 r'.$$

Рассмотрим кулачковые механизмы различных конструкций. Центральным механизмом с кулачком постоянного коэффициента запаса. Закон движения шпуля в этом случае примет вид

$$\frac{\ln(M + r \cdot r')}{b} \ln \frac{r + R_0}{R_0} - \frac{b_0}{b} s = + \varphi. \quad (8)$$

Уравнение теоретического профиля кулачка:

$$R = s + R_0.$$

Закон движения шпуля был получен из условия $\lg T_{\text{max}} = \text{const}$ в любой точке профиля кулачка, следовательно, механизм гарантирован от самоаклинивания при любых значениях b и R_0 . Однако некоторое ограничение в выборе этих величин остается, а именно: значения b и R_0 должны соответствовать заданным масштабам механизма b_0 , H и Φ . Подставляя предельные значения угла поворота и хода шпуля в уравнение (8), получим зависимость $b(R_0)$

$$b = \frac{(H - r - R_0 + r') 2.3 \lg \frac{H + R_0}{R_0} - H}{\frac{\Phi}{\pi} - 2.3 \lg \frac{H + R_0}{R_0}}. \quad (9)$$

где H , Φ , r , r' , δ , r' — заданы, а $R_0 > r + r'$. При неизменных H , Φ , r , r' , δ , r' величина b растет с уменьшением R_0 . Подсчитываем $x = b + R_0$ и выбираем R_0 , при котором $x(R_0)$ принимает минимальное значение.

Десятизначный механизм с постоянным коэффициентом запаса. Он имеет меньшие габариты, чем центральный механизм при прочих равных условиях. Разница в габаритах особенно заметна при больших δ . Так, например, для $\delta = 10$; $H = 100$; $\Phi = 2.5$; $r = 22$; $r' = 20$; $\mu_1 = 0.1$ имеем: для центрального механизма $x = 110$ ($b = 50$, $R_0 = 60$), для десятизначного $x = 74$ ($b = 16$; $b = 39$; $R_0 = 44$). Однако расчет десятизначного механизма значительно сложнее, чем расчет центрального механизма. Здесь уже нельзя установить простую зависимость, которая дала бы возможность выбрать b , μ_1 и Φ , а такими, чтобы заданные масштабы были удовлетворены. Приходится подсчитывать $\Phi = \Phi(b, \mu_1, H)$ при многих комбинациях b , μ_1 , H , чтобы выбрать значения, соответствующие заданным H и Φ .

Существует еще один вид кулачка, для которого условия отсутствия самоаклинивания выполняются при любых значениях b и R_0 . Это — кулачок постоянного угла подъема.

Закон движения шпуля в этом случае получим из условия

$$\lg \gamma_0 = k = \text{const},$$

$$s = \frac{\pm x + b \gamma_0}{k} (e^{\pm k} - 1). \quad (10)$$

116

Коэффициент k должна удовлетворять условию $k = \lg T_{\text{max}} = \text{const}$.

$$k = \frac{b}{x + b \gamma_0} \quad (11)$$

Радиус-вектор теоретической поверхности кулачка рассчитывается по формуле

$$R = \sqrt{(s + y)^2 + z^2}. \quad (12)$$

Порядок расчета геометрических размеров следующий. Нам заданы масштабы, т. е. $x_{\text{max}} = H$ и $\Phi_{\text{max}} = \Phi$, размеры r , r' , коэффициент трения в направляющих μ_1 и коэффициент запаса k . Надо выбрать при величинах b , r и μ_1 так, чтобы они обеспечивали заданные масштабы и чтобы габаритный размер механизма лежал в выбранных нами пределах. При заданном H габаритный размер механизма определяется суммой $x = b + R_0$. Задаемся x_{max} и выбираем b и R_0 так, чтобы $b = b_0 + x_{\text{max}}$. Коэффициент k определяем согласно неравенству (11). Подставляем далее в (10) $s = H$ и Φ .

$$H = \frac{\pm x + b \gamma_0}{k} (e^{\pm k} - 1), \quad (13)$$

откуда

$$\pm x = k \left(\frac{H}{e^{\pm k} - 1} - \gamma_0 \right); \quad (14)$$

$$R_0 = \sqrt{\gamma_0^2 + z^2}.$$

Найденные R_0 и ϵ можно несколько изменить, но так, чтобы соответствующее значение k удовлетворяло условию (11). Если нам задано R_0 , то для ϵ получаем квадратное уравнение

$$\epsilon^2 (1 + k^2) + 2k \frac{bH}{r + r' - 1} + \frac{bH^2}{(r + r' - 1)^2} - k^2 R_0^2 = 0. \quad (15)$$

Для центрального механизма R_0 можно выбирать независимо от k .

Как мы уже указывали, соотношение (1) для определения критического значения угла подъема выведено в предположении, что самоаклинивание механизма происходит при контактом усилием $N = \infty$. Кроме того, коэффициент трения в точке контакта шпуля и кулачка принимался равным нулю.

В общем случае, когда допустимое контактное усилие $N \neq \infty$ и коэффициент трения в точке контакта равен μ_2 , получаем следующее уравнение для определения допустимого угла подъема кулачка:

$$\gamma_{\text{max}} = \arccos \frac{\frac{1}{\mu} + \mu_1 (1 + 2\mu_1) \sqrt{1 + \mu_1^2 (1 + 2\mu_1)^2 - \frac{1}{\mu^2}}}{1 + \mu_1^2 (1 + 2\mu_1)^2} \arccos \mu_2. \quad (16)$$

117

$$l = \frac{c \cdot H \cdot \lambda}{2\pi} ; n = \frac{N}{Q}$$

Указывая значение n на шп. 6. При расчете k значения постоянного угла полета коэффициента k считать положительным условием.

$$k \leq (k \cdot \tau \cdot \lambda)^{-1} \quad (17)$$

1.1.1. Н. Персидский. Кривые кривизны МВТ. Определяется $n(1)$ из ср. 10. Конечные условия (см. пункт 1.1.1.2) и 4 соответствующих формул.

При расчете $n(1)$ и $n(2)$ по формуле 1.1.1.1. Н. Персидский — алгебраическая функция $n(1)$ и $n(2)$ от τ и λ . Обратная функция $n(1)$ и $n(2)$ от τ и λ в терминах $n(1)$ и $n(2)$.

$$n = \text{arc cos} \frac{1}{n(1-n^2)^2} \sqrt{1+n^2} - \text{arc cos} \tau \quad (8)$$

$$n = \text{arc cos} \frac{1}{n(1-n^2)^2} - \text{arc cos} \tau \quad (9)$$

1.1.1.2. Формулы (8) и (9) в выражении для $n(1)$ и $n(2)$ в терминах $n(1)$ и $n(2)$ должны быть $(1-2 \frac{\tau}{\lambda})$.

В формуле (7) в выражении для $n(1)$ и $n(2)$ в терминах $n(1)$ и $n(2)$ должны быть $\frac{\tau}{\lambda}$.

ОПРЕЖИНИЕ

Предисловие 3

В. В. Гурьев. К вопросу об определении азимута азимута точки опоры 4

И. В. Орлов. Вывод формулы для горизонтального момента с помощью 84

Е. А. Шилин. Нормальные системы азимутально-регулируемых ст. 26

Н. А. Лобачев. Применение метода Гурьева для азимутальной 40

А. В. Голубко. Теория азимутальной системы по азимуту 50

А. В. Голубко. О теории устойчивости для неавтономных систем 61

Г. И. Заварзин. Об одном методе определения критерия устойчивости ра 64

Ю. Е. Захаров. Определение осевой гидродинамической силы на 85

таблическим способом 85

И. З. Липин. Свойства определителей углового положения тела с 100

гидродинамическими силами при произвольном движении 100

комков в воде, совершающих поступательное движение 104

И. И. Гринюк. Определение азимута и кавалитетов штурманских 104

инструментов 104

И. И. Гринюк. Расчет оптимального профиля кривизны 114

И. И. Гринюк. Расчет оптимального профиля кривизны 114

И. И. Гринюк. Расчет оптимального профиля кривизны 114

И. И. Гринюк. Расчет оптимального профиля кривизны 114

МИНИСТЕРСТВО ВЫСШЕГО И СРЕДНЕГО
СПЕЦИАЛЬНОГО ОБРАЗОВАНИЯ СССР

Утверждена
Учебно-методическим управлением
по высшим учебным заведениям

П Р О Г Р А М М А
ПО ТЕОРЕТИЧЕСКОЙ МЕХАНИКЕ

ДЛЯ ВЫСШИХ ТЕХНИЧЕСКИХ
УЧЕБНЫХ ЗАВЕДЕНИЙ

(120--140 часов)

ГОСУДАРСТВЕННОЕ ИЗДАТЕЛЬСТВО «ВЫСШАЯ ШКОЛА»
Москва — 1960

ОБЪЯСНИТЕЛЬНАЯ ЗАПИСКА

В связи с изменением системы высшего образования в соответствии с решениями XXI съезда КПСС и с Законом от 24 декабря 1958 г. об укреплении связи школы с жизнью и о дальнейшем развитии системы народного образования Министерством высшего и среднего специального образования СССР утверждены новые учебные планы высших учебных заведений.

Программно-методической комиссией по теоретической механике составлены программы основного курса теоретической механики в трех вариантах в зависимости от объема курса, а именно программы:

- 1) на 220 учебных час.,
- 2) на 160—190 учебных час.,
- 3) на 120—140 учебных час.

Объем и содержание курса теоретической механики для каждой специальности устанавливаются вариантом программы, соответствующим числу часов, отводимых на курс теоретической механики по учебному плану этой специальности на заочных, вечерних и очных факультетах и отделениях.

Указанное в программах число часов, отводимых на каждый из трех разделов курса теоретической механики (статика, кинематика, динамика), является лишь ориентировочным.

Порядок изложения программы также не является строго обязательным и может быть изменен по усмотрению кафедры.

При этом кафедрам предоставляется право углубить отдельные темы программы за счет некоторых сокращений при изложении остальных тем в зависимости от профиля данной специальности. Более простые вопросы программы можно совсем не излагать на лекциях, рекомен-

дую студентам проработать эти вопросы по учебнику, что будет способствовать развитию у студентов навыков в самостоятельной работе над книгой.

При прохождении курса теоретической механики особое внимание следует обращать на выработку у студентов диалектико-материалистического мировоззрения. Необходимо иметь в виду, что теоретическая механика наряду с математикой и физикой представляет собой дисциплину, развивающую и организующую мышление учащихся. Следует, кроме того, с достаточной убедительностью показать учащимся, что теоретическая механика является научной базой современной техники.

Помимо лекционного метода обучения, в преподавании теоретической механики не менее важную роль играют практические занятия. Кафедрам необходимо обратить серьезное внимание на методику практических занятий с тем, чтобы эти занятия, во-первых, показывали студентам практическое значение механики и, во-вторых, приучали студентов не пассивно воспринимать изучаемый теоретический материал, а уметь применять его к решению конкретных задач. В целях усиления связи теоретического обучения с практикой кафедрам рекомендуется на практических занятиях и в домашних заданиях давать студентам и такие задачи, содержание которых было бы связано с профилем данной специальности. В приказе Министра высшего образования СССР № 784 от 26 июля 1958 г. о поднятии уровня преподавания теоретической механики в высших технических учебных заведениях предусмотрено изготовление специальным конструкторским бюро Министерства в первую очередь типового оборудования кабинетов теоретической механики, а затем и оборудования лабораторий по динамике. В связи с этим кафедрам следует принять меры к пополнению оборудования своих кабинетов для того, чтобы демонстрировать на лекциях опыты, иллюстрирующие законы механики, а также применять (и на лекциях, и на практических занятиях) показ отдельных моделей и приборов.

Программы содержат основные исторические сведения, относящиеся к развитию механики.

Излагать все эти сведения полностью во введении к курсу механики, как это указано в программах, нет необходимости. В вводящей лекции достаточно осветить

6

развитие механики в самых общих чертах. Более подробные исторические сведения о развитии механики и о наиболее важных работах выдающихся ученых-механиков следует сообщать учащимся там, где это уместно, при изложении той или другой темы программы, а также в заключительных лекциях, где можно познакомить слушателей с основными направлениями научных исследований в области механики в настоящее время в связи с семилетним планом развития народного хозяйства СССР.

Если по новому учебному плану данной специальности предусмотрено изучение части учебного материала (например, статика) в период заочного обучения студентов, то кафедрам необходимо обеспечить студентов на период их заочного обучения учебными заданиями с соответствующими методическими указаниями.

В этих заданиях необходимо отметить, какие теоремы и формулы в данной части курса являются наиболее важными, какие задачи рекомендуются для самостоятельного решения, а также указать материал, который нужно проработать студентам по учебнику. Для студентов, обучающихся без отрыва от производства, особенно важное значение приобретают консультации преподавателей. Поэтому кафедрам необходимо обеспечить таких студентов планомерно организованными консультациями.

Новыми учебными планами для некоторых специальностей на старших семестрах предусмотрено изучение дополнительных глав по курсу теоретической механики. Учитывая особо важное значение для современной техники таких вопросов, как теория малых колебаний, теория устойчивости движения, динамика материальной точки переменной массы и др., программно-методической комиссией Министерства составлена отдельная программа по дополнительным главам курса теоретической механики. Кафедрам предоставляется право выбора из этой программы соответствующих разделов в зависимости от профиля данной специальности и от числа часов, отводимых учебным планом на чтение дополнительных глав.

Конечно, разработанная методической комиссией программа по дополнительным главам курса теоретической механики не является исчерпывающей.

Принимая во внимание современные требования, предъявляемые к подготовке инженера данной специальности

ности, кафедры теоретической механики при чтении дополнительных глав могут выбрать ту или иную тему, не содержащуюся в указанной программе, с согласия совета вуза или совета факультета.

Помимо чтения дополнительных глав, предусмотренных учебным планом, кафедрам теоретической механики необходимо проявлять должную инициативу в организации небольших факультативных курсов, как это указано в приказе Министра высшего образования СССР за № 784 от 26 июля 1958 г.

Объем и содержание факультативных курсов устанавливаются советом факультета или советом вуза по представлению кафедры.

Программа по дополнительным главам может быть использована и при чтении таких факультативных курсов

СОДЕРЖАНИЕ ПРОГРАММЫ

Введение

Теоретическая механика (общая механика) и ее место среди естественных наук.

Объективный характер законов механики. Метод диалектического материализма в механике. Роль и значение аксиом и абстракций в механике. Механика как теоретическая база современной техники.

Основные исторические этапы развития механики: Архимед, Коперник, Галилей, Ньютон, Даламбер, Лагранж и др. Основные этапы развития механики в России: Эйлер, М. В. Ломоносов, М. В. Остроградский, П. Л. Чебышев, Н. Е. Жуковский, С. А. Чаплыгин, А. М. Ляпунов, И. В. Мещерский и др.

Статика твердого тела

1. Введение в статику. Предмет статики и краткий очерк ее развития. Основные понятия статики: абсолютно твердое тело, материальная точка, сила, эквивалентные системы сил, уравновешенная система сил. Аксиомы статики. Несвободное твердое тело. Связи и реакции связей.

2. Система сходящихся сил. Силы, сходящиеся в одной точке. Геометрический метод приведения системы сходящихся сил к равнодействующей. Разложение данной силы на составляющие. Проекция силы на ось и на плоскость. Аналитический способ нахождения равнодействующей системы сходящихся сил. Условия равновесия системы сходящихся сил в геометрической и в аналитической форме. Теорема об уравновешивании двух сходящихся сил третьей силой.

3. **Параллельные силы. Теория пар на плоскости.** Приведение двух параллельных сил, направленных в одну и в противоположные стороны, к равнодействующей. Пара сил. Разложение данной силы на две, ей параллельные. Условие равновесия рычага и соответственно понятия момента силы. Момент силы относительно точки. Момент пары как сумма моментов сил пары относительно любой точки ее плоскости. Теоремы об эквивалентных парах, лежащих в одной плоскости. Сложение пар, лежащих в одной плоскости. Условие равновесия плоской системы пар.

4. **Плоская система сил.** Приведение плоской системы сил к данному центру (метод Пуансо). Главный вектор и главный момент. Приведение плоской системы сил к равнодействующей. Теорема Вариньона. Случай приведения плоской системы сил к одной паре. Условия равновесия плоской системы сил. Различные виды систем уравнений равновесия. Условия равновесия плоской системы параллельных сил.

Статически определенные и статически неопределенные задачи.

Трение скольжения. Коэффициент трения. Угол трения. Равновесие твердого тела при наличии сил трения.

5. **Произвольная система сил.** Момент силы относительно точки как вектор. Момент силы относительно оси и его связь с моментом силы относительно точки, лежащей на этой оси. Аналитические выражения моментов силы относительно координатных осей.

Теорема о переносе пары в другую плоскость, параллельную плоскости этой пары.

Момент пары как вектор. Сложение пар, лежащих в пересекающихся плоскостях. Условие равновесия системы пар. Приведение произвольной системы сил к данному центру. Главный вектор и главный момент. Условия равновесия системы сил в общем случае в векторной и в аналитической форме. Условия равновесия системы параллельных сил, не лежащих в одной плоскости.

6. **Центр параллельных сил и центр тяжести.** Приведение системы параллельных сил к равнодействующей. Центр параллельных сил. Центр тяжести. Общие формулы для координат центра параллель-

ных сил и центра тяжести. Центр тяжести простейших линий, плоских фигур и тел. Определение центра тяжести тел и фигур сложной формы.

Кинематика

1. Введение в кинематику. Пространство и время как формы существования материи. Различные формы движения материи. Механическое движение. Система отсчета. Предмет кинематики и ее значение для техники. Краткие исторические сведения о развитии кинематики.

2. Кинематика точки. Естественный способ определения движения точки. Траектория точки и уравнение движения точки по данной траектории. График движения. Понятие скорости точки. Скорость как вектор. Численное значение и направление скорости. Скорость как производная от радиуса вектора точки по времени.

Понятие ускорения точки. Ускорение как производная от вектора скорости по времени. Касательное и нормальное ускорения точки. Координатный способ определения движения точки. Нахождение траектории в этом случае. Проекция скорости на неподвижные оси декартовых координат. Формулы, определяющие численное значение и направление скорости по ее проекциям на оси декартовых координат.

Проекция ускорения на неподвижные оси декартовых координат. Формулы, определяющие численное значение и направление ускорения по его проекциям на оси декартовых координат.

3. Поступательное и вращательное движение твердого тела. Поступательное движение твердого тела. Теорема о траекториях, скоростях и ускорениях точек тела в этом движении. Вращение твердого тела вокруг неподвижной оси. Уравнение вращательного движения твердого тела вокруг неподвижной оси. Угловая скорость и угловое ускорение тела. Равномерное и равнопеременное вращение твердого тела. Траектории, скорости и ускорения точек твердого тела, вращающегося вокруг неподвижной оси.

4. Составное движение. Относительное и переносное движение. Относительные и переносные скорости и ускорения точки. Теоремы параллелограмма ско-

ростей в параллелограмма ускорений точки. Понятие о разложении движения на переносное и относительное.

5. Плоскопараллельное движение твердого тела. Плоскопараллельное движение твердого тела и движение плоской фигуры в ее плоскости. Разложение движения плоской фигуры на поступательное движение и вращение вокруг полюса. Уравнения движения плоской фигуры. Независимость угловой скорости фигуры от выбора полюса. Скорости точек плоской фигуры.

Теорема о проекциях скоростей двух точек плоской фигуры на прямую, соединяющую эти точки. Мгновенный центр скоростей и мгновенный центр вращающейся плоской фигуры.

Динамика

1. Введение в динамику. Предмет динамики. Краткий исторический очерк развития динамики. Основные законы механики Галилея—Ньютона. Инерциальная система отсчета. Две меры механического движения: количество движения и кинетическая энергия материальной точки. Свободная и несвободная материальная точка. Система материальных точек. Связи и реакции связей. Внешние и внутренние силы.

2. Дифференциальные уравнения движения материальной точки. Дифференциальные уравнения движения материальной точки в декартовых координатах. Две основные задачи динамики материальной точки. Примеры интегрирования дифференциальных уравнений движения материальной точки в простейших случаях. Определение постоянных интегрирования по начальным условиям движения. Гармоническое колебание материальной точки под действием восстанавливающей силы, пропорциональной расстоянию; амплитуда, фаза, частота и период этих колебаний. Вынужденные колебания материальной точки при отсутствии сопротивления. Случай резонанса.

3. Теоремы о количестве движения материальной точки и системы. Количество движения материальной точки и количество движения системы и их проекции на координатные оси. Импульс силы. Теоремы об изменении количества движения

материальной точки и о количестве движения системы в векторной и координатной форме. Условия сохранения количества движения системы или его проекции на данную неподвижную ось. Центр масс системы. Выражение количества движения системы через массу системы и скорость ее центра масс. Теорема о движении центра масс системы.

4. Теоремы о моменте количества движения материальной точки и о кинетическом моменте системы. Момент количества движения материальной точки относительно центра или оси. Теорема о моменте количества движения материальной точки в векторной и координатной форме. Кинетический момент системы относительно центра или оси. Теорема о кинетическом моменте системы в векторной и координатной форме. Условия сохранения кинетического момента системы относительно неподвижного центра или неподвижной оси.

Кинетический момент вращающегося твердого тела относительно оси вращения. Момент инерции тела относительно оси; радиус инерции. Дифференциальное уравнение вращательного движения твердого тела вокруг неподвижной оси. Момент инерции как мера инерции твердого тела в его вращательном движении вокруг данной оси. Примеры вычисления моментов инерции тел в простейших случаях. Теорема о моментах инерции тела относительно параллельных осей.

5. Теоремы об изменении кинетической энергии материальной точки и системы. Кинетическая энергия материальной точки и системы. Кинетическая энергия твердого тела при поступательном, вращательном и плоскопараллельном движении тела. Элементарная работа силы и работа силы на конечном пути. Работа силы тяжести. Мощность. Теорема о работе равнодействующей сил, приложенных к одной точке. Теоремы об изменении кинетической энергии материальной точки и системы.

6. Теория удара. Явление удара. Ударная сила и ударный импульс. Действие ударной силы на материальную точку.

Прямой центральный удар тела о неподвижную поверхность; упругий и неупругий удары. Коэффициент восстановления и его опытное определение.

Прямой центральный удар двух тел. Теорема Карно.
7. Принцип Даламбера и принцип возможных перемещений. Принцип Даламбера. Сила инерции материальной точки, Определение динамических реакций при несвободном движении материальной точки и системы материальных точек.

Возможные (виртуальные) перемещения системы. Совершенные (идеальные) связи. Принцип возможных перемещений. Применение принципа возможных перемещений к классическим машинам. Общее уравнение динамики.

Примечания.

1. Для развития навыков в самостоятельном решении задач устанавливается не менее одной контрольной работы в каждом семестре.

2. Настоящая программа рассчитана на объем курса теоретической механики в 140 час, из них на статику отводится примерно 40 час, на кинематику 30 час, и на динамику 70 час. При объеме курса в 120 час, из раздела программы «Динамика» могут быть исключены следующие вопросы:

- 1) вынужденные колебания материальной точки при отсутствии сопротивления. Случай резонанса (из пункта 2);
- 2) теории удара (пункт 4).

Литература

- И. М. Воронков. Курс теоретической механики, Гостехиздат, 1954 и последующие издания.
И. В. Мещерский. Сборник задач по теоретической механике, Гостехиздат, 1952 и последующие издания.
С. М. Горт. Краткий курс теоретической механики Физматгиз, 1958.

Ответственный редактор профессор И. М. ВОРОНКОВ

Сдано в набор 1/IX—60 г. Подписано к печати 17/IX—60 г.
Бумага 84×108^{1/32}—0,37 печ. л. 0,6 усл. печ. л. 0,55 уч.-изд. л.
Тираж 59 500 Издательство «Высшая школа»
Заказ 1038 Цена 15 коп.
Цена с 1 января 1961 г. — 2 коп.

Тип. изд-ва «Высшая школа», Неглинная, 29/14.